

Zakázka:	<b>05_CHOC.DPS</b>	Příloha:	<b>1</b>	Strana:	<b>1/5</b>
Objekt:	<b>Novostavba</b>	Datum:	<b>11.11.21</b>		
Výpočet:	<b>Zatížení stálé</b>	Vypočetl:	<b>Ing. Martin Šponar</b>		

podle: **ČSN EN 1991-1-1, Z1a Z2**

**Konstrukce: Střecha nad 1.NP**

Materiál název	Materiál popis	Tloušťka vrstvy [mm]	Objemová hmotnost [kg/m <sup>3</sup> ]	Zatížení charakter. [kPa]	Součinitel zatížení	Zatížení návrhové [kPa]
ZEMINA 3	Zemina s organickou příměsí nasycen	60	1800	1,080	1,35	1,458
ti p	Akustická minerální izolace - podlaha	50	120	0,060	1,35	0,081
voda	vodní sloupec vázaný ve skladbě	75	1000	0,750	1,35	1,0125
pvc	Linoleum PVC	3	1200	0,036	1,35	0,0486
eps	Expandovaný polystyrén	300	50	0,150	1,35	0,2025
A500H	Lepenka	6	500	0,030	1,35	0,0405
sdk	Sádrokartonové desky vč. kce	50	1200	0,600	1,35	0,81
<b>CELKEM</b>		<b>494</b>		<b>2,706</b>	<b>1,350</b>	<b>3,653</b>
ve FEMu				2,700	1,350	3,645

**Konstrukce: Střecha nad 1.PP - dvorek**

Materiál název	Materiál popis	Tloušťka vrstvy [mm]	Objemová hmotnost [kg/m <sup>3</sup> ]	Zatížení charakter. [kPa]	Součinitel zatížení	Zatížení návrhové [kPa]
ZEMINA 3	Zemina s organickou příměsí nasycen	497	1800	8,946	1,35	12,0771
pvc	Linoleum PVC	3	1200	0,036	1,35	0,0486
eps	Expandovaný polystyrén	200	50	0,100	1,35	0,135
A500H	Lepenka	12	500	0,060	1,35	0,081
<b>CELKEM</b>		<b>712</b>		<b>9,142</b>	<b>1,350</b>	<b>12,342</b>
ve FEMu				9,150	1,350	12,353

**Konstrukce: Podlaha 1.PP**

Materiál název	Materiál popis	Tloušťka vrstvy [mm]	Objemová hmotnost [kg/m <sup>3</sup> ]	Zatížení charakter. [kPa]	Součinitel zatížení	Zatížení návrhové [kPa]
DLAŽBA KER	Keramická dlažba	15	2200	0,330	1,35	0,4455
BET. MAZANINA	Betonová mazanina	65	2200	1,430	1,35	1,9305
eps	Expandovaný polystyrén	170	50	0,085	1,35	0,11475
<b>CELKEM</b>		<b>250</b>		<b>1,845</b>	<b>1,350</b>	<b>2,491</b>
ve FEMu				1,850	1,350	2,498

**Konstrukce: Podlaha 1.NP**

Materiál název	Materiál popis	Tloušťka vrstvy [mm]	Objemová hmotnost [kg/m <sup>3</sup> ]	Zatížení charakter. [kPa]	Součinitel zatížení	Zatížení návrhové [kPa]
DLAŽBA KER	Keramická dlažba	15	2200	0,330	1,35	0,4455
BET. MAZANINA	Betonová mazanina	55	2200	1,210	1,35	1,6335
eps	Expandovaný polystyrén	70	50	0,035	1,35	0,04725
sdk	Sádrokartonové desky vč. kce	50	1200	0,600	1,35	0,81
<b>CELKEM</b>		<b>190</b>		<b>2,175</b>	<b>1,350</b>	<b>2,936</b>
ve FEMu				2,200	1,350	2,970

Zakázka:	<b>05_CHOC.DPS</b>	Příloha:	<b>1</b>	Strana:	<b>2/5</b>
Objekt:	<b>Novostavba</b>	Datum:	<b>11.11.21</b>		
Výpočet:	<b>Zatížení stálé - těžké příčky</b>	Vypočetl:	<b>Ing. Martin Šponar</b>		

podle: <b>ČSN EN 1991-1-1, Z1a Z2</b>						
<b>Konstrukce:</b>		<b>Cihlené 145</b>		Výška příčky: <b>3,3 m</b>		
Materiál název	Materiál popis	Tloušťka vrstvy [mm]	Objemová hmotnost [kg/m <sup>3</sup> ]	Zatížení charakter. [kN/bm]	Součinitel zatížení	Zatížení návrhové [kN/bm]
CIHLA PROFI	Cihla P+D boušená	145	800	3,828	1,35	5,168
MVC	Vápenocementová malta	30	2000	1,980	1,35	2,673
<b>CELKEM</b>		175		<b>5,808</b>	<b>1,350</b>	<b>7,841</b>
ve FEMu				5,808	1,350	7,841
<b>Konstrukce:</b>		<b>Cihlene 175</b>		Výška příčky: <b>3,3 m</b>		
Materiál název	Materiál popis	Tloušťka vrstvy [mm]	Objemová hmotnost [kg/m <sup>3</sup> ]	Zatížení charakter. [kN/bm]	Součinitel zatížení	Zatížení návrhové [kN/bm]
CIHLA PROFI	Cihla P+D boušená	175	800	4,620	1,35	6,237
MVC	Vápenocementová malta	30	2000	1,980	1,35	2,673
<b>CELKEM</b>		205		<b>6,600</b>	<b>1,350</b>	<b>8,910</b>
ve FEMu				6,600	1,350	8,910



Zakázka:	<b>05_CHOC.DPS</b>	Příloha:	<b>1</b>	Strana:	<b>3/5</b>
Objekt:	<b>Novostavba</b>	Datum:	<b>11.11.21</b>		
Výpočet:	<b>Zatížení proměnné</b>	Vypočetl:	<b>Ing. Martin Šponar</b>		

podle: **ČSN EN 1991-1-1, Z1a Z2**

#### Konstrukce:

Materiál název	Materiál popis	Zatížení charakter. bodové [kN]	Zatížení charakter. [kPa]	Součinitel zatížení	Zatížení návrhové [kPa]
C5	Shrom. plochy s vysokou koncentrací lidí	4,50	5,000	1,5	7,5
<b>CELKEM</b>			<b>5,000</b>	<b>1,500</b>	<b>7,500</b>
-pozn. bodová síla je uvažována na ploše 50x50mm		ve FEMu	5,000	1,500	7,500

#### Konstrukce:

Materiál název	Materiál popis	Zatížení charakter. bodové [kN]	Zatížení charakter. [kPa]	Součinitel zatížení	Zatížení návrhové [kPa]
F1	Celková tíha vozidla <30kN	20,00	2,500	1,5	3,75
<b>CELKEM</b>			<b>2,500</b>	<b>1,500</b>	<b>3,750</b>
-pozn. bodová síla je uvažována na ploše 100x100mm		ve FEMu	2,500	1,500	3,750

#### Konstrukce:

Materiál název	Materiál popis	Zatížení charakter. bodové [kN]	Zatížení charakter. [kPa]	Součinitel zatížení	Zatížení návrhové [kPa]
H1	Nepochozí střechy, půdní prostory	1,00	0,750	1,5	1,125
<b>CELKEM</b>			<b>0,750</b>	<b>1,500</b>	<b>1,125</b>
-pozn. bodová síla je uvažována na ploše 50x50mm		ve FEMu	0,750	1,500	1,125

Zakázka:	<b>05_CHOC.DPS</b>	Příloha:	<b>1</b>	Strana:	<b>4/5</b>
Objekt:	<b>Novostavba</b>	Datum:	<b>11.11.21</b>		
Výpočet:	<b>Zatížení sněhem</b>	Vypočetl:	<b>Ing. Martin Šponar</b>		

podle: **ČSN EN 1991-1-3, Z1, Z2, Z3, Z4**

sněhová oblast: **přesně**

$s_k = 0,88 \text{ kN/m}^2$  -hodnota z [www.snehovamapa.cz](http://www.snehovamapa.cz)

součinitel expozice:

$C_e = 1,0$

*Normální typ krajiny: plochy, kde nedochází na stavbách k výraznému přemístění sněhu větrem kvůli okolnímu terénu, jiným stavbám nebo stromům.*

tepelný součinitel:

$C_t = 1,0$

sklon střechy:

$a_1 = 2,50^\circ$

$m_1(a_1) = 0,80$

$m_2(a_1) = 0,87$

$a_2 = 2,50^\circ$

$m_1(a_2) = 0,80$

$m_2(a_2) = 0,87$

$a_{12} = 2,50^\circ$

$m_2(a_{12}) = 0,87$

zatížení sněhem na střechu:

$$s_i = \mu_i \cdot C_e \cdot C_t \cdot s_k$$

$$\alpha_{12} = \frac{(\alpha_1 + \alpha_2)}{2}$$

(5.1)

$s_1(a_1) = 0,704 \text{ kN/m}^2$


$s_2(a_1) = 0,763 \text{ kN/m}^2$

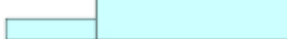
$s_1(a_2) = 0,704 \text{ kN/m}^2$

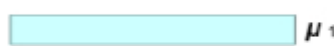

$s_2(a_2) = 0,763 \text{ kN/m}^2$

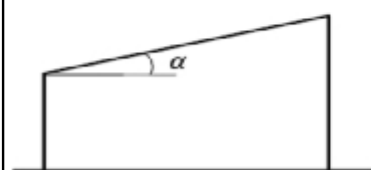
$s_2(a_{12}) = 0,763 \text{ kN/m}^2$

uspořádání zatížení na střeše:

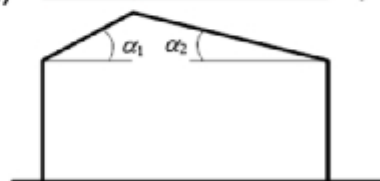
Případ (i)  $\mu_1(\alpha_1)$    $\mu_1(\alpha_2)$

Případ (ii)  $0,5\mu_1(\alpha_1)$    $\mu_1(\alpha_2)$

  $\mu_1$  Případ (iii)  $\mu_1(\alpha_1)$    $0,5\mu_1(\alpha_2)$



Pultová střecha



Sedlová střecha

Případ (i)  $\mu_1(\alpha_1)$   $\mu_1(\alpha_2)$   $\mu_1(\alpha_1)$   $\mu_1(\alpha_2)$



Případ (ii)  $\mu_2(\alpha)_{12}$   $\alpha = (\alpha_1 + \alpha_2)/2$

$\mu_1(\alpha_1)$    $\mu_1(\alpha_2)$



Vícelodní budovy

=> min. zatížení je 0,75 kN/m2 viz str. 3 zatížení H1

změna Z1, Z4

NA.2.13

NA.2.14

Zakázka:	<b>05_CHOC.DPS</b>	Příloha:	<b>1</b>	Strana:	<b>5/5</b>
Objekt:	<b>Novostavba</b>	Datum:	<b>11.11.21</b>		
Výpočet:	<b>Zatížení sněhem - návěj u překážky</b>	Vypočetl:	<b>Ing. Martin Šponar</b>		

podle: **ČSN EN 1991-1-3, Z1, Z2, Z3, Z4**

sněhová oblast: **přesně**

$$s_k = \mathbf{0,88 \text{ kN/m}^2} \quad \text{-hodnota z } \underline{\text{www.snehovamapa.cz}}$$

změna Z1

součinitel expozice:

$$C_e = \mathbf{1,0}$$

*Normální typ krajiny: plochy, kde nedochází na stavbách k výraznému přemístění sněhu větrem kvůli okolnímu terénu, jiným stavbám nebo stromům.*

NA.2.13

tepelný součinitel:

$$C_t = \mathbf{1,0}$$

NA.2.14

Zatížení platí pro návěje u překážek na přibližně plochých střechách.

$$m_1 = \mathbf{0,80}$$

$$\mu_2 = \frac{\gamma \cdot h}{s_k} ; \quad 0,8 \leq \mu_2 \leq 2,0$$

(6.1), (6.2)

výška překážky:

$$h = \mathbf{0,35 \text{ m}}$$

objemová tíha sněhu:

$$g = \mathbf{2,00 \text{ kN/m}^3}$$

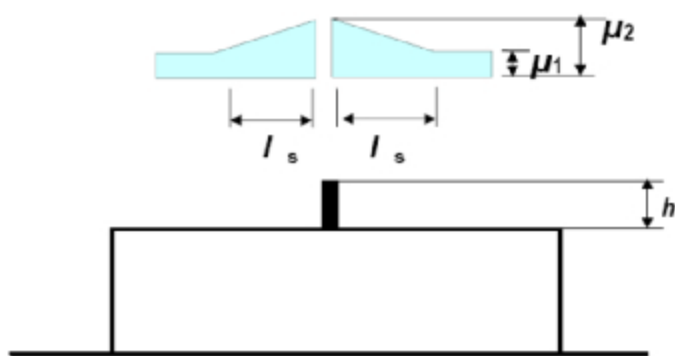


Schéma zatížení kolem překážky

délka návěje:

$$l_s = 2 \cdot h ; \quad 5m \leq l_s \leq 15m ; \quad l_s = \mathbf{5,00 \text{ m}}$$

(6.3)

tvárový součinitel zatížení sněhem u překážky:

$$m_2 = \mathbf{0,80}$$

zatížení sněhem u překážky:

$$s_i = \mu_i \cdot C_e \cdot C_t \cdot s_k$$

(5.1)

$$\mathbf{s_1 = 0,704 \text{ kN/m}^2} \quad \mathbf{s_2 = 0,704 \text{ kN/m}^2}$$

Zakázka	05_CHOC.DPS	Příloha:	2	Strana:	1/3
Objekt:	Novostavba	Datum:	11.11.21		
Výpočet	Výpočet zatížení větrem	Vypočet:	Ing. Martin Šponar		

$v_{b,0} =$	25 [m/s]	pro oblast	II
-------------	----------	------------	----

$$v_b = c_{dir} c_{season} v_{b,0} = 25 \text{ [m/s]}$$

Kategorie terénu	IV	Oblasti, ve kterých je nejméně 15 % povrchu pokryto pozemními stavbami, jejichž průměrná výška je větší než 15 m
------------------	----	--

 $A_{\text{ef}} = 1,5 \text{ [m}^2\text{]}$ 

$G_f$  1.0116

$$F_w = 0,6971 \text{ kN}$$

$z_0 =$	1 [m]
$z_{min} =$	10 [m]
$c_0(z) =$	1,0
$\rho =$	1,25 [kg/m <sup>3</sup> ]
$k_l =$	1,0
$z_{0,II} =$	0,05 [m]
$z_{max} =$	200 [m]
$c_{dir} =$	1,0
$c_{season} =$	1,0

Součinitel terénu

$$k_r = 0,19 \left( \frac{z_0}{z_{0H}} \right)^{0,07} = 0,234329$$

Součinitel drsnosti terénu      Intenzita turbulence

$$\begin{array}{lll} c_r(z) = k_r \ln \left( \frac{z}{z_0} \right) & l_v(z) = \frac{k_l}{c_0(z) \ln(z/z_0)} & z_{\min} \leq z \leq z_{\max} \\ c_r(z) = c_r(z_{\min}) & l_v(z) = l_v(z_{\min}) & z < z_{\min} \end{array}$$

$$v_m(z) = c_r(z)c_0(z)v_b$$

Maximální dynamický tlak

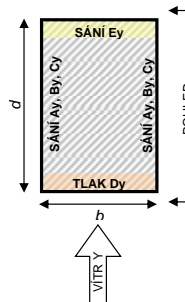
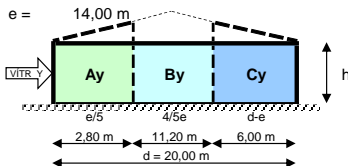
$$q_p(z) = [1 + 7l_v(z)] 1/2 \rho v_m^2(z)$$

Výška budovy  $h = 7$  [m]

Šířka budovy  $b = 18$  [m]

Délka budovy  $d = 20$  [m]

## POHLED NA STĚNU

$$e =$$


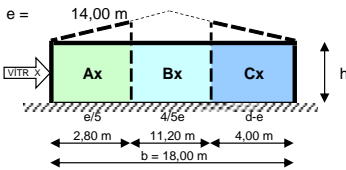
Součinitel vnějšího tlaku na stěny $c_{pe,10}$				
Ay	By	Cy	Dy	Ey
-1.20	-0.80	-0.50	0.71	-0.33

$$h / d = 0,35 \text{ m}$$
[illegible]

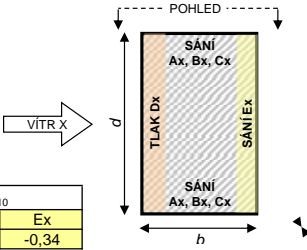
Zakázka	05_CHOC.DPS	Příloha:	2	Strana:	2/3
Objekt:	Novostavba	Datum:	11.11.21		
Výpočet	Výpočet zatížení větrem	Vypočetl:	Ing. Martin Šponar		

### TLAK VĚTRU NA STĚNY - VÍTR X

## POHLED NA STĚNU

$$e =$$


Součinitel vnějšího tlaku na stěny $c_{pe,10}$				
Ax	Bx	Cx	Dx	Ex
-1,20	-0,80	-0,50	0,72	-0,34

$$h / b = 0,39 \text{ m}$$


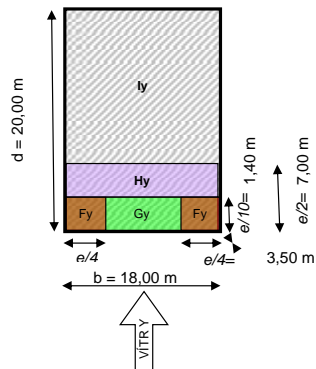
STĚNY - VITR X												STĚNY - VITR X					
Výška lin. zat	Podlaží	Výška podlaží	Výška z pro výpočet tlaku větru	Intenzita turbulence	Součinitel drsnosti terénu	Střední rychlost větru	Maximální dynamický tlak	Tlak působící na příslušnou oblast stěny					Liniové zatížení působící v úrovni stropní konstrukce				
								Ax	Bx	Cx	Dx	Ex	Ax	Bx	Cx	Dx	Ex
[m]		[m]	[m]	[-]	[-]	[km/h]	[kN/m <sup>2</sup> ]	[kN/m <sup>2</sup> ]	[kN/m <sup>2</sup> ]	[kN/m <sup>2</sup> ]	[kN/m <sup>2</sup> ]	[kN/m <sup>2</sup> ]	[kN/m]	[kN/m]	[kN/m]	[kN/m]	[kN/m]
3,5	1	3,5	7	0,4343	0,5396	13,49	0,459	-0,551	-0,368	-0,230	0,330	-0,155	-1,93	-1,29	-0,80	1,16	-0,54
7	2	3,5	7	0,4343	0,5396	13,49	0,459	-0,551	-0,368	-0,230	0,330	-0,155	-0,96	-0,64	-0,40	0,58	-0,27
0		0	0	0,0000	0,0000	0,00	0,000	0,000	0,000	0,000	0,000	0,000	0,00	0,00	0,00	0,00	0,00
0		0	0	0,0000	0,0000	0,00	0,000	0,000	0,000	0,000	0,000	0,000	0,00	0,00	0,00	0,00	0,00
0		0	0	0,0000	0,0000	0,00	0,000	0,000	0,000	0,000	0,000	0,000	0,00	0,00	0,00	0,00	0,00
0		0	0	0,0000	0,0000	0,00	0,000	0,000	0,000	0,000	0,000	0,000	0,00	0,00	0,00	0,00	0,00
0		0	0	0,0000	0,0000	0,00	0,000	0,000	0,000	0,000	0,000	0,000	0,00	0,00	0,00	0,00	0,00
0		0	0	0,0000	0,0000	0,00	0,000	0,000	0,000	0,000	0,000	0,000	0,00	0,00	0,00	0,00	0,00
0		0	0	0,0000	0,0000	0,00	0,000	0,000	0,000	0,000	0,000	0,000	0,00	0,00	0,00	0,00	0,00
0		0	0	0,0000	0,0000	0,00	0,000	0,000	0,000	0,000	0,000	0,000	0,00	0,00	0,00	0,00	0,00
0		0	0	0,0000	0,0000	0,00	0,000	0,000	0,000	0,000	0,000	0,000	0,00	0,00	0,00	0,00	0,00
0		0	0	0,0000	0,0000	0,00	0,000	0,000	0,000	0,000	0,000	0,000	0,00	0,00	0,00	0,00	0,00
0		0	0	0,0000	0,0000	0,00	0,000	0,000	0,000	0,000	0,000	0,000	0,00	0,00	0,00	0,00	0,00
0		0	0	0,0000	0,0000	0,00	0,000	0,000	0,000	0,000	0,000	0,000	0,00	0,00	0,00	0,00	0,00
0		0	0	0,0000	0,0000	0,00	0,000	0,000	0,000	0,000	0,000	0,000	0,00	0,00	0,00	0,00	0,00
0		0	0	0,0000	0,0000	0,00	0,000	0,000	0,000	0,000	0,000	0,000	0,00	0,00	0,00	0,00	0,00
0		0	0	0,0000	0,0000	0,00	0,000	0,000	0,000	0,000	0,000	0,000	0,00	0,00	0,00	0,00	0,00
0		0	0	0,0000	0,0000	0,00	0,000	0,000	0,000	0,000	0,000	0,000	0,00	0,00	0,00	0,00	0,00
0		0	0	0,0000	0,0000	0,00	0,000	0,000	0,000	0,000	0,000	0,000	0,00	0,00	0,00	0,00	0,00
0		0	0	0,0000	0,0000	0,00	0,000	0,000	0,000	0,000	0,000	0,000	0,00	0,00	0,00	0,00	0,00
0		0	0	0,0000	0,0000	0,00	0,000	0,000	0,000	0,000	0,000	0,000	0,00	0,00	0,00	0,00	0,00
0		0	0	0,0000	0,0000	0,00	0,000	0,000	0,000	0,000	0,000	0,000	0,00	0,00	0,00	0,00	0,00
0		0	0	0,0000	0,0000	0,00	0,000	0,000	0,000	0,000	0,000	0,000	0,00	0,00	0,00	0,00	0,00
0		0	0	0,0000	0,0000	0,00	0,000	0,000	0,000	0,000	0,000	0,000	0,00	0,00	0,00	0,00	0,00
0		0	0	0,0000	0,0000	0,00	0,000	0,000	0,000	0,000	0,000	0,000	0,00	0,00	0,00	0,00	0,00
0		0	0	0,0000	0,0000	0,00	0,000	0,000	0,000	0,000	0,000	0,000	0,00	0,00	0,00	0,00	0,00
0		0	0	0,0000	0,0000	0,00	0,000	0,000	0,000	0,000	0,000	0,000	0,00	0,00	0,00	0,00	0,00
0		0	0	0,0000	0,0000	0,00	0,000	0,000	0,000	0,000	0,000	0,000	0,00	0,00	0,00	0,00	0,00
0		0	0	0,0000	0,0000	0,00	0,000	0,000	0,000	0,000	0,000	0,000	0,00	0,00	0,00	0,00	0,00
0		0	0	0,0000	0,0000	0,00	0,000	0,000	0,000	0,000	0,000	0,000	0,00	0,00	0,00	0,00	0,00
0		0	0	0,0000	0,0000	0,00	0,000	0,000	0,000	0,000	0,000	0,000	0,00	0,00	0,00	0,00	0,00
0		0	0	0,0000	0,0000	0,00	0,000	0,000	0,000	0,000	0,000	0,000	0,00	0,00	0,00	0,00	0,00
0		0	0	0,0000	0,0000	0,00	0,000	0,000	0,000	0,000	0,000	0,000	0,00	0,00	0,00	0,00	0,00
0		0	0	0,0000	0,0000	0,00	0,000	0,000	0,000	0,000	0,000	0,000	0,00	0,00	0,00	0,00	0,00
0		0	0	0,0000	0,0000	0,00	0,000	0,000	0,000	0,000	0,000	0,000	0,00	0,00	0,00	0,00	0,00
0		0	0	0,0000	0,0000	0,00	0,000	0,000	0,000	0,000	0,000	0,000	0,00	0,00	0,00	0,00	0,00
0		0	0	0,0000	0,0000	0,00	0,000	0,000	0,000	0,000	0,000	0,000	0,00	0,00	0,00	0,00	0,00
0		0	0	0,0000	0,0000	0,00	0,000	0,000	0,000	0,000	0,000	0,000	0,00	0,00	0,00	0,00	0,00
0		0	0	0,0000	0,0000	0,00	0,000	0,000	0,000	0,000	0,000	0,000	0,00	0,00	0,00	0,00	0,00
0		0	0	0,0000	0,0000	0,00	0,000	0,000	0,000	0,000	0,000	0,000	0,00	0,00	0,00	0,00	0,00
0		0	0	0,0000	0,0000	0,00	0,000	0,000	0,000	0,000	0,000	0,000	0,00	0,00	0,00	0,00	0,00
0		0	0	0,0000	0,0000	0,00	0,000	0,000	0,000	0,000	0,000	0,000	0,00	0,00	0,00	0,00	0,00
0		0	0	0,0000	0,0000	0,00	0,000	0,000	0,000	0,000	0,000	0,000	0,00	0,00	0,00	0,00	0,00
0		0	0	0,0000	0,0000	0,00	0,000	0,000	0,000	0,000	0,000	0,000	0,00	0,00	0,00	0,00	0,00
0		0	0	0,0000	0,0000	0,00	0,000	0,000	0,000	0,000	0,000	0,000	0,00	0,00	0,00	0,00	0,00
0		0	0	0,0000	0,0000	0,00	0,000	0,000	0,000	0,000	0,000	0,000	0,00	0,00	0,00	0,00	0,00
0		0	0	0,0000	0,0000	0,00	0,000	0,000	0,000	0,000	0,000	0,000	0,00	0,00	0,00	0,00	0,

### h = 7 m

Zakázka	<b>05_CHOC.DPS</b>	Příloha:	<b>2</b>	Strana:	<b>3/3</b>
Objekt:	<b>Novostavba</b>	Datum:	<b>11.11.21</b>		
Výpočet	<b>Výpočet zatížení větrem</b>	Vypočetil:	<b>Ing. Martin Šponar</b>		

#### PLOCHÁ STŘECHA - VÍTR Y

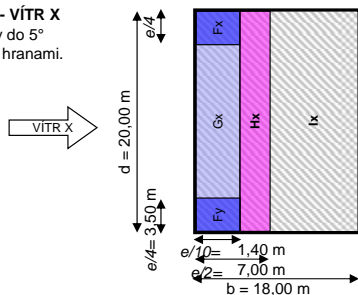
platí pro sklon střechy do 5°  
Typ střechy s ostrými hranami.  
e = 14,00 m



PLOCHÁ STŘECHA - VÍTR Y										
Výška lin. zat	Poslední podlaží	Výška z pro výpočet tlaku větru	Intenzita turbulence	Součinitel drsnosti terénu	Střední rychlost větru	Maximální dynamický tlak	Tlak působící na příslušnou oblast střechy			
							Fy	Gy	Hy	Iy
		z	$I_v(z)$	$c_r(z)$	$v_m(z)$	$q_p(z)$	$w_{e,Fy}(z)$	$w_{e,Gy}(z)$	$w_{e,Hy}(z)$	$w_{e,Iy}(z)$
[m]		[m]	[-]	[-]	[km/h]	[kN/m²]	[kN/m²]	[kN/m²]	[kN/m²]	[kN/m²]
7	2	7	0,4343	0,5396	13,49	0,459	-1,009	-0,551	-0,322	0,092

#### PLOCHÁ STŘECHA - VÍTR X

platí pro sklon střechy do 5°  
Typ střechy s ostrými hranami.  
e = 14,00 m



PLOCHA STŘECHA - VÍTR X										
Výška lin. zat	Poslední podlaží	Výška z pro výpočet tlaku větru	Intenzita turbulence	Součinitel drsnosti terénu	Střední rychlost větru	Maximální dynamický tlak	Tlak působící na příslušnou oblast střechy			
							F <sub>x</sub>	G <sub>x</sub>	H <sub>x</sub>	I <sub>x</sub>
		z	I <sub>v</sub> (z)	c <sub>r</sub> (z)	v <sub>m</sub> (z)	q <sub>p</sub> (z)	w <sub>e,Fx</sub> (z)	w <sub>e,Gx</sub> (z)	w <sub>e,Hx</sub> (z)	w <sub>e,Ix</sub> (z)
[m]		[m]	[-]	[-]	[km/h]	[kN/m <sup>2</sup> ]	[kN/m <sup>2</sup> ]	[kN/m <sup>2</sup> ]	[kN/m <sup>2</sup> ]	[kN/m <sup>2</sup> ]
7	2	7	0,4343	0,5396	13,49	0,459	-1,009	-0,551	-0,322	0,092


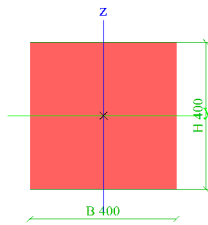

## 1. Obsah

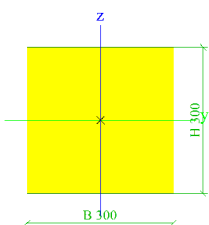

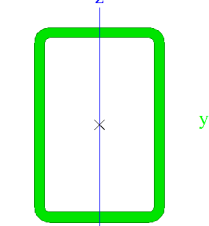

1. Obsah	1
2. Průřezy	2
3. Průřezy barevně	4
4. Prvky	5
5. Axonometrie prvků	5
6. Materiály	5
7. Výpočet vylehčení desky v místě kavern	6
8. 1pp - materiály barevně	6
9. 1np - materiály barevně	7
10. Skupiny zatížení	7
11. Zatěžovací stavy	7
12. Kombinace	7
13. ZD	8
13.1. Zatěžovací stavy	8
13.1.1. Zatěžovací stavy - ZS2	8
13.1.2. Zatěžovací stavy - ZS3	9
13.1.3. Zatěžovací stavy - ZS7	9
13.1.4. Zatěžovací stavy - ZS10	10
13.2. Podloží	10
13.3. Kontaktní napětí v základové spáře	11
13.3.1. 2D kontaktní napětí	11
13.4. Vnitřní síly železobetonových 2D prvků	11
13.4.1. 2D vnitřní síly	11
13.5. Protlačení ZD od žb sloupu	15
13.6. Protlačení ZD od ocelového sloupu	16
13.7. Vyztužení železobetonových 2D prvků	18
13.7.1. Návrh výztuže (MSÚ+MSP)	18
13.8. Trhliny železobetonových 2D prvků	20
13.9. Deformace železobetonových 2D prvků	22
14. 1PP	23
14.1. Zatěžovací stavy	23
14.1.1. Zatěžovací stavy - ZS2	23
14.1.2. Zatěžovací stavy - ZS3	24
14.1.3. Zatěžovací stavy - ZS7	24
14.1.4. Zatěžovací stavy - ZS8	25
14.1.5. Zatěžovací stavy - ZS9	25
14.1.6. Zatěžovací stavy - ZS10	26
14.2. Stěny 1.PP - Vnitřní síly železobetonových 2D prvků	26
14.2.1. 2D vnitřní síly	26
14.3. Stěny 1.PP - Vyztužení železobetonových 2D prvků	29
14.3.1. Návrh výztuže (MSÚ+MSP)	29
14.4. Deska nad 1.PP - Vnitřní síly železobetonových 2D prvků	32
14.4.1. 2D vnitřní síly	32
14.5. Deska nad 1.PP - Vyztužení železobetonových 2D prvků	35
14.5.1. Návrh výztuže (MSÚ+MSP)	35
14.6. Deska nad 1.PP - Trhliny železobetonových 2D prvků	37
14.7. Deska nad 1.PP - Deformace železobetonových 2D prvků	39
15. 1NP	40
15.1. Zatěžovací stavy	40
15.1.1. Zatěžovací stavy - ZS2	40
15.1.2. Zatěžovací stavy - ZS4	41
15.2. Zatížení na zdivo	41
15.2.1. 2D vnitřní síly	41
15.3. Posouzení vnějšího zdiva	71
15.4. Stěny 1.NP - Vyztužení železobetonových 2D prvků	73
15.4.1. Návrh výztuže (MSÚ+MSP)	73
15.5. Deska nad 1.NP - Vnitřní síly železobetonových 2D prvků	75
15.6. Deska nad 1.NP - Vyztužení železobetonových 2D prvků	77
15.6.1. Návrh výztuže (MSÚ+MSP)	77
15.7. Deska nad 1.NP - Trhliny železobetonových 2D prvků	79
15.8. Deska nad 1.NP - Deformace železobetonových 2D prvků	81
16. Posouzení 1D prvků	82
16.1. Vnitřní síly 1D prvků	82
16.2. Posouzení ocelových prvků MSÚ	85
16.2.1. Posudek ocelových prvků na MSÚ EC-EN 1993	85

16.3. Souhrnný posudek MSU železobetonových 1D prvků  
 16.3.1. Souhrnný posudek

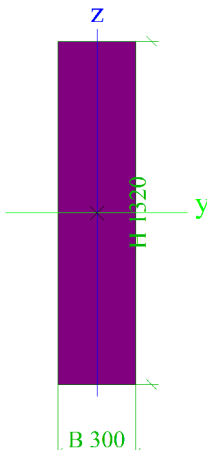
87  
 87

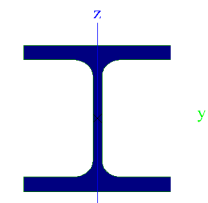
## 2. Průřezy


sloup 1PP		
Typ	Obdélník	
Detailní	400; 400	
Typ tvaru	Tlustostěnný	
Materiál	C30/37(EN1992-2)	
Výroba	beton	
Barva		
A [m²]	1,6000e-01	
A <sub>y</sub> [m²], A <sub>z</sub> [m²]	1,3333e-01	1,3333e-01
A <sub>L</sub> [m²/m], A <sub>D</sub> [m²/m]	1,6000e+00	1,6000e+00
c <sub>y,UCS</sub> [mm], c <sub>z,UCS</sub> [mm]	200	200
α [deg]	0,00	
I <sub>y</sub> [m⁴], I <sub>z</sub> [m⁴]	2,1333e-03	2,1333e-03
i <sub>y</sub> [mm], i <sub>z</sub> [mm]	115	115
W <sub>el,y</sub> [m³], W <sub>el,z</sub> [m³]	1,0667e-02	1,0667e-02
W <sub>pl,y</sub> [m³], W <sub>pl,z</sub> [m³]	0,0000e+00	0,0000e+00
M <sub>pl,y,+</sub> [Nm], M <sub>pl,y,-</sub> [Nm]	0,00e+00	0,00e+00
M <sub>pl,z,+</sub> [Nm], M <sub>pl,z,-</sub> [Nm]	0,00e+00	0,00e+00
d <sub>y</sub> [mm], d <sub>z</sub> [mm]	0	0
I <sub>t</sub> [m⁴], I <sub>w</sub> [m⁶]	3,6027e-03	0,0000e+00
β <sub>y</sub> [mm], β <sub>z</sub> [mm]	0	0
Obrázek		
pruvlak 1.PP		
Typ	Obdélník	
Detailní	300; 300	
Typ tvaru	Tlustostěnný	
Materiál	C30/37(EN1992-2)	
Výroba	beton	
Barva		
A [m²]	9,0000e-02	
A <sub>y</sub> [m²], A <sub>z</sub> [m²]	7,5093e-02	7,5093e-02
A <sub>L</sub> [m²/m], A <sub>D</sub> [m²/m]	1,2000e+00	1,2000e+00
c <sub>y,UCS</sub> [mm], c <sub>z,UCS</sub> [mm]	150	150
α [deg]	0,00	
I <sub>y</sub> [m⁴], I <sub>z</sub> [m⁴]	6,7500e-04	6,7500e-04
i <sub>y</sub> [mm], i <sub>z</sub> [mm]	87	87
W <sub>el,y</sub> [m³], W <sub>el,z</sub> [m³]	4,5000e-03	4,5000e-03
W <sub>pl,y</sub> [m³], W <sub>pl,z</sub> [m³]	0,0000e+00	0,0000e+00
M <sub>pl,y,+</sub> [Nm], M <sub>pl,y,-</sub> [Nm]	0,00e+00	0,00e+00
M <sub>pl,z,+</sub> [Nm], M <sub>pl,z,-</sub> [Nm]	0,00e+00	0,00e+00
d <sub>y</sub> [mm], d <sub>z</sub> [mm]	0	0
I <sub>t</sub> [m⁴], I <sub>w</sub> [m⁶]	1,1369e-03	9,1138e-08

$\beta_y$ [mm], $\beta_z$ [mm] Obrázek	0	0
		
sloup		
Typ	MSH150x100x8.0	
Kód tvaru	2 - Obdélníkové uzavř	
Typ tvaru	Tenkostěnný	
Materiál	S 235	
Výroba	válcovaný	
Barva		
Posudek rovinného vzpěru y-y, Posudek rovinného vzpěru z-z	a	a
A [m <sup>2</sup> ]	3,6800e-03	
A <sub>y</sub> [m <sup>2</sup> ], A <sub>z</sub> [m <sup>2</sup> ]	1,4528e-03	2,1793e-03
A <sub>L</sub> [m <sup>2</sup> /m], A <sub>D</sub> [m <sup>2</sup> /m]	4,7900e-01	9,0840e-01
C <sub>y,UCS</sub> [mm], C <sub>z,UCS</sub> [mm]	50	75
α [deg]	0,00	
I <sub>y</sub> [m <sup>4</sup> ], I <sub>z</sub> [m <sup>4</sup> ]	1,0900e-05	5,6900e-06
i <sub>y</sub> [mm], i <sub>z</sub> [mm]	54	39
W <sub>el,y</sub> [m <sup>3</sup> ], W <sub>el,z</sub> [m <sup>3</sup> ]	1,4500e-04	1,1400e-04
W <sub>pl,y</sub> [m <sup>3</sup> ], W <sub>pl,z</sub> [m <sup>3</sup> ]	1,8000e-04	1,3500e-04
M <sub>pl,y,+</sub> [Nm], M <sub>pl,y,-</sub> [Nm]	4,17e+04	4,17e+04
M <sub>pl,z,+</sub> [Nm], M <sub>pl,z,-</sub> [Nm]	3,13e+04	3,13e+04
d <sub>y</sub> [mm], d <sub>z</sub> [mm]	0	0
I <sub>t</sub> [m <sup>4</sup> ], I <sub>w</sub> [m <sup>6</sup> ]	1,2000e-05	1,8750e-08
$\beta_y$ [mm], $\beta_z$ [mm] Obrázek	0	0
		
atika		
Typ	Obdélník	
Detailní	1320; 300	
Typ tvaru	Tlustostěnný	
Materiál	C30/37(EN1992-2)	
Výroba	beton	
Barva		
A [m <sup>2</sup> ]	3,9600e-01	
A <sub>y</sub> [m <sup>2</sup> ], A <sub>z</sub> [m <sup>2</sup> ]	3,3197e-01	3,3008e-01



$A_L$ [m <sup>2</sup> /m], $A_D$ [m <sup>2</sup> /m]	3,2400e+00	3,2400e+00
$C_{Y.UCS}$ [mm], $C_{Z.UCS}$ [mm]	150	660
$\alpha$ [deg]	0,00	
$I_y$ [m <sup>4</sup> ], $I_z$ [m <sup>4</sup> ]	5,7499e-02	2,9700e-03
$i_y$ [mm], $i_z$ [mm]	381	87
$W_{el.y}$ [m <sup>3</sup> ], $W_{el.z}$ [m <sup>3</sup> ]	8,7120e-02	1,9800e-02
$W_{pl.y}$ [m <sup>3</sup> ], $W_{pl.z}$ [m <sup>3</sup> ]	0,0000e+00	0,0000e+00
$M_{pl.y.+}$ [Nm], $M_{pl.y.-}$ [Nm]	0,00e+00	0,00e+00
$M_{pl.z.+}$ [Nm], $M_{pl.z.-}$ [Nm]	0,00e+00	0,00e+00
$d_y$ [mm], $d_z$ [mm]	0	0
$I_t$ [m <sup>4</sup> ], $I_w$ [m <sup>6</sup> ]	1,0149e-02	3,4147e-04
$\beta_y$ [mm], $\beta_z$ [mm]	0	0
Obrázek		

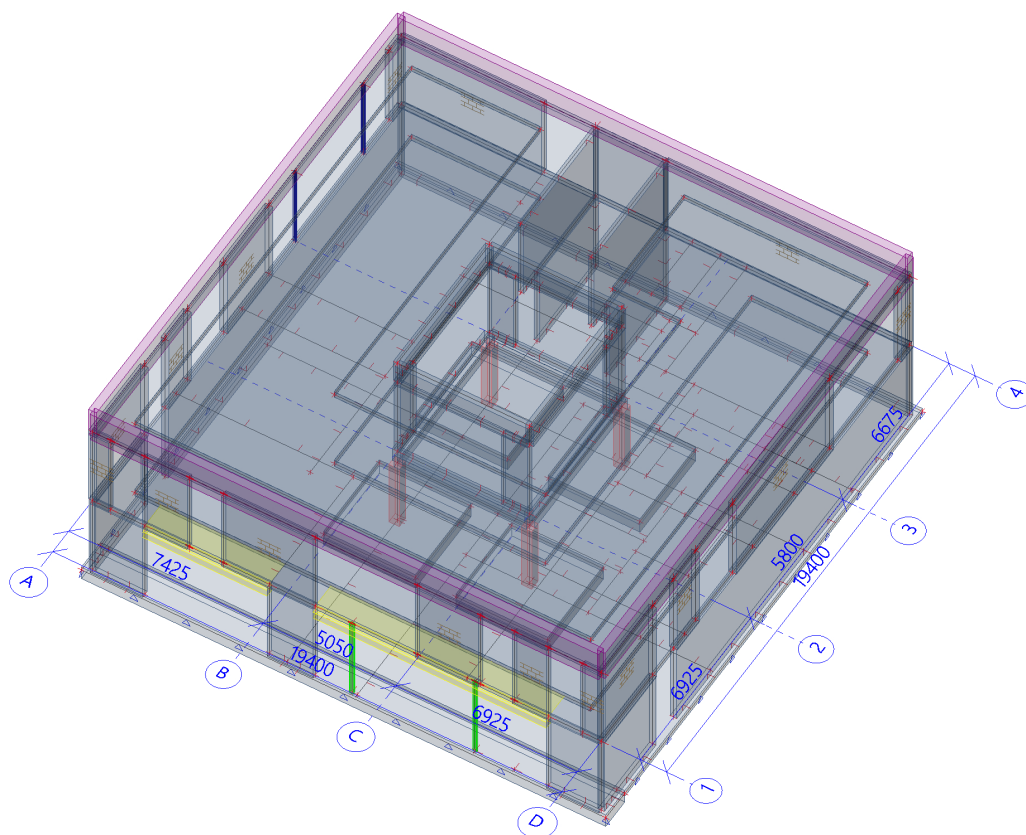
$I_t$ [m <sup>4</sup> ], $I_w$ [m <sup>6</sup> ]	9,2500e-08	3,3750e-09
$\beta_y$ [mm], $\beta_z$ [mm]	0	0
Obrázek		

sloup 1.NP		
Typ	HEB100	
Kód tvaru	1 - I průřez	
Typ tvaru	Tenkostěnný	
Material	S 235	
Výroba	válcovaný	
Barva		
Posudek rovinného vzpěru y-y, Posudek rovinného vzpěru z-z	b	c
$A$ [m <sup>2</sup> ]	2,6040e-03	
$A_y$ [m <sup>2</sup> ], $A_z$ [m <sup>2</sup> ]	2,0237e-03	6,5734e-04
$A_L$ [m <sup>2</sup> /m], $A_D$ [m <sup>2</sup> /m]	5,6700e-01	5,6730e-01
$C_{Y.UCS}$ [mm], $C_{Z.UCS}$ [mm]	50	50
$\alpha$ [deg]	0,00	
$I_y$ [m <sup>4</sup> ], $I_z$ [m <sup>4</sup> ]	4,4950e-06	1,6730e-06
$i_y$ [mm], $i_z$ [mm]	42	25
$W_{el.y}$ [m <sup>3</sup> ], $W_{el.z}$ [m <sup>3</sup> ]	8,9910e-05	3,3450e-05
$W_{pl.y}$ [m <sup>3</sup> ], $W_{pl.z}$ [m <sup>3</sup> ]	1,0420e-04	5,1420e-05
$M_{pl.y.+}$ [Nm], $M_{pl.y.-}$ [Nm]	2,45e+04	2,45e+04
$M_{pl.z.+}$ [Nm], $M_{pl.z.-}$ [Nm]	1,21e+04	1,21e+04
$d_y$ [mm], $d_z$ [mm]	0	0

Vysvětlivky symbolů	
A	Plocha
$A_y$	Smyková plocha ve směru hlavní osy y
$A_z$	Smyková plocha ve směru hlavní osy z
$A_L$	Obvodový povrch na jednotku délky
$A_D$	Vysychající povrch na jednotku délky
CY.UCS	Souřadnice těžiště ve směru osy Y zadávacího systému
CZ.UCS	Souřadnice těžiště ve směru osy Z zadávacího systému
$I_{Y.LCS}$	Moment setrvačnosti kolem osy YLSS
$I_{Z.LCS}$	Moment setrvačnosti kolem osy ZLSS
$I_{YZ.LCS}$	Moment setrvačnosti $I_{yz}$ v LSS
$\alpha$	Úhel pootočení hlavní osy
$I_y$	Moment setrvačnosti kolem hlavní osy y
$I_z$	Moment setrvačnosti kolem hlavní osy z
$i_y$	Poloměr setrvačnosti kolem hlavní osy y
$i_z$	Poloměr setrvačnosti kolem hlavní osy z

Vysvětlivky symbolů	
$W_{el.y}$	Pružný modul průřezu k hlavní ose y
$W_{el.z}$	Pružný modul průřezu k hlavní ose z
$W_{pl.y}$	Plastický modul průřezu k hlavní ose y
$W_{pl.z}$	Plastický modul průřezu k hlavní ose z
$M_{pl.y.+}$	Plastický moment kolem hlavní osy y pro kladný moment $M_y$
$M_{pl.y.-}$	Plastický moment kolem hlavní osy y pro záporný moment $M_y$
$M_{pl.z.+}$	Plastický moment kolem hlavní osy z pro kladný moment $M_z$
$M_{pl.z.-}$	Plastický moment kolem hlavní osy z pro záporný moment $M_z$
$d_y$	Souřadnice středu smyku ve směru hlavní osy y měřená od těžiště - Nespočteno nebo zjednodušeno
$d_z$	Souřadnice středu smyku ve směru hlavní osy z měřená od těžiště - Nespočteno nebo zjednodušeno
$I_t$	Moment setrvačnosti v prostém kroucení - Nespočteno nebo zjednodušeno
$I_w$	Výsečový moment setrvačnosti - Nespočteno nebo zjednodušeno
$\beta_y$	Mono-symetrická konstanta kolem hlavní osy y
$\beta_z$	Mono-symetrická konstanta kolem hlavní osy z

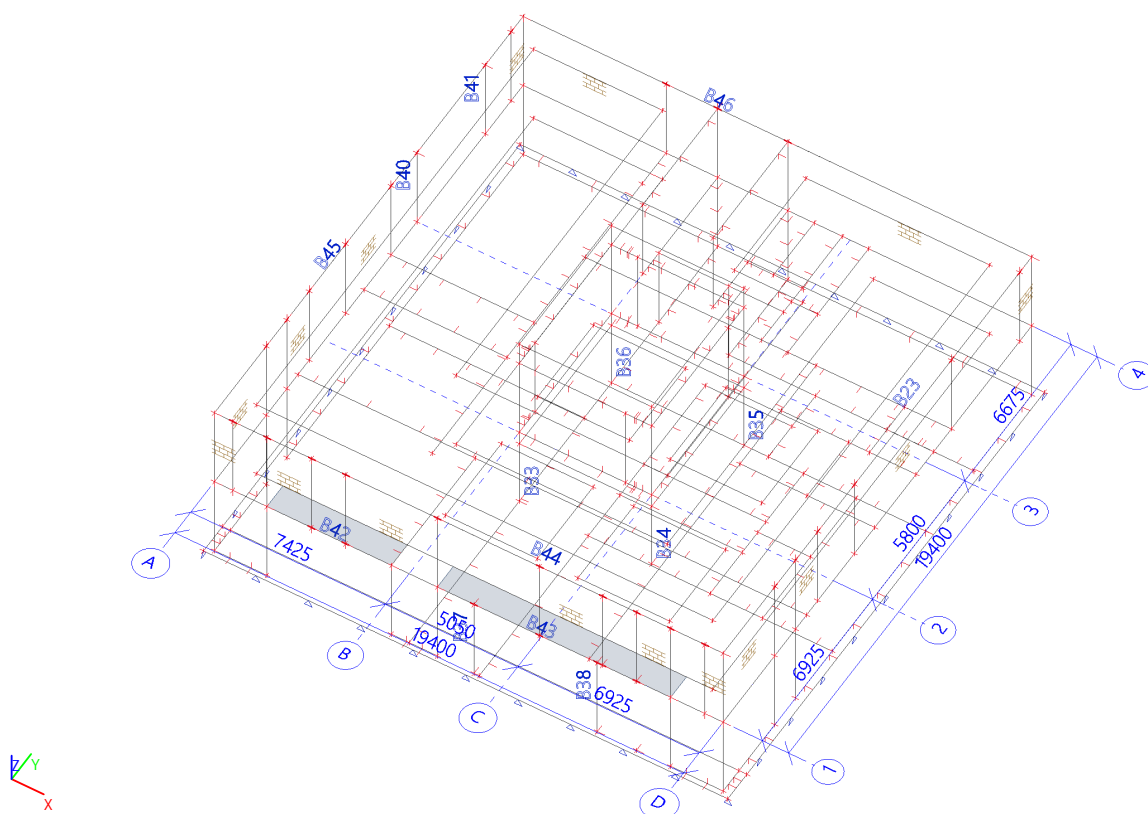
### 3. Průřezy barevně



## 4. Prvky

Jméno	Průřez	Material	Délka [m]	Poč. uzel	Konc. uzel	Typ
B33	sloup 1PP - Obdélník (400; 400)	C30/37(EN1992-2)	3,000	N229	N225	nosník (80)
B34	sloup 1PP - Obdélník (400; 400)	C30/37(EN1992-2)	3,000	N230	N306	nosník (80)
B35	sloup 1PP - Obdélník (400; 400)	C30/37(EN1992-2)	3,000	N231	N307	nosník (80)
B36	sloup 1PP - Obdélník (400; 400)	C30/37(EN1992-2)	3,000	N232	N308	nosník (80)
B37	sloup - MSH150x100x8.0	S 235	3,600	N357	N358	nosník (80)
B38	sloup - MSH150x100x8.0	S 235	3,600	N359	N422	nosník (80)
B40	sloup 1.NP - HEB100	S 235	3,600	N361	N362	nosník (80)
B41	sloup 1.NP - HEB100	S 235	3,600	N363	N364	nosník (80)
B42	pruvlak 1.PP - Obdélník (300; 300)	C30/37(EN1992-2)	4,750	N201	N204	žebro desky (92)
B43	pruvlak 1.PP - Obdélník (300; 300)	C30/37(EN1992-2)	8,900	N205	N208	žebro desky (92)
B23	atika - Obdélník (1320; 300)	C30/37(EN1992-2)	19,400	N272	N260	nosník (80)
B44	atika - Obdélník (1320; 300)	C30/37(EN1992-2)	19,400	N260	N245	nosník (80)
B45	atika - Obdélník (1320; 300)	C30/37(EN1992-2)	19,400	N245	N274	nosník (80)
B46	atika - Obdélník (1320; 300)	C30/37(EN1992-2)	19,400	N274	N272	nosník (80)

## 5. Axonometrie prvků



## 6. Materiály

Ocel EC3

Jméno	$\rho$ [kg/m <sup>3</sup> ]	$E_{mod}$ [MPa]	$\mu$	Dolní mez [mm]	Horní mez [mm]	$F_y$ [MPa]	$F_u$ [MPa]	Barva
		$G_{mod}$ [MPa]	$\alpha$ [m/mK]					
S 235	7850,0	2,1000e+05	0,3	0	40	235,0	360,0	
		8,0769e+04	0,00	40	80	215,0	360,0	

Výztuž EC2

Jméno	Typ	$\rho$ [kg/m <sup>3</sup> ]	$E_{mod}$ [MPa]	$G_{mod}$ [MPa]	$\alpha$ [m/mK]	$f_{y,k}$ [MPa]
B 500B	Výztužná ocel	7850,0	2,0000e+05	8,3333e+04	0,00	500,0

Zdivo

Jméno	Typ	$\rho$ [kg/m <sup>3</sup> ]	$E_{mod}$ [MPa]	$\mu$	$G_{mod}$ [MPa]	$\alpha$ [m/mK]	$f_k$ [MPa]	Barva
Masonry	Zdivo	900,0	3,0000e+03	0.25	1,2000e+03	0,00	3,0	

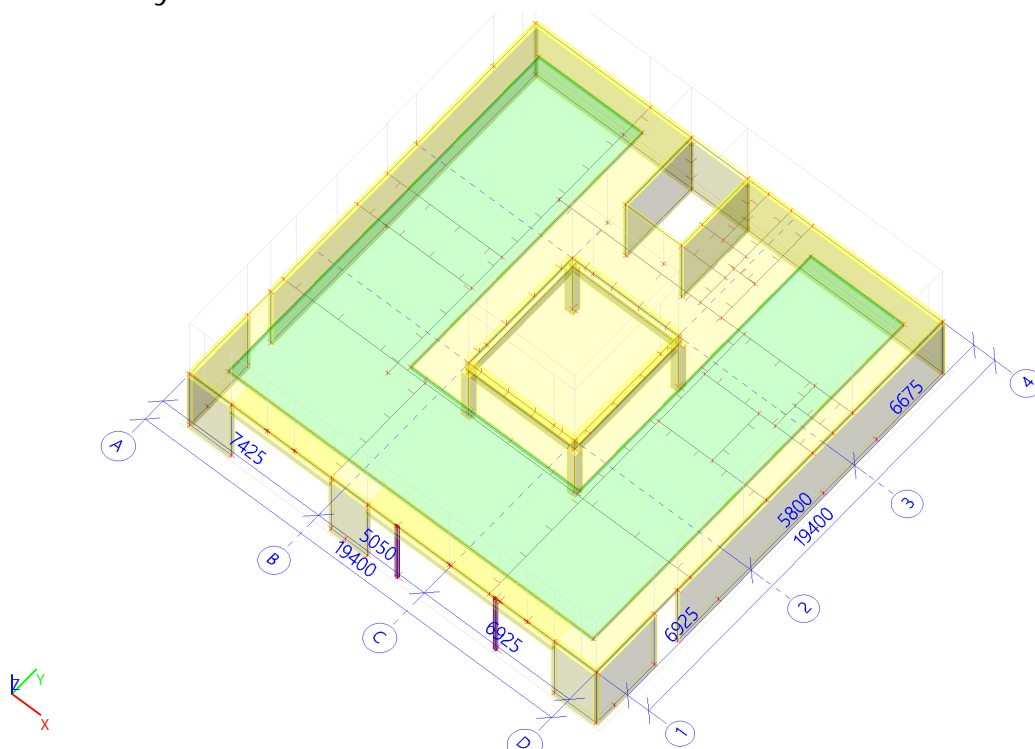
Beton EN 1992-2

Jméno	Typ	Jednotková hmotnost [kg/m <sup>3</sup> ]	E [MPa]	Poisson - nu	G [MPa]	Tep.roztaž. [m/mK]	Barva
C25/30(EN1992-2)	Beton	2500,0	3,1500e+04	0.2	1,3125e+04	0,00	
C30/37(EN1992-2)	Beton	2500,0	3,2800e+04	0.2	1,3667e+04	0,00	
C30/37(EN1992-2) UBOOT-160	Beton	1800,0	3,2800e+04	0.2	1,3667e+04	0,00	
C30/37(EN1992-2) UBOOT-180	Beton	1805,0	3,2800e+04	0.2	1,3667e+04	0,00	

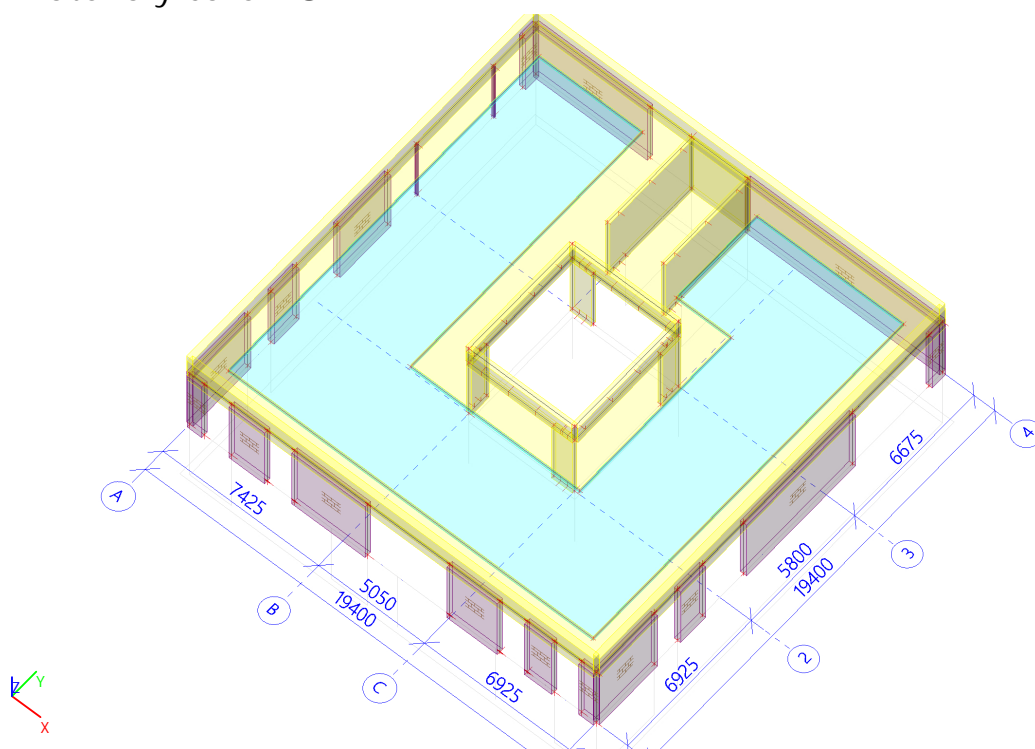
## 7. Výpočet vylehčení desky v místě kavern

													tuhost desky			
tl desk	tl šlupky	tl šlupky nahore	šíře trámku	výška vločky	rozteč	typ	objem vločky	objem /m2	ušetřený beton na vločku	ušetřený beton na m2	objem odlehčené části	poměr	zt	ly	Hiy	pomě r
m	m	m	m	m	m		m3	m3	kN	kN	kN/m3		m	m <sup>4</sup>	m	
0,28	0,06	0,06	0,12	0,16	0,64	single	0,035	0,0854	0,805	1,965332031	17,98095703	0,719	0,14	1,55E-03	0,265	0,947
0,3	0,06	0,06	0,12	0,18	0,64	single	0,0396	0,0967	0,9108	2,223632813	17,58789063	0,704	0,15	0,00186	0,281	0,938

## 8. 1pp - materiály barevné



## 9. 1np - materiály barevně



## 10. Skupiny zatížení

Jméno	Zatížení	Vztah	Typ
SZ1	Stálé		
SZ2	Proměnné	Vyběrová	Kat C : shromáždění
SZ3	Proměnné	Standard	Sníh
SZ4	Proměnné	Vyběrová	Vitr

## 11. Zatěžovací stavy

Jméno	Popis	Typ působení	Skupina zatížení	Směr	Působení	Řídící zat. stav
	Spec	Typ zatížení				
ZS1	Vlastní tíha	Stálé Vlastní tíha	SZ1	-Z		
ZS2	podlaha	Stálé Standard	SZ1			
ZS3	prický	Stálé Standard	SZ1			
ZS4	sníh Standard	Proměnné Statické	SZ3		Krátkodobé	Žádný
ZS5	vitr X+ Standard	Proměnné Statické	SZ4		Krátkodobé	Žádný
ZS6	vitr Y+ Standard	Proměnné Statické	SZ4		Krátkodobé	Žádný
ZS7	provoz Standard	Proměnné Statické	SZ2		Krátkodobé	Žádný
ZS8	provoz sach Standard	Proměnné Statické	SZ2		Krátkodobé	Žádný
ZS9	provoz sach Standard	Proměnné Statické	SZ2		Krátkodobé	Žádný
ZS10	zemina	Stálé Standard	SZ1			

## 12. Kombinace

Jméno	Popis	Typ	Zatěžovací stavy	Souč. [-]
MSÚ-B		EN-MSÚ (STR/GEO) Soubor	ZS1 - Vlastní tíha	1,00

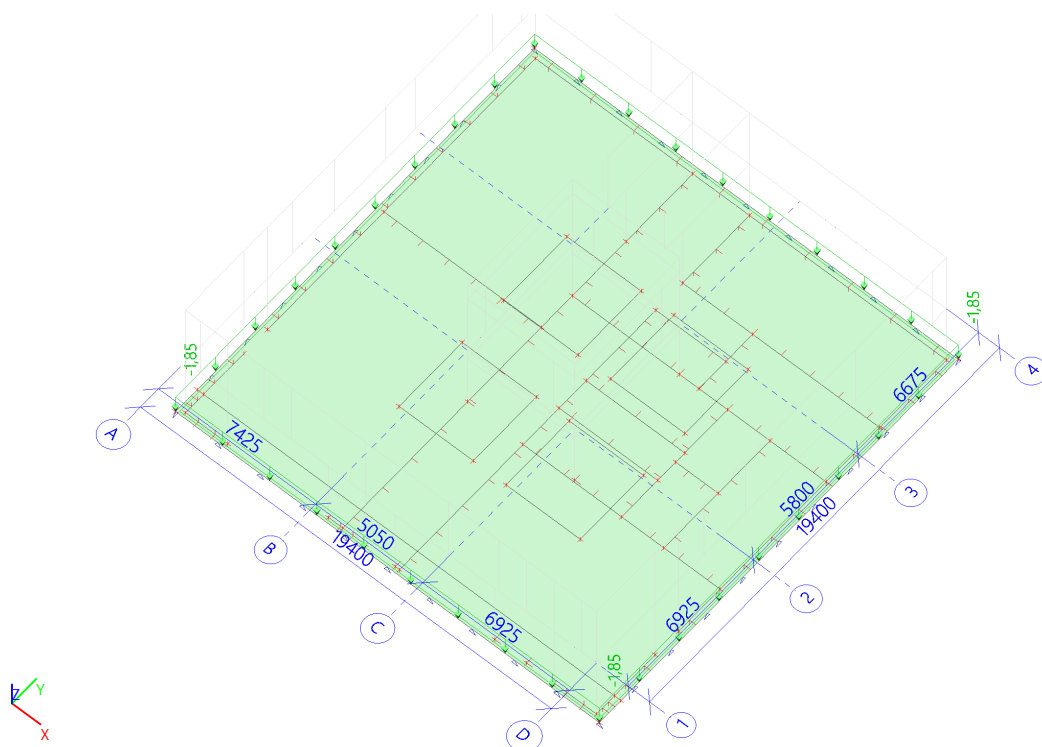
Jméno	Popis	Typ	Zatěžovací stavy	Souč. [-]
		B	ZS2 - podlaha	1,00
			ZS3 - prcky	1,00
			ZS4 - snih	1,00
			ZS5 - vitr X+	1,00
			ZS6 - vitr Y+	1,00
			ZS7 - provoz	1,00
			ZS8 - provoz sach	1,00
			ZS9 - provoz sach	1,00
			ZS10 - zemina	1,00
MSP-Kvazi		EN-MSP kvazistála	ZS1 - Vlastní tíha	1,00
			ZS2 - podlaha	1,00
			ZS3 - prcky	1,00
			ZS4 - snih	1,00
			ZS5 - vitr X+	1,00
			ZS6 - vitr Y+	1,00
			ZS7 - provoz	1,00
			ZS8 - provoz sach	1,00
			ZS9 - provoz sach	1,00
			ZS10 - zemina	1,00
MSP-Char		EN-MSP charakteristická	ZS1 - Vlastní tíha	1,00
			ZS2 - podlaha	1,00
			ZS3 - prcky	1,00
			ZS4 - snih	1,00
			ZS5 - vitr X+	1,00
			ZS6 - vitr Y+	1,00
			ZS7 - provoz	1,00
			ZS8 - provoz sach	1,00
			ZS9 - provoz sach	1,00
			ZS10 - zemina	1,00
pozar_MSU		EN-mimořádné 1	ZS1 - Vlastní tíha	1,00
			ZS2 - podlaha	1,00
			ZS3 - prcky	1,00
			ZS4 - snih	1,00
			ZS5 - vitr X+	1,00
soilin		Lineární - použitelnost	ZS1 - Vlastní tíha	1,00
			ZS2 - podlaha	1,00
			ZS3 - prcky	1,00
			ZS4 - snih	1,00
			ZS7 - provoz	1,00
			ZS8 - provoz sach	1,00
			ZS9 - provoz sach	1,00

## 13. ZD

### 13.1. Zatěžovací stavy

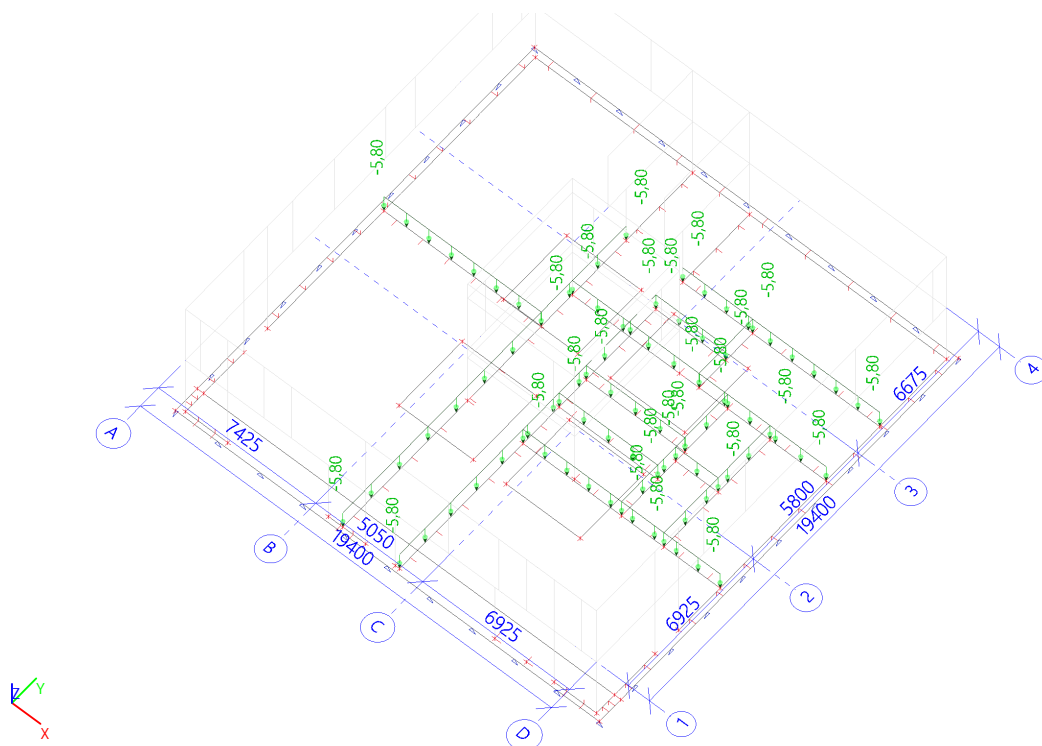
#### 13.1.1. Zatěžovací stavy - ZS2

Jméno	Popis	Typ působení	Skupina zatížení	Typ zatížení
ZS2	podlaha	Stálé	SZ1	Standard



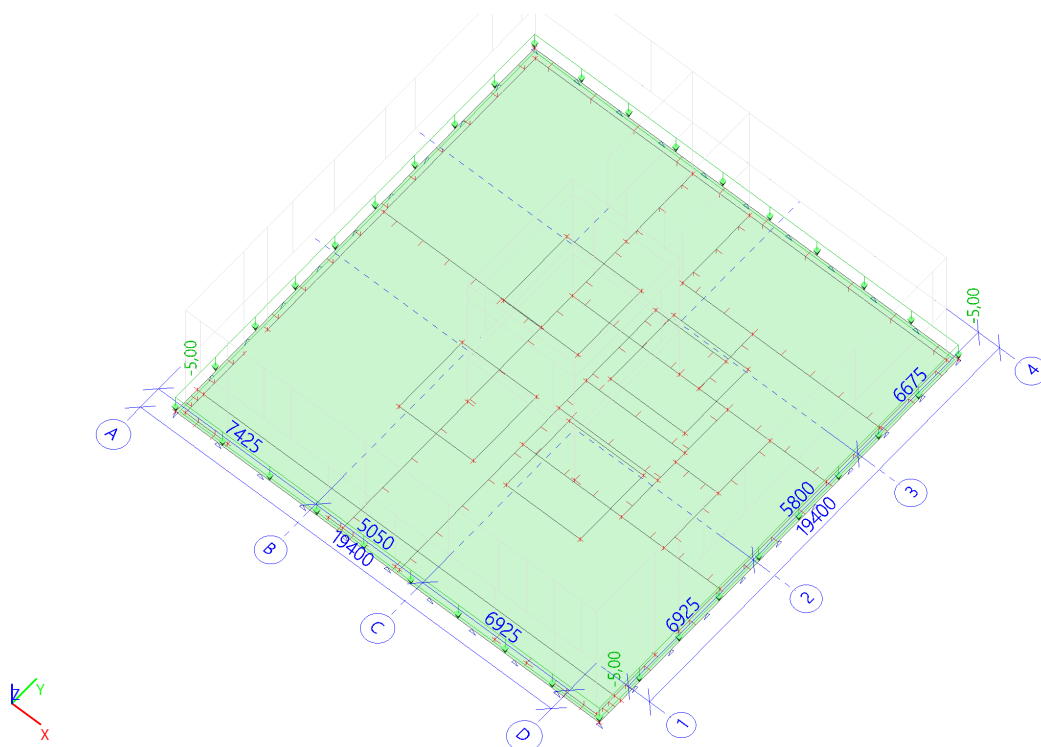
### 13.1.2. Zatěžovací stavy - ZS3

Jméno	Popis	Typ působení	Skupina zatížení	Typ zatížení
ZS3	prický	Stálé	SZ1	Standard



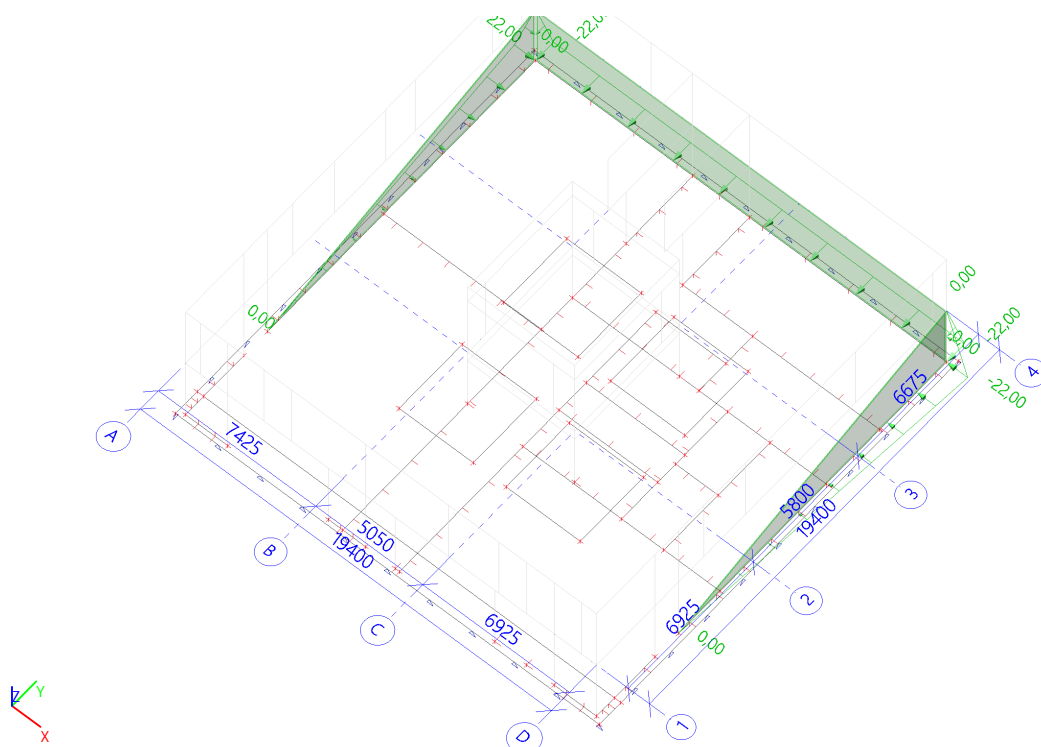
### 13.1.3. Zatěžovací stavy - ZS7

Jméno	Popis	Typ působení	Skupina zatížení	Typ zatížení	Spec	Působení	Řídicí zat. stav
ZS7	provoz	Proměnné	SZ2	Statické	Standard	Krátkodobé	Žádný



#### 13.1.4. Zatěžovací stavy - ZS10

Jméno	Popis	Typ působení	Skupina zatížení	Typ zatížení
ZS10	zemina	Stálé	SZ1	Standard



#### 13.2. Podloží

Jméno	C1x [MN/m <sup>3</sup> ]	C1z	C1y [MN/m <sup>3</sup> ]	Tuhost [MN/m <sup>3</sup> ]	C2x [MN/m]	C2y [MN/m]
Sand/Very silty	1,0000e+00	Pružný	1,0000e+00	4,0000e+00	1,0000e+00	1,0000e+00



### 13.3. Kontaktní napětí v základové spáře

#### 13.3.1. 2D kontaktní napětí

Lineární výpočet

Kombinace: soilin

Extrém: Globální

Výběr: Vše

Poloha: V uzlech s průměrováním. Systém: LSS prvku sítě

Jméno	Síť	Pozice [m]	Stav	$T_{zx}$ [kPa]	$T_{yz}$ [kPa]	$\sigma_z$ [kPa]
S97	Uzel: 10697	13,847 11,389 -3,600	soilin/1	-0,1	0,0	51,4
S97	Uzel: 10621	6,089 14,069 -3,600	soilin/1	0,2	0,1	51,1
S97	Uzel: 10852	8,549 0,270 -3,600	soilin/1	0,0	-0,3	62,2
S97	Uzel: 10488	11,114 5,594 -3,600	soilin/1	-0,1	0,1	53,6
S97	Uzel: 8946	3,699 4,995 -3,600	soilin/1	0,0	0,0	38,8
S97	Uzel: 10761	8,100 -0,200 -3,600	soilin/1	0,0	-0,3	87,5

Jméno	Klíč kombinace
soilin/1	ZS1 + ZS2 + ZS3 + ZS4 + ZS7 + ZS8 + ZS9

Hodnoty:  $\sigma_z$

Lineární výpočet

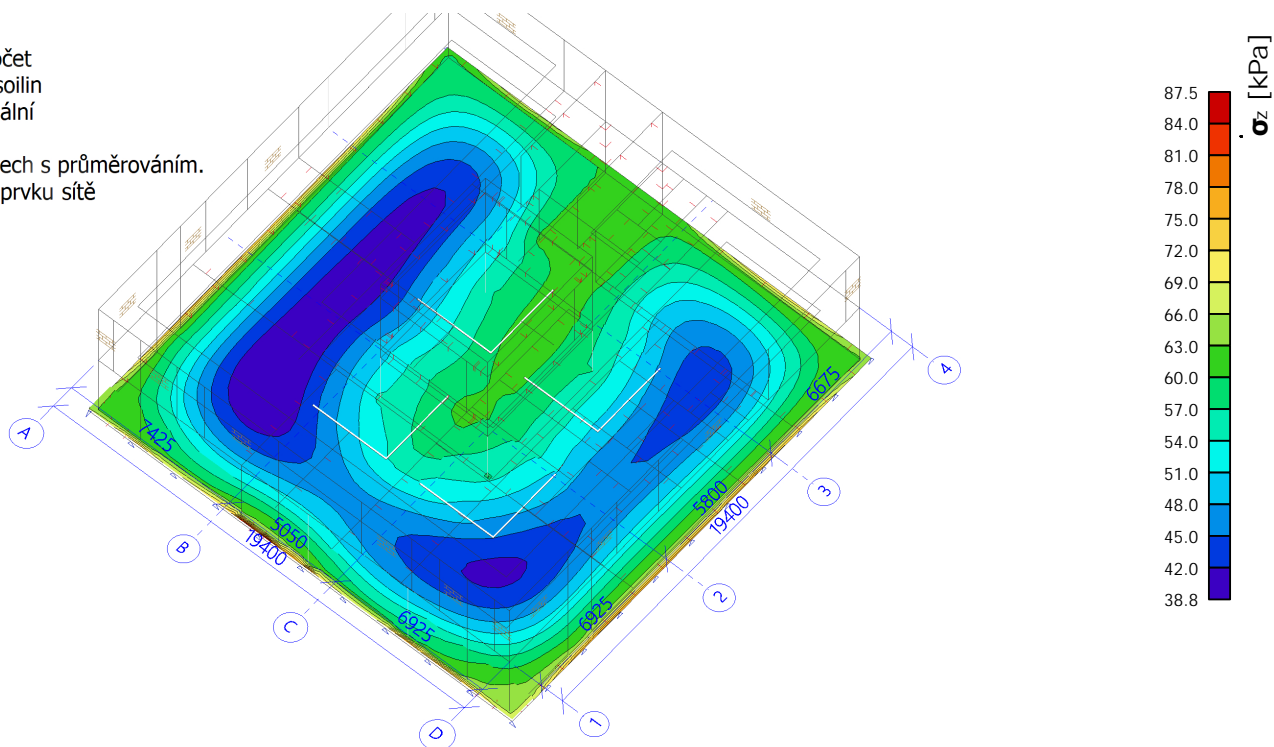
Kombinace: soilin

Extrém: Globální

Výběr: Vše

Poloha: V uzlech s průměrováním.

Systém: LSS prvku sítě



### 13.4. Vnitřní síly železobetonových 2D prvků

#### 13.4.1. 2D vnitřní síly

Lineární výpočet

Kombinace: MSÚ-B

Extrém: Globální

Výběr: Vše

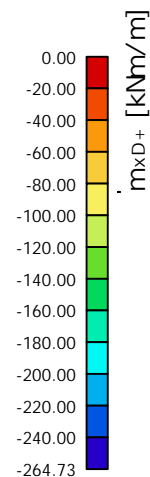
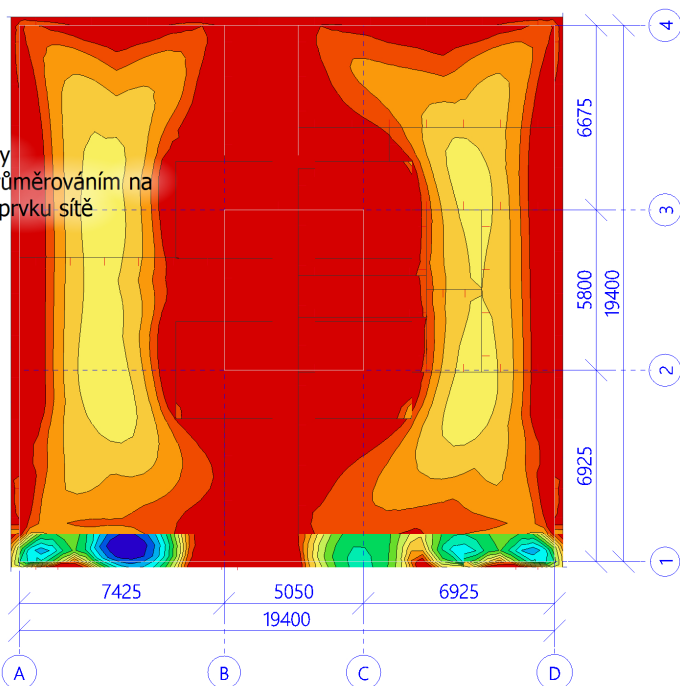
Filtr: Vrstva = zaklady

Poloha: V uzlech s průměrováním na makro. Systém: LSS prvku sítě  
 Základní návrhové veličiny

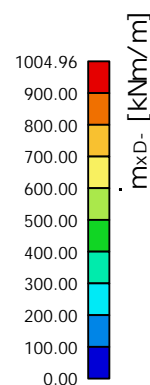
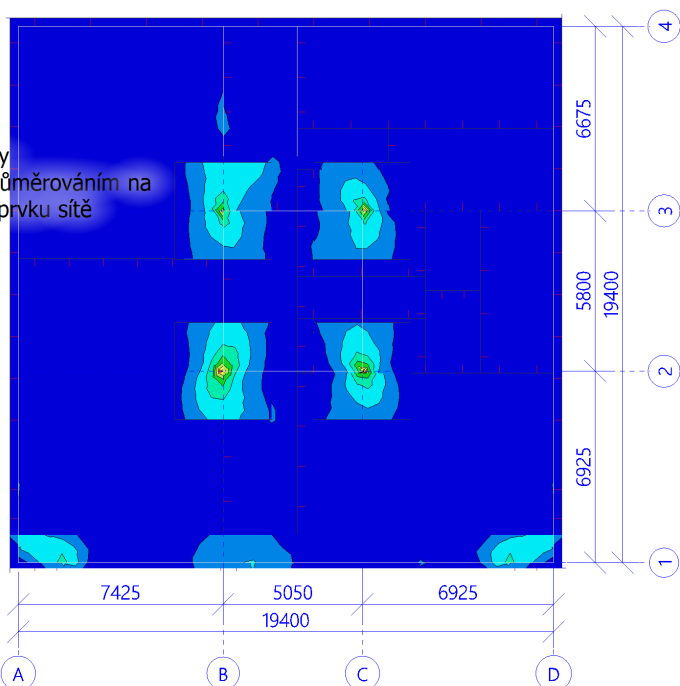
Jméno	Síť	Pozice [m]	Stav	$m_{xD+}$ [kNm/m] $m_{xD-}$ [kNm/m]	$m_{yD+}$ [kNm/m] $m_{yD-}$ [kNm/m]	$m_{cD+}$ [kNm/m] $m_{cD-}$ [kNm/m]	$n_{xD}$ [kN/m]	$n_{yD}$ [kN/m]	$n_{cD}$ [kN/m]
S97	Prvek: 10763 Uzel: 10801	3,704 0,591 -3,600	MSÚ-B/1	-264,73 0,00	-78,84 64,71	-186,15 -222,12	0,00	6,29	-270,89
S97	Prvek: 10800 Uzel: 10836	18,630 0,403 -3,600	MSÚ-B/1	-215,19 259,20	-202,87 271,52	-474,39 -474,39	-53,41	0,00	-115,90
S97	Prvek: 10463 Uzel: 232	12,475 6,925 -3,600	MSÚ-B/1	0,00 757,35	0,00 1020,65	-899,62 -290,11	208,27	131,74	-169,55
S97	Prvek: 10529 Uzel: 233	7,425 6,925 -3,600	MSÚ-B/1	0,00 1004,96	0,00 620,23	-973,54 -65,01	161,48	205,64	-147,78
S97	Prvek: 8332 Uzel: 8712	5,297 10,208 -3,600	MSÚ-B/2	-16,10 0,00	-18,07 0,00	0,00 -18,06	0,00	6,63	-56,64
S97	Prvek: 10799 Uzel: 10835	18,229 0,400 -3,600	MSÚ-B/1	-201,96 290,08	-194,97 297,07	-492,04 -492,04	-14,92	0,00	-94,58
S97	Prvek: 9214 Uzel: 9344	9,637 10,860 -3,600	MSÚ-B/2	0,00 33,94	0,00 5,44	-33,93 -0,01	19,41	0,00	-35,00
S97	Prvek: 8619 Uzel: 246	19,400 1,000 -3,600	MSÚ-B/1	-7,13 92,47	-77,05 22,55	-99,59 -99,59	-293,07	0,00	-472,47
S97	Prvek: 10865 Uzel: 13	19,400 0,000 -3,600	MSÚ-B/1	-156,89 27,02	-142,38 41,53	-183,91 -183,91	0,00	-199,06	-299,24
S97	Prvek: 10559 Uzel: 189	9,175 5,175 -3,600	MSÚ-B/1	-2,63 85,99	-6,10 82,52	-88,62 -88,62	810,50	633,40	-683,65
S97	Prvek: 10431 Uzel: 10496	11,892 5,594 -3,600	MSÚ-B/3	0,00 93,29	0,00 58,83	-91,40 -3,85	115,31	67,86	0,00

Jméno	Klíč kombinace
MSÚ-B/1	1.35*ZS1 + 1.35*ZS2 + 1.35*ZS3 + 0.75*ZS4 + 1.05*ZS7 + 1.35*ZS10
MSÚ-B/2	ZS1 + ZS2 + ZS3 + 0.75*ZS4 + 1.50*ZS8 + ZS10
MSÚ-B/3	ZS1 + ZS2 + ZS3 + ZS10

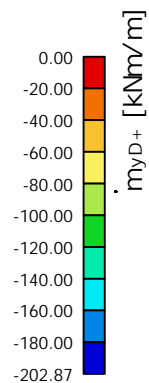
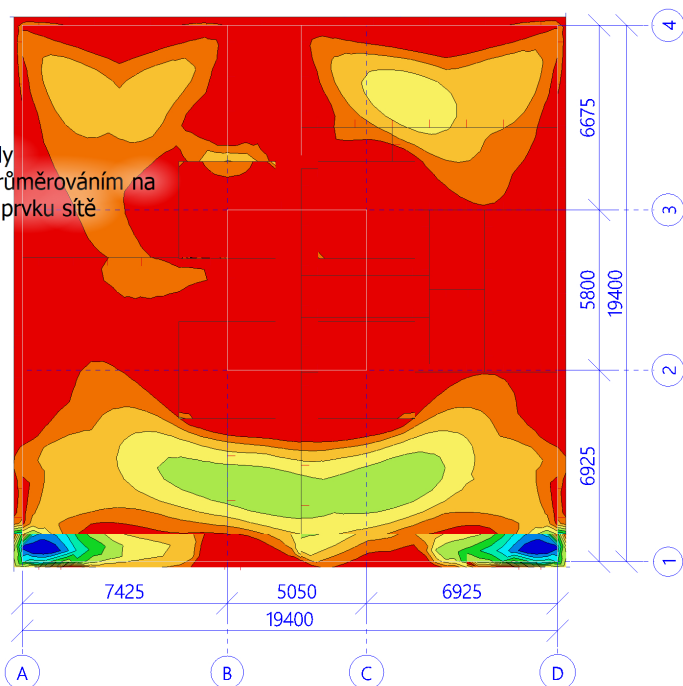
Hodnoty:  $m_{xD+}$   
 Lineární výpočet  
 Kombinace: MSÚ-B  
 Extrém: Globální  
 Výběr: Vše  
 Filtr: Vrstva = zaklady  
 Poloha: V uzlech s průměrováním na makro. Systém: LSS prvku sítě



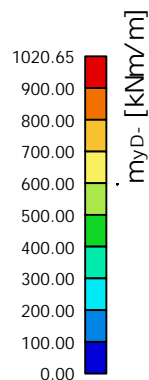
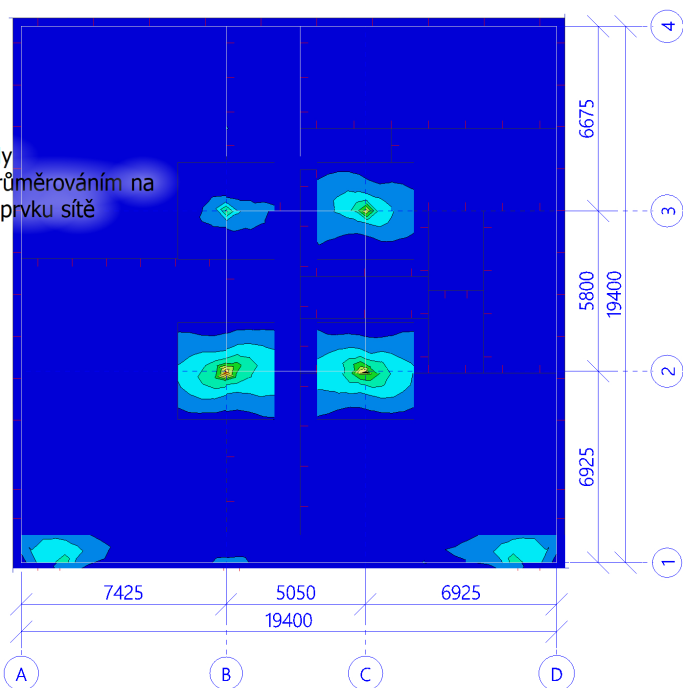
Hodnoty:  $m_{xD-}$   
 Lineární výpočet  
 Kombinace: MSÚ-B  
 Extrém: Globální  
 Výběr: Vše  
 Filtr: Vrstva = zaklady  
 Poloha: V uzlech s průměrováním na makro. Systém: LSS prvku sítě



Hodnoty:  $m_{yD+}$   
 Lineární výpočet  
 Kombinace: MSÚ-B  
 Extrém: Globální  
 Výběr: Vše  
 Filtr: Vrstva = zaklady  
 Poloha: V uzlech s průměrováním na makro. Systém: LSS prvku sítě



Hodnoty:  $m_{yD-}$   
 Lineární výpočet  
 Kombinace: MSÚ-B  
 Extrém: Globální  
 Výběr: Vše  
 Filtr: Vrstva = zaklady  
 Poloha: V uzlech s průměrováním na makro. Systém: LSS prvku sítě



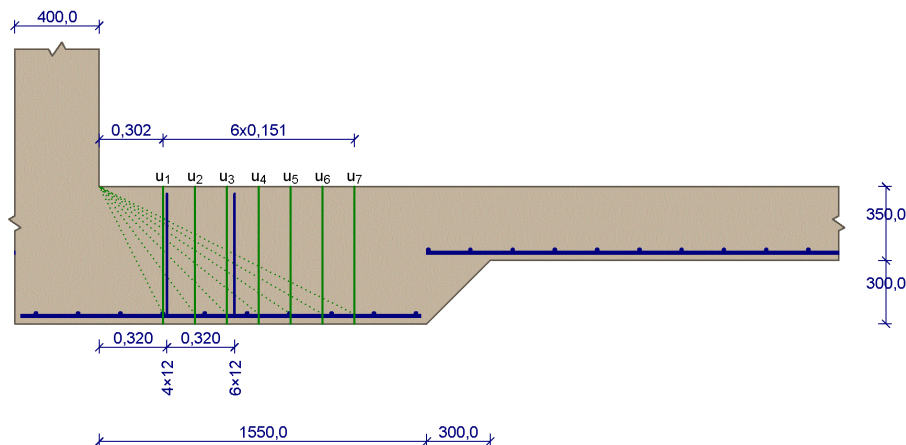
### 13.5. Protlačení ZD od žb sloupu

Komani Property s.r.o.  
 Ing. Martin Šponar

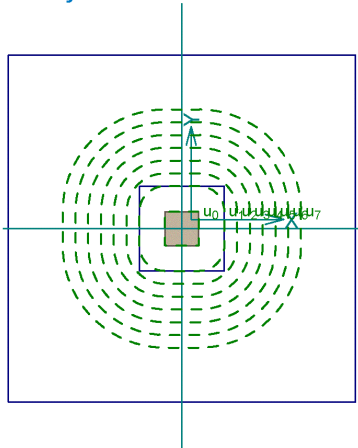
02\_CHOC.DSP  
 Protlačení základové desky

#### protlak\_zd\_1650kN

##### Nárys



##### Půdorys



##### Materiály

Beton : C 25/30  
 $f_{ck} = 25,0 \text{ MPa}$

Podélná výztuž : B500  
 $f_{yk} = 500,0 \text{ MPa}$

Třmínky : B500  
 $f_{yk} = 500,0 \text{ MPa}$

##### Zatížení

Posouvající síla  $V_{Ed} = 1700,00 \text{ kN}$   
 Ohybový moment okolo osy x  $M_{Ed,x} = 700,00 \text{ kNm}$   
 Ohybový moment okolo osy y  $M_{Ed,y} = 700,00 \text{ kNm}$   
 Normálová síla v desce  $N_{Ed,x} = 50,00 \text{ kN}$  působící na šířce 1,000m  
 Normálová síla v desce  $N_{Ed,y} = 50,00 \text{ kN}$  působící na šířce 1,000m  
 Napětí v základové spáře  $\sigma = 0,025 \text{ MPa}$

##### Vyztužení

Výztuž desky ve směru osy x:  $5 \times \phi 14,0 \text{ mm/m}$ , krytí 30,0 mm  
 2. řada:  $5 \times \phi 25,0 \text{ mm/m}$ , krytí 30,0 mm  
 Výztuž desky ve směru osy y:  $5 \times \phi 14,0 \text{ mm/m}$ , krytí 42,0 mm  
 2. řada:  $5 \times \phi 25,0 \text{ mm/m}$ , krytí 42,0 mm

#### Tabulka kontrolovaných obvodů

vzd. od sloupu [m]	d [mm]	obvod [m]	$v_{Ed}$ [MPa]	$v_{Rd}$ [MPa]	Využití [%]	Výsledek
$u_0$	0	604,3	1,6	2,017	3,6	Vyhovuje
$u_1$	0,302	604,3	3,498	0,912	1,763	Vyhovuje
$u_2$	0,453	604,3	4,447	0,711	1,175	Vyhovuje
$u_3$	0,604	604,3	5,397	0,579	0,881	Vyhovuje
$u_4$	0,755	604,3	6,346	0,486	0,705	Vyhovuje
$u_5$	0,906	604,3	7,295	0,416	0,588	Vyhovuje
$u_6$	1,057	604,3	8,244	0,361	0,504	Vyhovuje
$u_7$	1,208	604,3	9,193	0,317	0,441	Vyhovuje

72,0 % VYHOVUJE

## 13.6. Protlačení ZD od ocelového sloupu

Komani Property s.r.o.  
 Ing. Martin Šponar  
 30.01.2021

02\_CHOC.DSP  
 Protlak ZD pod ocelovým sloupem

### Projekt

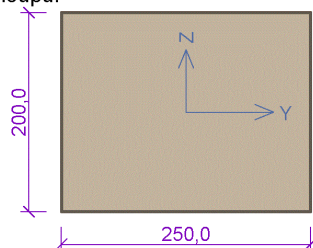
Akce : protlak\_zd\_350kN  
 Datum : 29.01.2021

### Norma

Norma EN 1992-1-1/Česko.

### Geometrie

Detail - obvodový sloup  
 Průřez sloupu:



#### Rozměry průřezu

výška průřezu	$h = 200,0 \text{ mm}$
šířka průřezu	$b = 250,0 \text{ mm}$

Tloušťka desky  $h_s = 300,0 \text{ mm}$   
 Okraj desky  $1 = 0,200 \text{ m}$

### Materiály

**Beton : C 25/30**  
 $f_{ck} = 25,0 \text{ MPa}$

**Podélná výztuž : B500**  
 $f_{yk} = 500,0 \text{ MPa}$

**Třmínky : B500**  
 $f_{yk} = 500,0 \text{ MPa}$

### Zatížení

Posouvající síla  $V_{Ed} = 350,00 \text{ kN}$   
 Ohybový moment okolo osy x  $M_{Ed,x} = 100,00 \text{ kNm}$   
 Ohybový moment okolo osy y  $M_{Ed,y} = 100,00 \text{ kNm}$   
 Normálová síla v desce  $N_{Ed,x} = 50,00 \text{ kN}$  působící na šířce  $1,000 \text{ m}$   
 Normálová síla v desce  $N_{Ed,y} = 50,00 \text{ kN}$  působící na šířce  $1,000 \text{ m}$   
 Napětí v základové spáře  $\sigma = 0,025 \text{ MPa}$

### Vyztužení

Výztuž desky ve směru osy x:  $5 \times \varnothing 14,0 \text{ mm/m}$ , krytí  $30,0 \text{ mm}$   
 Výztuž desky ve směru osy y:  $5 \times \varnothing 14,0 \text{ mm/m}$ , krytí  $42,0 \text{ mm}$

### Smyková výztuž

Soustředné třmínky

řada	počet	průměr [mm]	vzd. od sloupu [m]
1	3	10	0,22
2	4	10	0,38
3	5	10	0,54

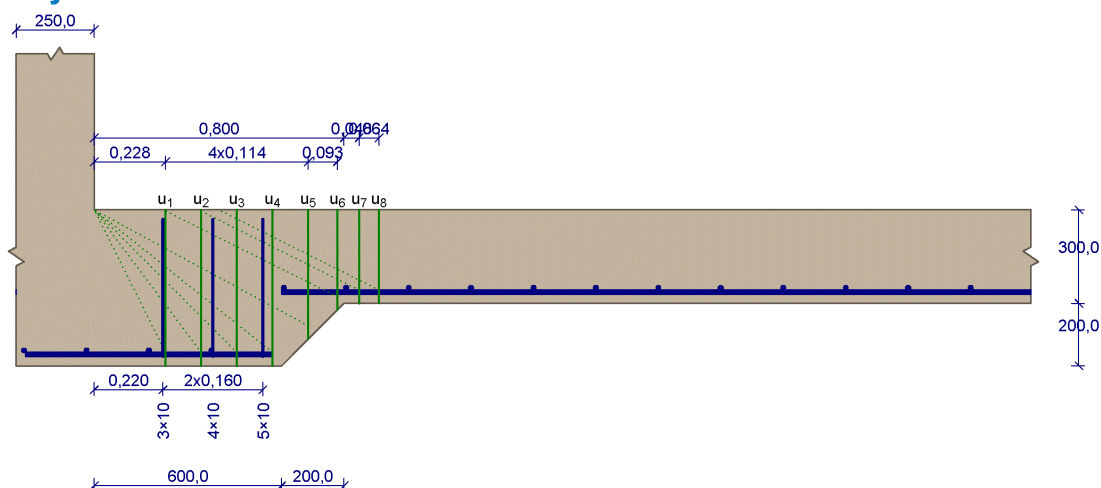
Komani Property s.r.o.  
 Ing. Martin Šponar  
 30.01.2021

02\_CHOC.DSP  
 Protlak ZD pod ocelovým sloupem

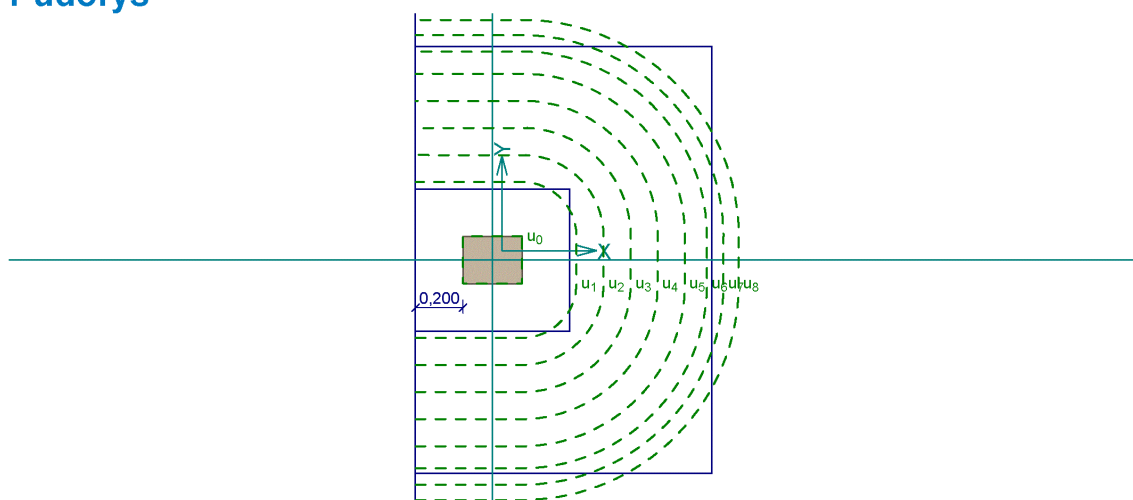
## Tabulka kontrolovaných obvodů

vzd. od sloupu [m]	d [mm]	obvod [m]	$v_{Ed}$ [MPa]	$v_{Rd}$ [MPa]	Využití [%]	Výsledek
$u_0$	0	0,9	1,187	3,6	33,0	Vyhovuje
$u_1$	0,229	457	0,572	1,459	39,2	Vyhovuje
$u_2$	0,343	457	0,47	0,973	48,3	Vyhovuje
$u_3$	0,457	457	0,395	0,73	54,1	Vyhovuje
$u_4$	0,571	457	0,338	0,632	53,4	Vyhovuje
$u_5$	0,686	371,5	0,36	0,515	69,8	Vyhovuje
$u_6$	0,778	278,6	0,429	0,489	87,6	Vyhovuje
$u_7$	0,848	257	0,429	0,499	86,0	Vyhovuje
$u_8$	0,912	257	0,398	0,435	91,5	Vyhovuje

## Nárys



## Půdorys



## 13.7. Vyztužení železobetonových 2D prvků

### 13.7.1. Návrh výztuže (MSÚ+MSP)

Lineární výpočet

Kombinace: MSÚ-B

Extrém: Globální

Výběr: Vše

Filtr: Vrstva = zaklady

Poloha: V uzlech s průměrováním na makro. Systém: LSS prvku sítě

Na vybraných dílcích se vyskytuje 2 varování. 2 z nich je zobrazeno.

Předpokládaná - horní

Jméno	Sít'	Pozice [m]	Stav	ReinfProv,1+	As,req,1+ [mm <sup>2</sup> /m] As,prov,1+ [mm <sup>2</sup> /m]	As,add,req,1+ [mm <sup>2</sup> /m] ρ <sub>prov,1+</sub> [%]	ReinfProv,2+	As,req,2+ [mm <sup>2</sup> /m] As,prov,2+ [mm <sup>2</sup> /m]	As,add,req,2+ [mm <sup>2</sup> /m] ρ <sub>prov,2+</sub> [%]	Chyby, upozornění, poznámky
S97	Prvek: 8620 Uzel: 8542	18,591 1,000 -3,600	MSÚ-B	φ14,0/200 + φ25,0/200	2482 3224	0 1,07	φ14,0/200 + φ14,0/200	1521 1539	0 0,51	W/04
S97	Prvek: 8650 Uzel: 8573	3,713 1,000 -3,600	MSÚ-B	φ14,0/200	577 770	0 0,26	φ14,0/200 + φ28,0/200	3239 3848	0 1,28	W/04

Předpokládaná - spodní

Jméno	Sít'	Pozice [m]	Stav	ReinfProv,1-	As,req,1- [mm <sup>2</sup> /m] As,prov,1- [mm <sup>2</sup> /m]	As,add,req,1- [mm <sup>2</sup> /m] ρ <sub>prov,1-</sub> [%]	ReinfProv,2-	As,req,2- [mm <sup>2</sup> /m] As,prov,2- [mm <sup>2</sup> /m]	As,add,req,2- [mm <sup>2</sup> /m] ρ <sub>prov,2-</sub> [%]	Chyby, upozornění, poznámky
S97	Prvek: 10467 Uzel: 232	12,475 6,925 -3,600	MSÚ-B	φ14,0/200 + φ25,0/100	4094 5678	0 0,81	φ14,0/200 + φ25,0/100	4179 5678	0 0,81	W/04, W/07
S97	Prvek: 10568 Uzel: 233	7,425 6,925 -3,600	MSÚ-B	φ14,0/200 + φ20,0/100	3696 3911	0 0,56	φ14,0/200 + φ25,0/100	4483 5678	0 0,81	W/04

CH/V/P	Přítomno na dílcích
W/04	S97
W/07	S97

Hodnoty: **ReinfProv,1+**

Lineární výpočet

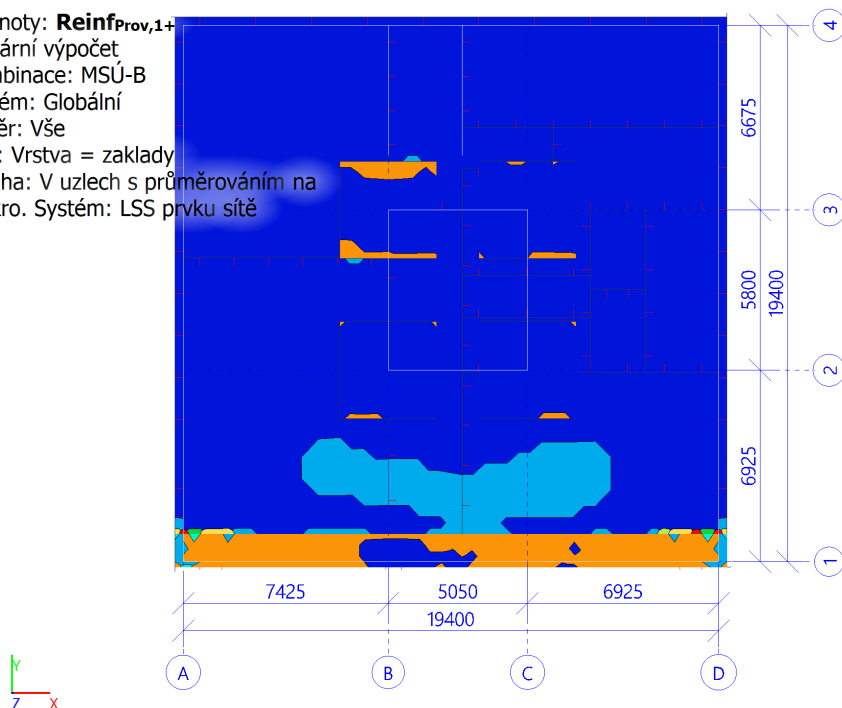
Kombinace: MSÚ-B

Extrém: Globální

Výběr: Vše

Filtr: Vrstva = zaklady

Poloha: V uzlech s průměrováním na makro. Systém: LSS prvku sítě



φ14,0/200 + φ25,0/200	φ14,0/200 + φ18,0/200	φ14,0/200 + φ14,0/200	φ14,0/200 + φ10,0/200
φ14,0/200 + φ20,0/200	φ14,0/200 + φ16,0/200	φ14,0/200 + φ12,0/200	φ14,0/200



Hodnoty: **Reinf<sub>Prov,2+</sub>**

Lineární výpočet

Kombinace: MSÚ-B

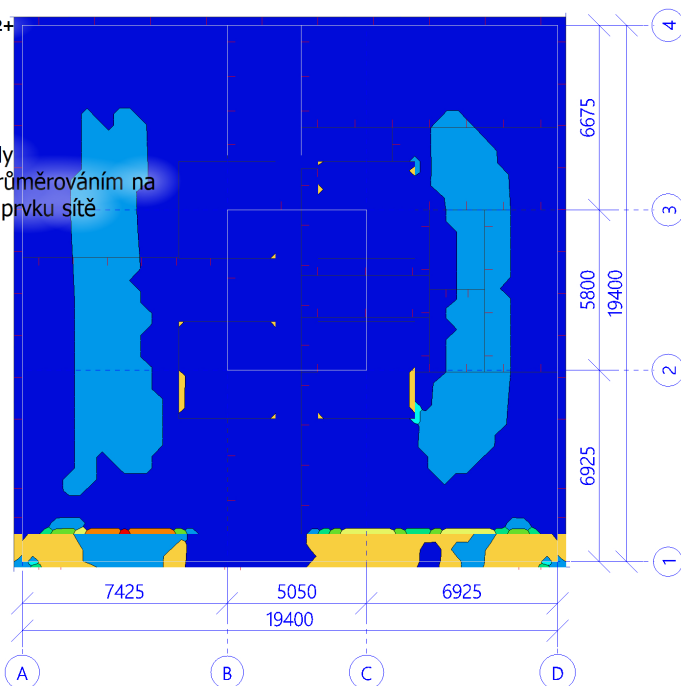
Extrém: Globální

Výběr: Vše

Filtr: Vrstva = zaklady

Poloha: V uzlech s průměrováním na

makro. Systém: LSS prvku sítě



Reinf<sub>Prov,2+</sub>

$\phi 14,0/200 + \phi 28,0/200$	
$\phi 14,0/200 + \phi 25,0/200$	
$\phi 14,0/200 + \phi 20,0/200$	

$\phi 14,0/200 + \phi 18,0/200$	
$\phi 14,0/200 + \phi 16,0/200$	
$\phi 14,0/200 + \phi 14,0/200$	

$\phi 14,0/200 + \phi 12,0/200$	
$\phi 14,0/200 + \phi 10,0/200$	
$\phi 14,0/200$	

Hodnoty: **Reinf<sub>Prov,1-</sub>**

Lineární výpočet

Kombinace: MSÚ-B

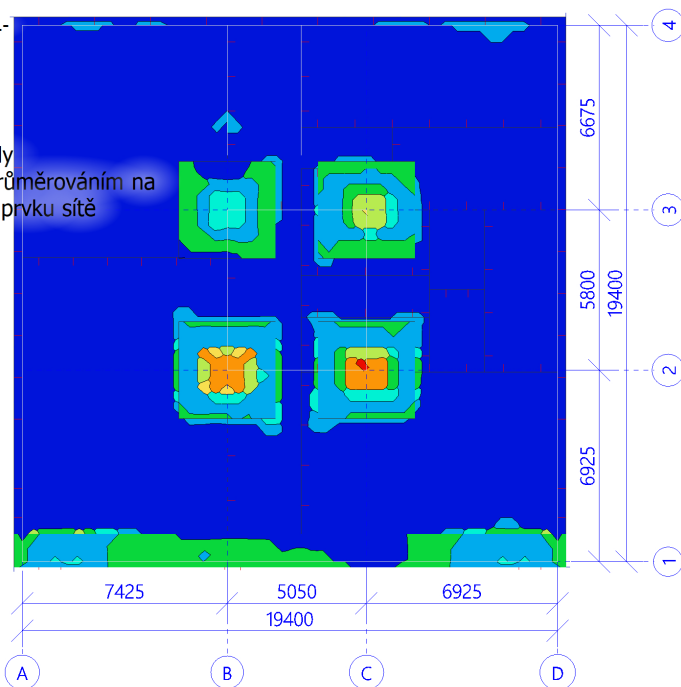
Extrém: Globální

Výběr: Vše

Filtr: Vrstva = zaklady

Poloha: V uzlech s průměrováním na

makro. Systém: LSS prvku sítě



Reinf<sub>Prov,1-</sub>

$\phi 14,0/200 + \phi 25,0/100$	
$\phi 14,0/200 + \phi 20,0/100$	

$\phi 14,0/200 + \phi 18,0/100$	
$\phi 14,0/200 + \phi 16,0/100$	

$\phi 14,0/200 + \phi 14,0/100$	
$\phi 14,0/200 + \phi 12,0/100$	

$\phi 14,0/200 + \phi 10,0/100$	
$\phi 14,0/200$	

Hodnoty: **Reinf<sub>Prov,2-</sub>**

Lineární výpočet

Kombinace: MSÚ-B

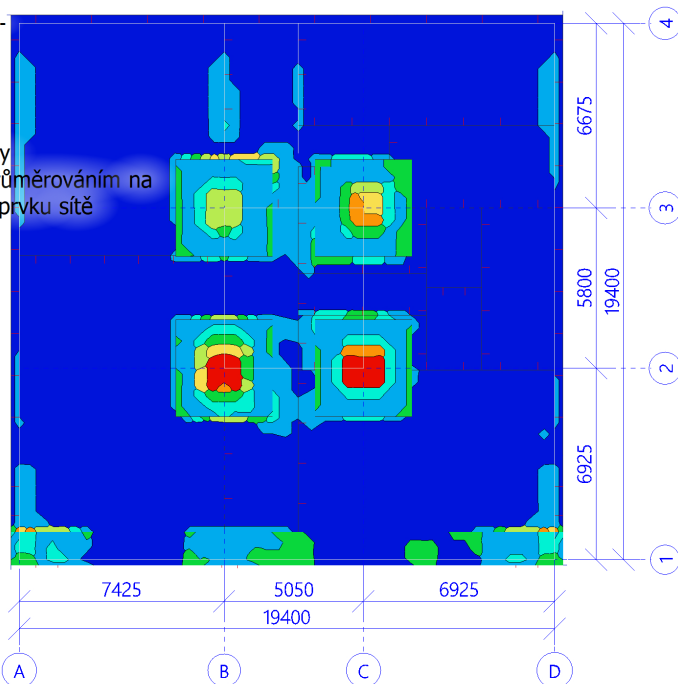
Extrém: Globální

Výběr: Vše

Filtr: Vrstva = zaklady

Poloha: V uzlech s průměrováním na makro.

Systém: LSS prvku sítě



Reinf<sub>Prov,2-</sub>

$\phi 14,0/200 + \phi 25,0/100$	$\phi 14,0/200 + \phi 18,0/100$	$\phi 14,0/200 + \phi 14,0/100$	$\phi 14,0/200 + \phi 10,0/100$
$\phi 14,0/200 + \phi 20,0/100$	$\phi 14,0/200 + \phi 16,0/100$	$\phi 14,0/200 + \phi 12,0/100$	$\phi 14,0/200$

### 13.8. Trhliny železobetonových 2D prvků

Lineární výpočet

Kombinace: MSP-Kvazi

Extrém: Globální

Výběr: Vše

Filtr: Vrstva = zaklady

Poloha: V uzlech s průměrováním na makro. Systém: LSS prvku sítě

Horní povrch

Jméno	Sit'	Pozice [m]	Stav	$m_{1+}$ [kNm/m]	$n_{1+}$ [kN/m]	$A_{s,1+}$ [mm <sup>2</sup> ]	$\sigma_{s,1+}$ [MPa]	$S_{r,max,1+}$ [mm]	$\epsilon_{(sm-cm),1+}$ [1e-4]	$W_{1+}$ [mm]	$W_{max+}$ [mm]	$UC_{1+}$ [-]
				$m_{2+}$ [kNm/m]	$n_{2+}$ [kN/m]	$A_{s,2+}$ [mm <sup>2</sup> ]	$\sigma_{s,2+}$ [MPa]	$S_{r,max,2+}$ [mm]	$\epsilon_{(sm-cm),2+}$ [1e-4]	$W_{2+}$ [mm]		$UC_{2+}$ [-]
S97	Prvek: 9758 Uzel: 9802	3,126 15,800 -3,600	MSP-Kvazi/1	-56,59 -30,98	-34,93 -31,18	774 0	282,7 0,0	575,307 0,000	8,5 0,0	0,488 0,000	0,300	1,63 0,00

Spodní povrch

Jméno	Sit'	Pozice [m]	Stav	$m_{1-}$ [kNm/m]	$n_{1-}$ [kN/m]	$A_{s,1-}$ [mm <sup>2</sup> ]	$\sigma_{s,1-}$ [MPa]	$S_{r,max,1-}$ [mm]	$\epsilon_{(sm-cm),1-}$ [1e-4]	$W_{1-}$ [mm]	$W_{max-}$ [mm]	$UC_{1-}$ [-]
				$m_{2-}$ [kNm/m]	$n_{2-}$ [kN/m]	$A_{s,2-}$ [mm <sup>2</sup> ]	$\sigma_{s,2-}$ [MPa]	$S_{r,max,2-}$ [mm]	$\epsilon_{(sm-cm),2-}$ [1e-4]	$W_{2-}$ [mm]		$UC_{2-}$ [-]
S97	Prvek: 8725 Uzel: 1172	0,000 6,162 -3,600	MSP-Kvazi/2	55,95 11,08	-13,50 -46,59	774 0	300,3 0,0	575,307 0,000	9,0 0,0	0,518 0,000	0,300	1,73 0,00
S97	Prvek: 9554 Uzel: 169	7,425 15,700 -3,600	MSP-Kvazi/2	103,28 66,68	-58,25 -149,20	1542 791	274,3 235,4	260,143 260,143	8,2 7,1	0,214 0,184	0,300	0,71 0,61

Jméno	Klíč kombinace
MSP-Kvazi/1	ZS1 + ZS2 + ZS3 + ZS10
MSP-Kvazi/2	ZS1 + ZS2 + ZS3 + 0.60*ZS7 + ZS10

Hodnoty: **UC**

Lineární výpočet

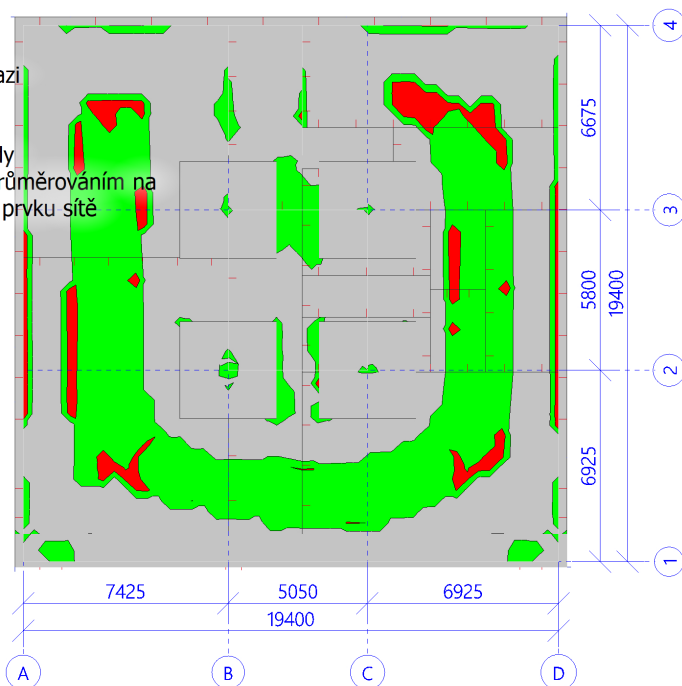
Kombinace: MSP-Kvazi

Extrém: Globální

Výběr: Vše

Filtr: Vrstva = zaklady

Poloha: V uzlech s průměrováním na makro. Systém: LSS prvku sítě



Hodnoty: **w+**

Lineární výpočet

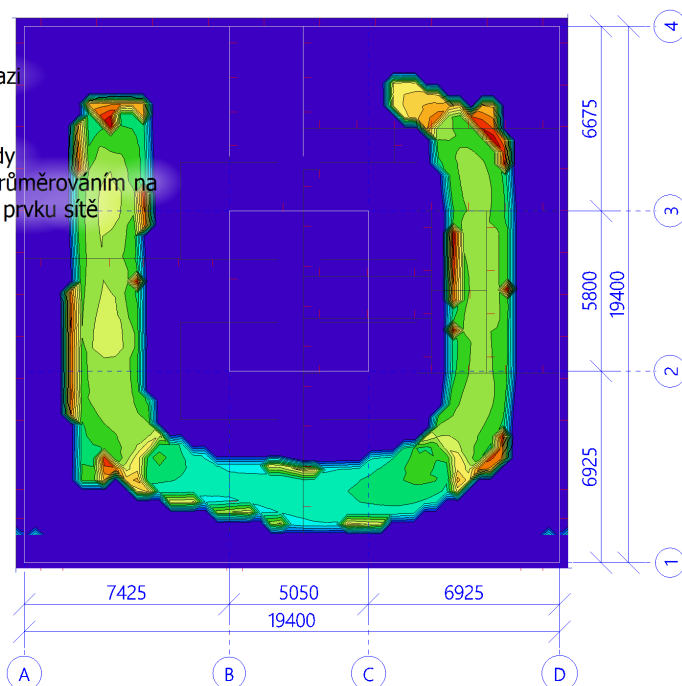
Kombinace: MSP-Kvazi

Extrém: Globální

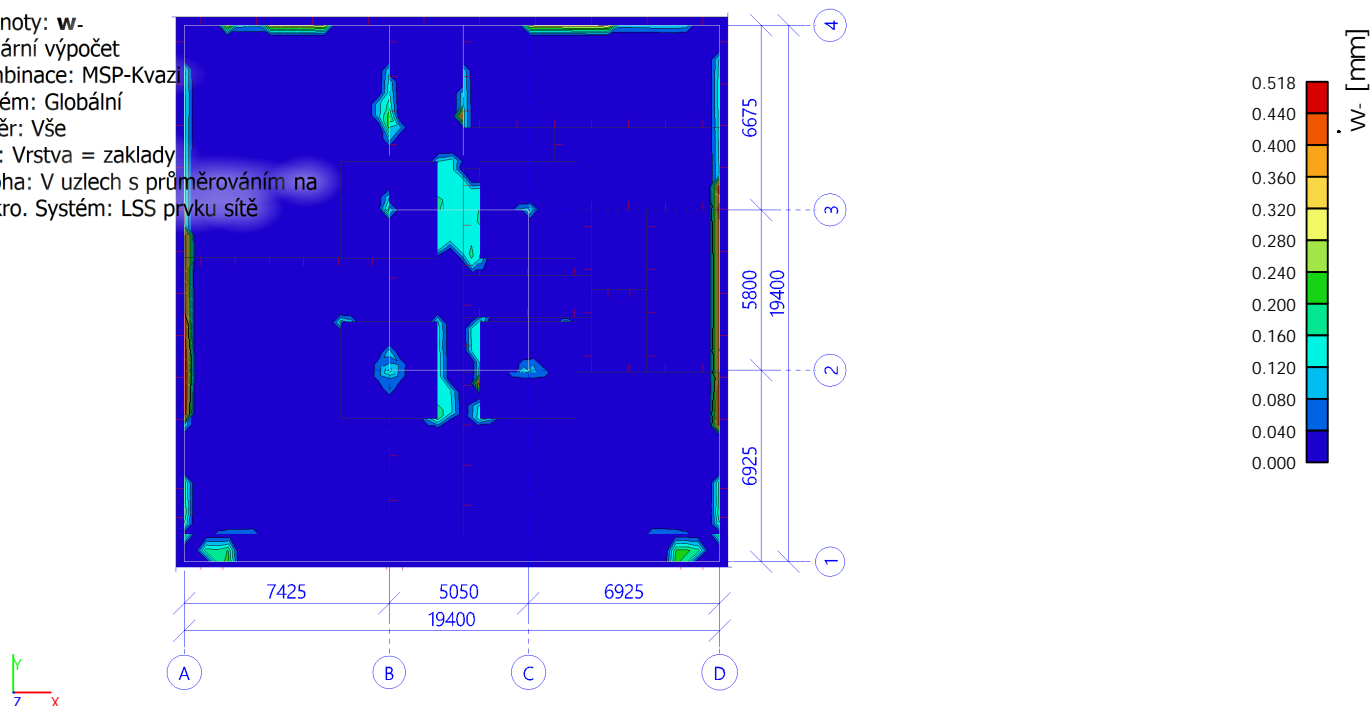
Výběr: Vše

Filtr: Vrstva = zaklady

Poloha: V uzlech s průměrováním na makro. Systém: LSS prvku sítě



Hodnoty: w-  
 Lineární výpočet  
 Kombinace: MSP-Kvazi  
 Extrém: Globální  
 Výběr: Vše  
 Filtr: Vrstva = zaklady  
 Poloha: V uzlech s průměrováním na makro. Systém: LSS prvku sítě



### 13.9. Deformace železobetonových 2D prvků

Lineární výpočet

Kombinace: MSP-KvaziExtrém: Globální

Výběr: Vše

Filtr: Vrstva = zaklady

Poloha: V těžištích. Systém: LSS prvku sítě

Složky vnitřních sil rovnoběžné se žebrem se zohlední jako nulové uvnitř efektivní šířky žebra.

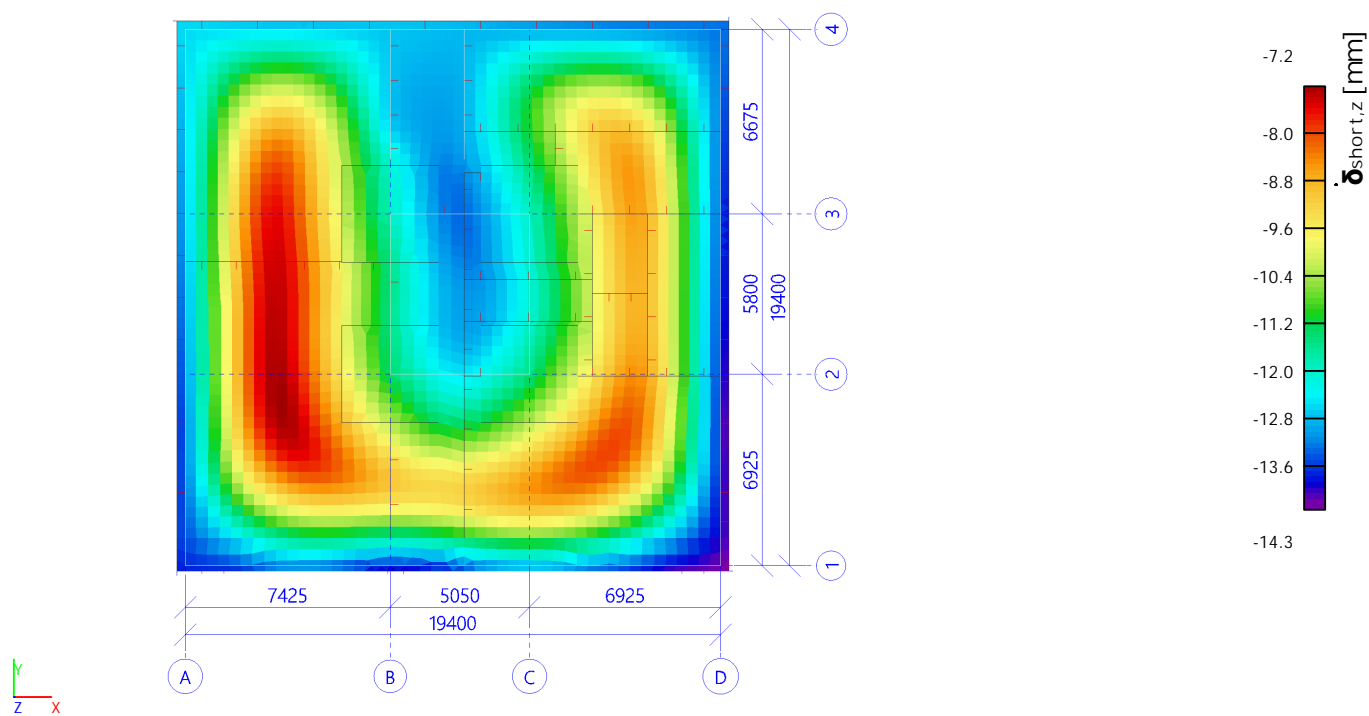
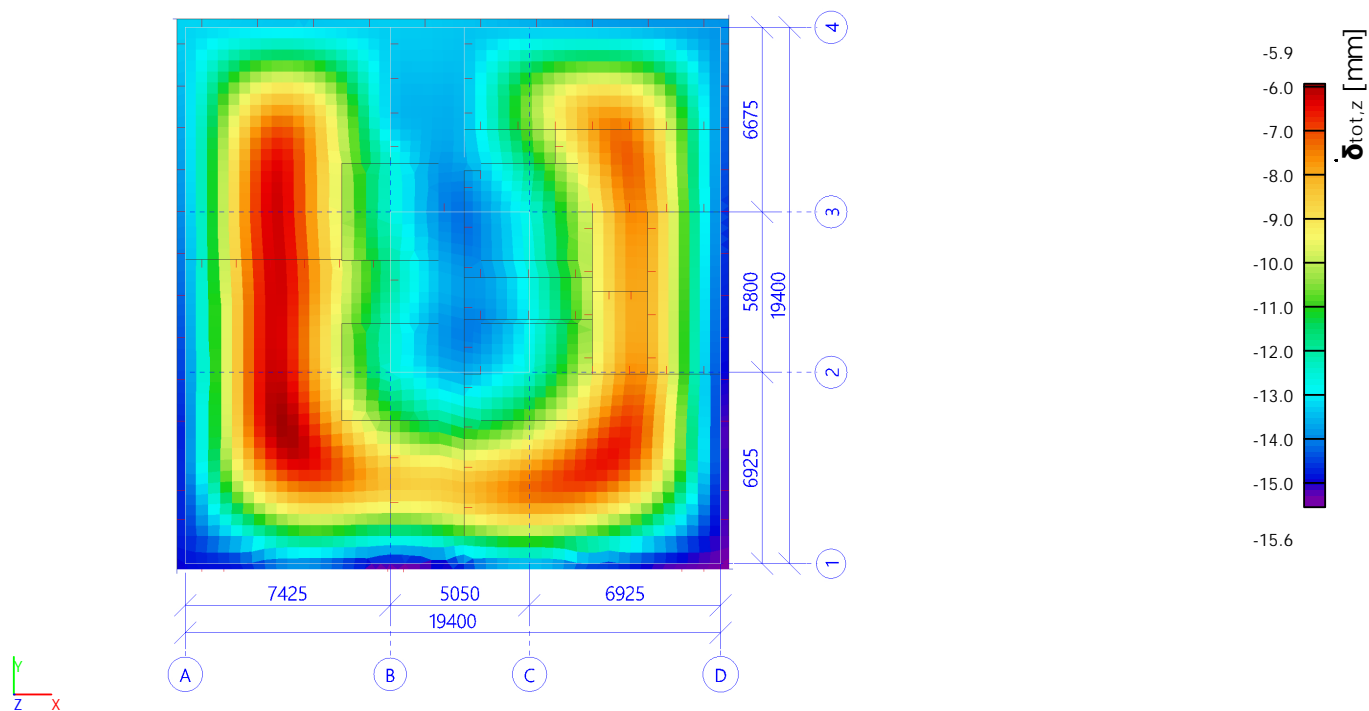
Systém: LSS prvku sítě

Výběr NZP: S97

Pro 2D dílec

Jméno	Sit'	Stav Typ výztuže	$\phi(t, t_0)$ [-]	$\delta_{lin,z}$ [mm]	$\delta_{lim,z}$ [mm]	$\delta_{short,z}$ [mm]	$\delta_{creep,z}$ [mm]	$\delta_{add,z}$ [mm]	$\delta_{add,lim,z}$ [mm]	$\delta_{tot,z}$ [mm]	$\delta_{tot,lim,z}$ [mm]	UC [-]
S97	Prvek: 10806	MSP-Kvazi/1 Předp. & Uživatelský/Předp. & Uživatelský	1,95	-13,6	-12,2	-14,3	-1,2	-3,4	15,0	-15,6	25,0	Posudek 0,62 OK

Jméno	Klíč kombinace
MSP-Kvazi/1	ZS1 + ZS2 + ZS3 + 0.60*ZS7 + ZS10

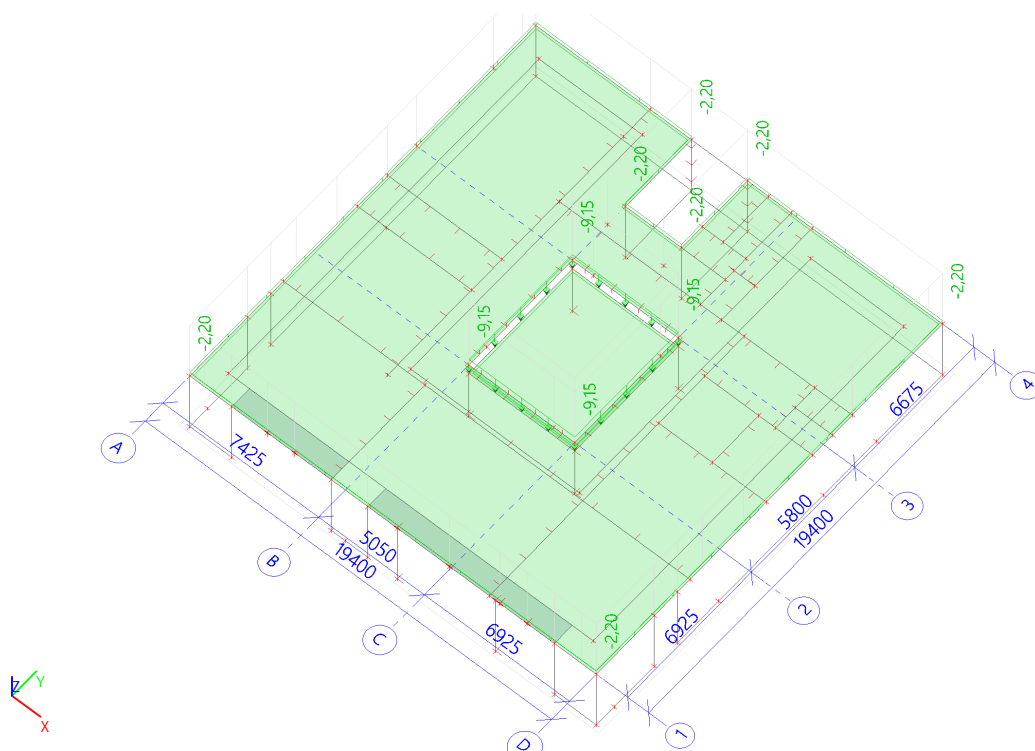


## 14. 1PP

### 14.1. Zatěžovací stavy

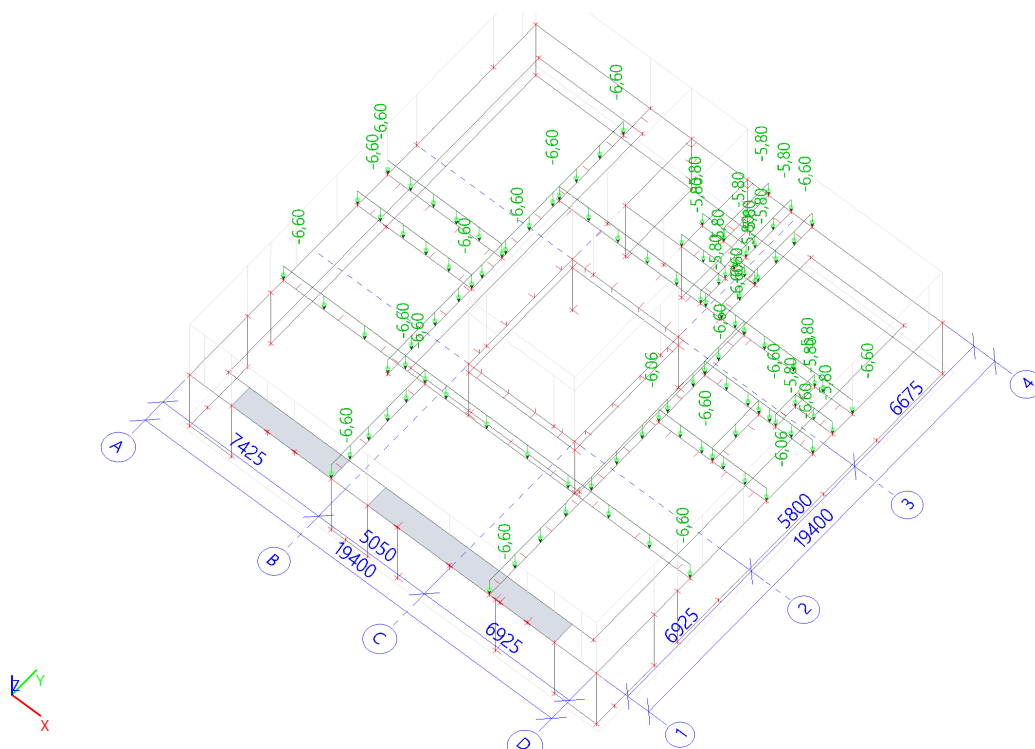
#### 14.1.1. Zatěžovací stavy - ZS2

Jméno	Popis	Typ působení	Skupina zatížení	Typ zatížení
ZS2	podlaha	Stálé	SZ1	Standard



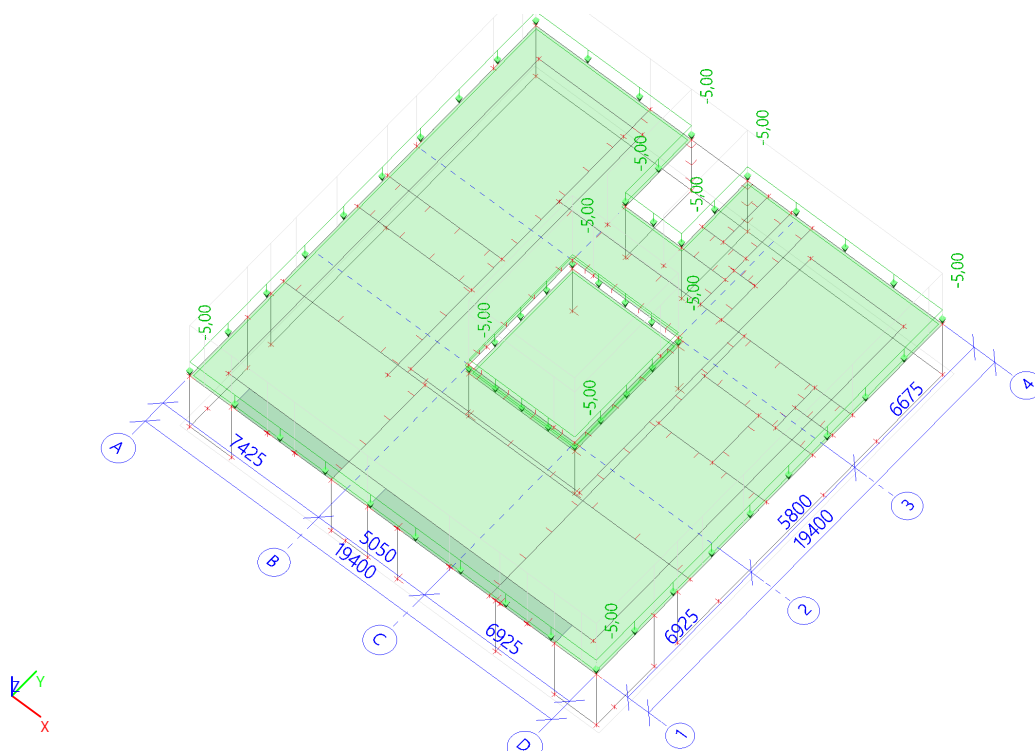
### 14.1.2. Zatěžovací stavy - ZS3

Jméno	Popis	Typ působení	Skupina zatížení	Typ zatížení
ZS3	pricky	Stálé	SZ1	Standard



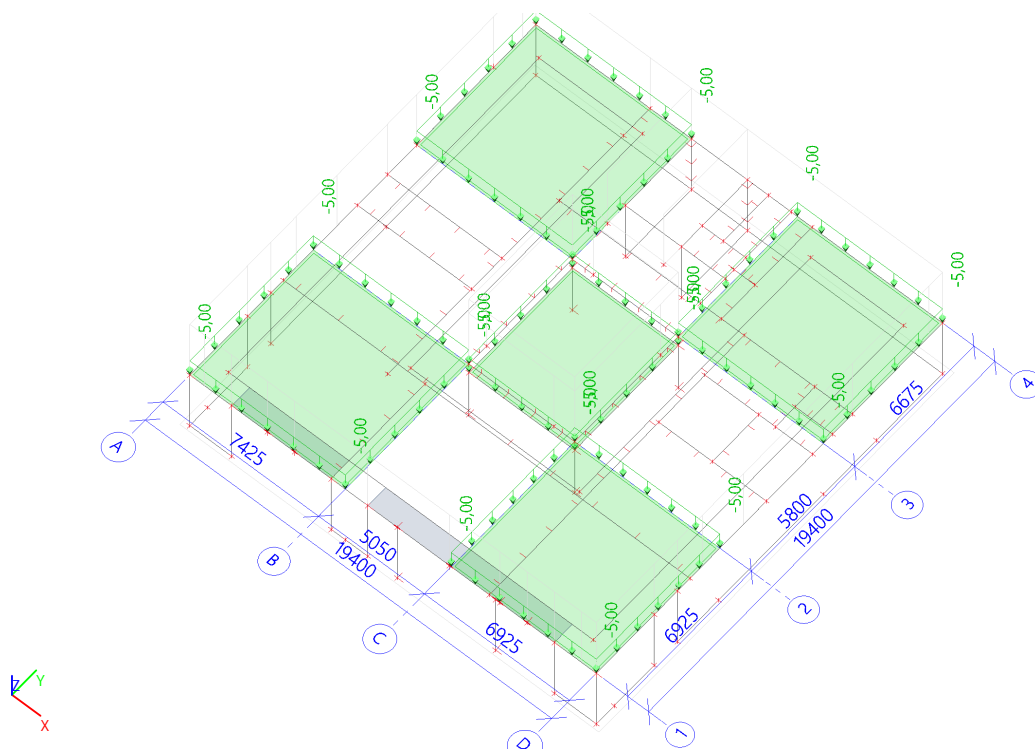
### 14.1.3. Zatěžovací stavy - ZS7

Jméno	Popis	Typ působení	Skupina zatížení	Typ zatížení	Spec	Působení	Řídící zat. stav
ZS7	provoz	Proměnné	SZ2	Statické	Standard	Krátkodobé	Žádný



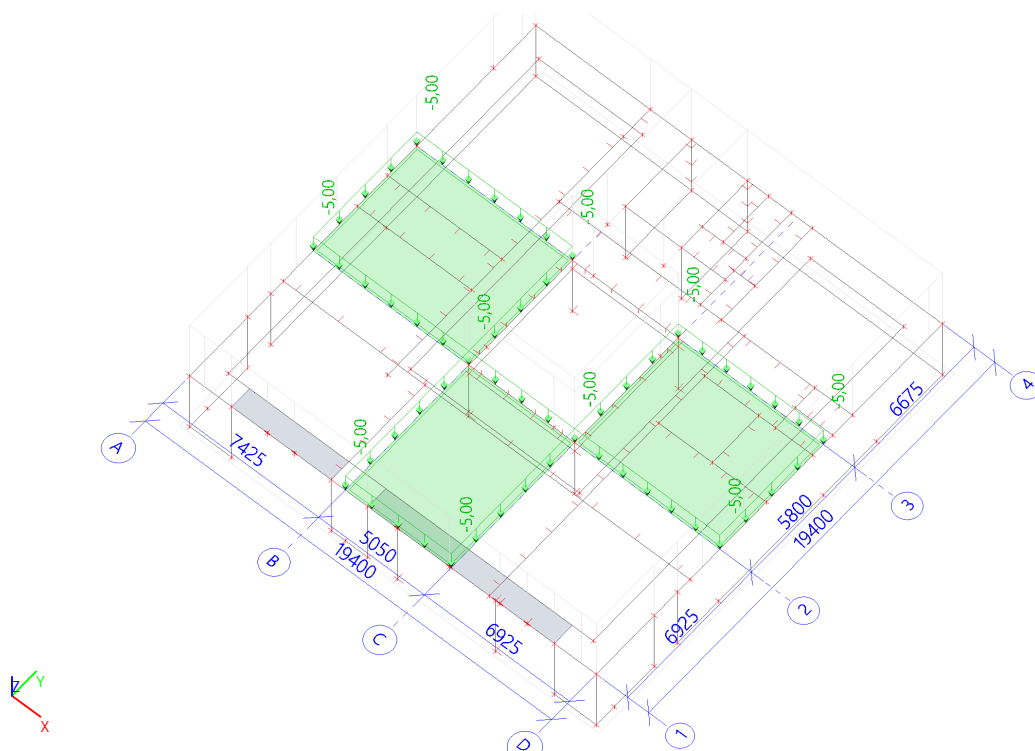
#### 14.1.4. Zatěžovací stavy - ZS8

Jméno	Popis	Typ působení	Skupina zatížení	Typ zatížení	Spec	Působení	Řídící zat. stav
ZS8	provoz sach	Proměnné	SZ2	Statické	Standard	Krátkodobé	Žádný



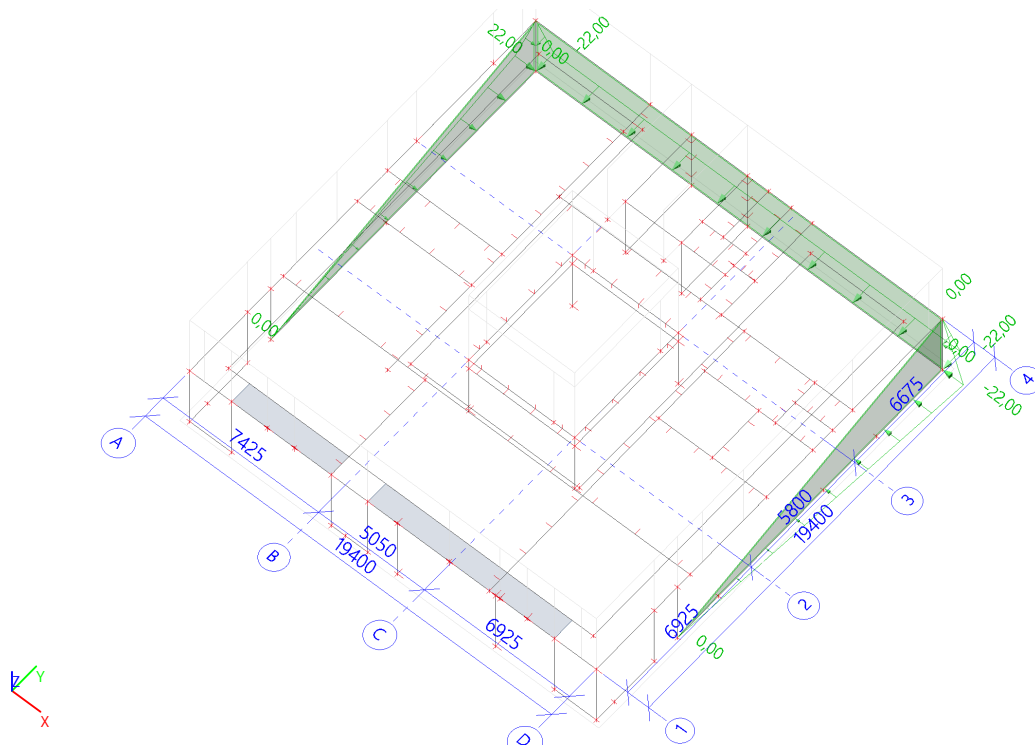
#### 14.1.5. Zatěžovací stavy - ZS9

Jméno	Popis	Typ působení	Skupina zatížení	Typ zatížení	Spec	Působení	Řídící zat. stav
ZS9	provoz sach	Proměnné	SZ2	Statické	Standard	Krátkodobé	Žádný



#### 14.1.6. Zatěžovací stavy - ZS10

Jméno	Popis	Typ působení	Skupina zatížení	Typ zatížení
ZS10	zemina	Stálé	SZ1	Standard



#### 14.2. Stěny 1.PP - Vnitřní síly železobetonových 2D prvků

##### 14.2.1. 2D vnitřní síly

Lineární výpočet  
 Kombinace: MSÚ-B  
 Extrém: Globální



Vyběr: Vše

Filtr: Vrstva = 1.PP steny

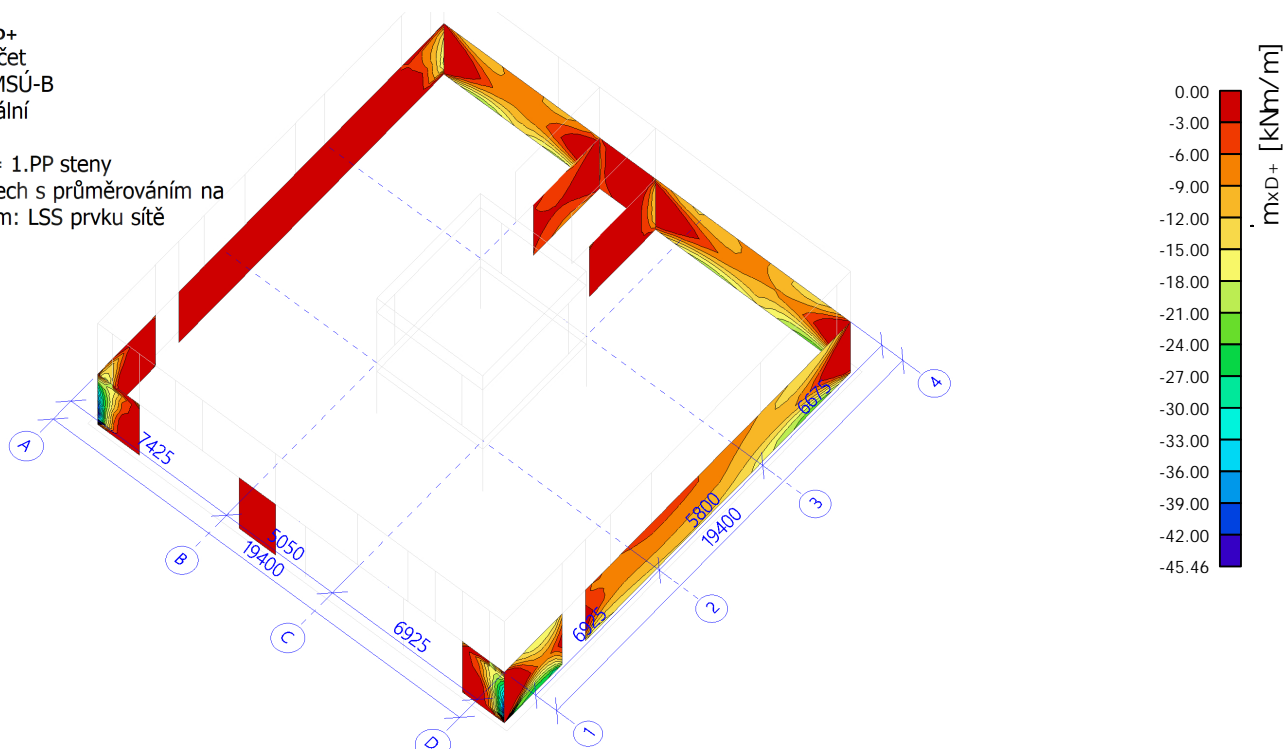
Poloha: V uzlech s průměrováním na makro. Systém: LSS prvku sítě

Základní návrhové veličiny

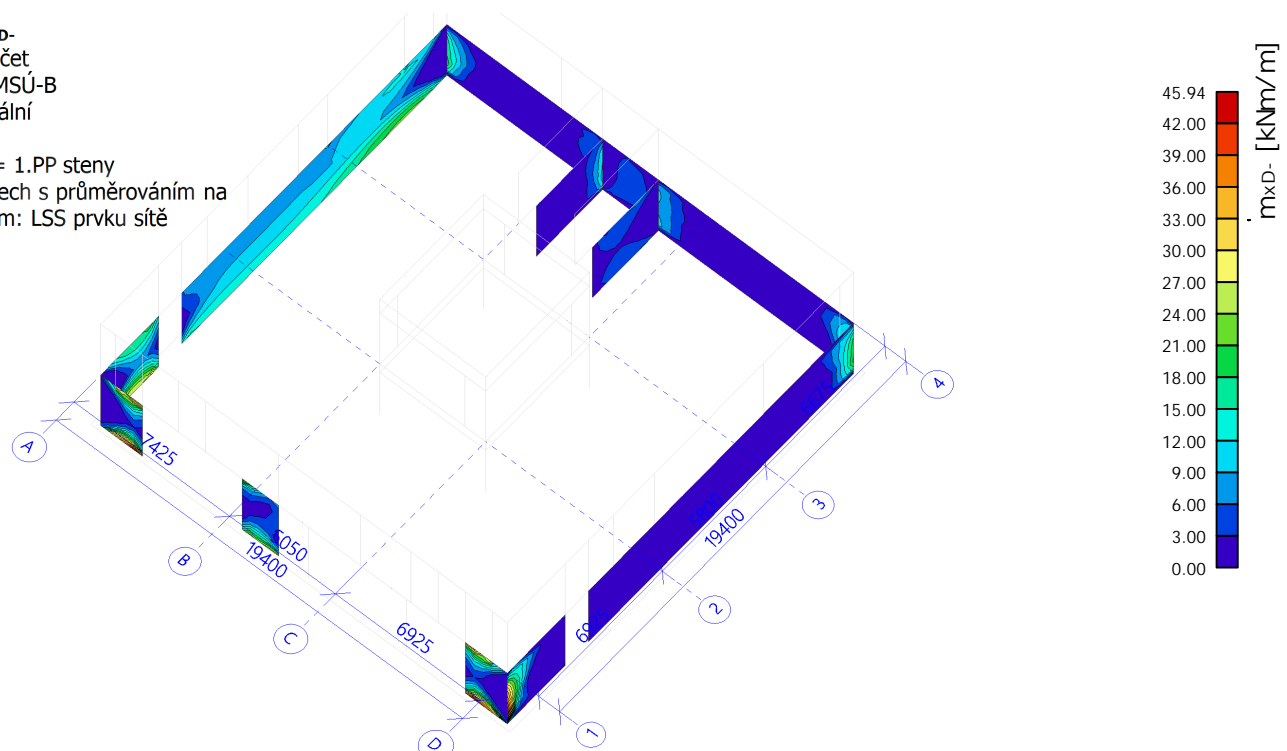
Jméno	Síť	Pozice [m]	Stav	$m_{xD+}$ [kNm/m] $m_{xD-}$ [kNm/m]	$m_{yD+}$ [kNm/m] $m_{yD-}$ [kNm/m]	$m_{cD+}$ [kNm/m] $m_{cD-}$ [kNm/m]	$n_{xD}$ [kN/m]	$n_{yD}$ [kN/m]	$n_{cD}$ [kN/m]
S55	Prvek: 1364 Uzel: 1899	0,000 0,000 -2,800	MSÚ-B/1	-45,46 0,00	-8,07 0,00	-6,53 -42,45	215,77	690,24	-221,47
S50	Prvek: 122 Uzel: 8052	17,800 0,000 -3,600	MSÚ-B/1	0,00 45,94	0,00 122,08	-103,26 -51,27	-256,44	0,00	-290,43
S51	Prvek: 198 Uzel: 16	19,400 3,250 -3,600	MSÚ-B/1	-21,35 4,77	-83,79 0,00	-39,82 -70,09	-146,50	0,00	-544,74
S50	Prvek: 122 Uzel: 14	17,400 0,000 -3,600	MSÚ-B/1	-4,56 33,67	0,00 130,59	-109,68 -59,15	-569,15	0,00	-1926,95
S49	Prvek: 80 Uzel: 4534	7,963 0,000 -3,600	MSÚ-B/2	0,00 25,29	0,00 123,59	-120,83 -5,65	0,00	247,71	-398,18
S52	Prvek: 477 Uzel: 578	19,400 11,989 -2,800	MSÚ-B/3	-7,63 0,00	-37,09 0,00	0,00 -37,09	-37,18	0,00	-105,46
S53	Prvek: 727 Uzel: 848	15,357 19,400 -3,600	MSÚ-B/1	-15,55 0,00	-72,23 0,00	-2,30 -71,10	-66,97	0,00	-160,79
S54	Prvek: 1000 Uzel: 1363	0,000 13,380 -2,000	MSÚ-B/3	0,00 7,17	0,00 29,35	-29,35 0,00	-24,03	0,00	-94,79
S49	Prvek: 78 Uzel: 9	6,750 0,000 -3,600	MSÚ-B/1	0,00 16,16	0,00 108,86	-98,92 -22,46	-680,69	0,00	-2371,99
S51	Prvek: 191 Uzel: 13	19,400 0,000 -3,600	MSÚ-B/1	0,00 16,38	-29,57 0,00	-17,09 -28,87	470,05	1043,83	-344,59
S49	Prvek: 75 Uzel: 1930	7,447 0,000 -3,200	MSÚ-B/1	0,00 16,01	0,00 109,15	-107,34 -3,69	0,00	-200,27	-312,63
S48	Prvek: 41 Uzel: 5	0,000 0,000 -3,600	MSÚ-B/1	-1,07 5,95	0,00 51,26	-45,93 -12,35	455,50	1117,05	-68,07
S82	Prvek: 7885 Uzel: 169	7,425 15,700 -3,600	MSÚ-B/1	-3,02 0,60	-13,74 0,00	-5,73 -11,63	-679,38	0,00	-2636,62
S53	Prvek: 936 Uzel: 882	7,425 19,400 -0,800	MSÚ-B/4	0,00 6,52	0,00 0,90	-5,90 -1,42	19,52	10,95	-0,01

Jméno	Klíč kombinace
MSÚ-B/1	1.35*ZS1 + 1.35*ZS2 + 1.35*ZS3 + 0.75*ZS4 + 1.05*ZS7 + 1.35*ZS10
MSÚ-B/2	1.35*ZS1 + 1.35*ZS2 + 1.35*ZS3 + 0.75*ZS4 + 1.05*ZS8 + 1.35*ZS10
MSÚ-B/3	ZS1 + ZS2 + ZS3 + 1.50*ZS8 + ZS10
MSÚ-B/4	ZS1 + ZS2 + ZS3 + 0.75*ZS4 + 1.50*ZS7 + ZS10

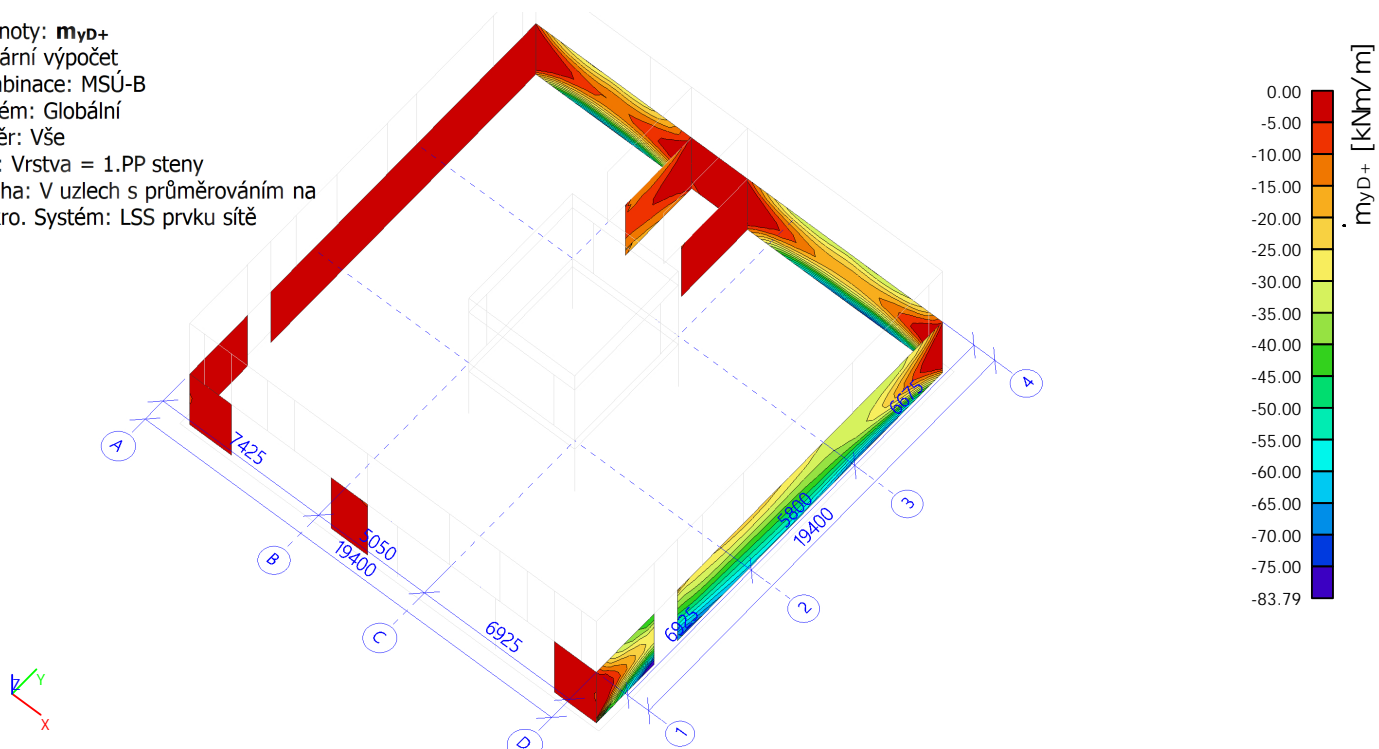
Hodnoty:  $m_{xD+}$   
 Lineární výpočet  
 Kombinace: MSÚ-B  
 Extrém: Globální  
 Výběr: Vše  
 Filtr: Vrstva = 1.PP steny  
 Poloha: V uzlech s průměrováním na makro. Systém: LSS prvku sítě



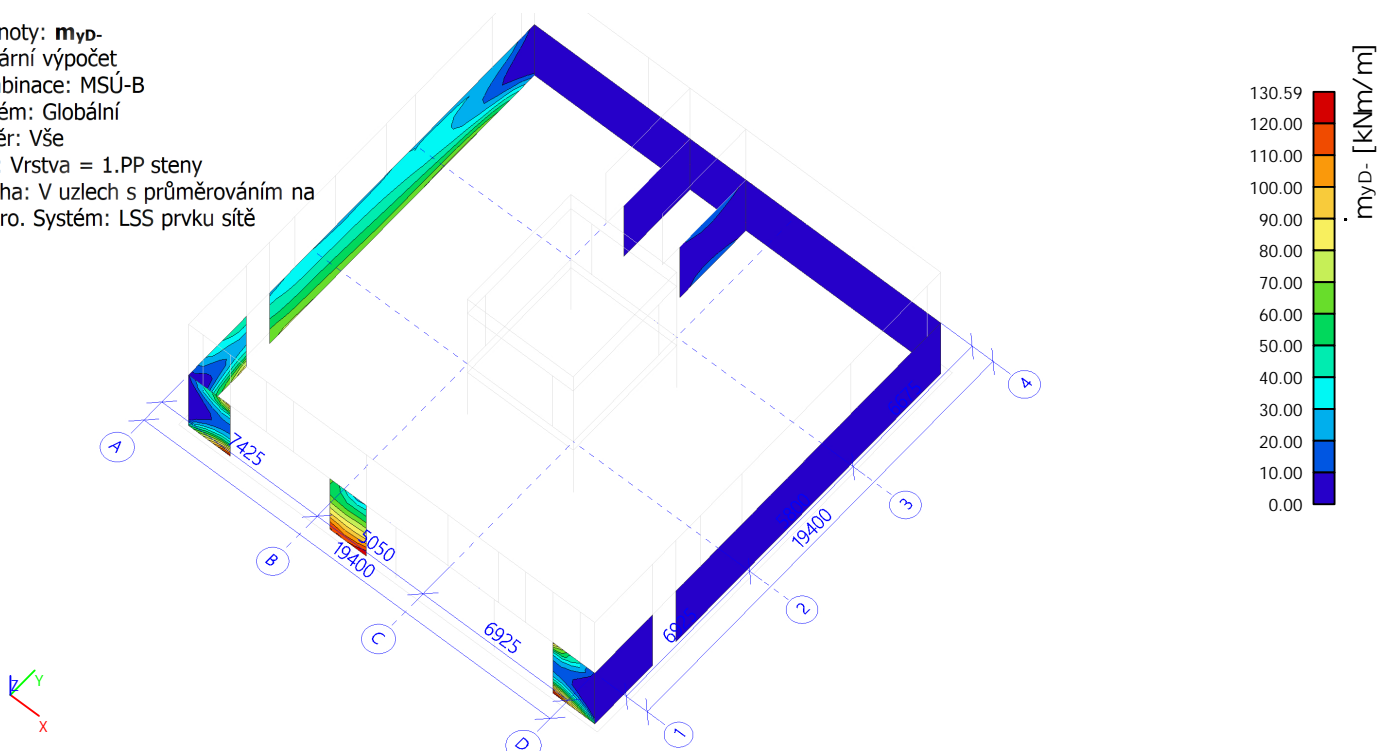
Hodnoty:  $m_{xD-}$   
 Lineární výpočet  
 Kombinace: MSÚ-B  
 Extrém: Globální  
 Výběr: Vše  
 Filtr: Vrstva = 1.PP steny  
 Poloha: V uzlech s průměrováním na makro. Systém: LSS prvku sítě



Hodnoty:  $m_{yD+}$   
 Lineární výpočet  
 Kombinace: MSÚ-B  
 Extrém: Globální  
 Výběr: Vše  
 Filtr: Vrstva = 1.PP steny  
 Poloha: V uzlech s průměrováním na makro. Systém: LSS prvku sítě



Hodnoty:  $m_{yD-}$   
 Lineární výpočet  
 Kombinace: MSÚ-B  
 Extrém: Globální  
 Výběr: Vše  
 Filtr: Vrstva = 1.PP steny  
 Poloha: V uzlech s průměrováním na makro. Systém: LSS prvku sítě



### 14.3. Stěny 1.PP - Vyztužení železobetonových 2D prvků

#### 14.3.1. Návrh výztuže (MSÚ+MSP)

Lineární výpočet  
 Kombinace: MSÚ-B  
 Extrém: Globální  
 Výběr: Vše  
 Filtr: Vrstva = 1.PP steny  
 Poloha: V uzlech s průměrováním na makro. Systém: LSS prvku sítě  
 Předpokládaná - horní

Jméno	Síť	Pozice [m]	Stav	ReinfProv,1+	As,req,1+ [mm²/m] As,prov,1+ [mm²/m]	As,add,req,1+ [mm²/m] ρprov,1+ [%]	ReinfProv,2+	As,req,2+ [mm²/m] As,prov,2+ [mm²/m]	As,add,req,2+ [mm²/m] ρprov,2+ [%]
S55	Prvek: 1380 Uzel: 5	0,000 0,000 -3,600	MSÚ-B	Φ10,0/150 + Φ10,0/150	858 1047	0 0,42	Φ10,0/150 + Φ10,0/150	617 1047	0 0,42
S51	Prvek: 191 Uzel: 13	19,400 0,000 -3,600	MSÚ-B	Φ10,0/150	447 524	0 0,21	Φ10,0/150 + Φ16,0/150	1789 1864	0 0,75

Předpokládaná - spodní

Jméno	Síť	Pozice [m]	Stav	ReinfProv,1-	As,req,1- [mm²/m] As,prov,1- [mm²/m]	As,add,req,1- [mm²/m] ρprov,1- [%]	ReinfProv,2-	As,req,2- [mm²/m] As,prov,2- [mm²/m]	As,add,req,2- [mm²/m] ρprov,2- [%]
S51	Prvek: 191 Uzel: 13	19,400 0,000 -3,600	MSÚ-B	Φ10,0/150 + Φ10,0/150	863 1047	0 0,42	Φ10,0/150 + Φ10,0/150	612 1047	0 0,42
S48	Prvek: 41 Uzel: 5	0,000 0,000 -3,600	MSÚ-B	Φ10,0/150	507 524	0 0,17	Φ10,0/150 + Φ18,0/150	1995 2220	0 0,74

Hodnoty: **ReinfProv,1+**

Lineární výpočet

Kombinace: MSÚ-B

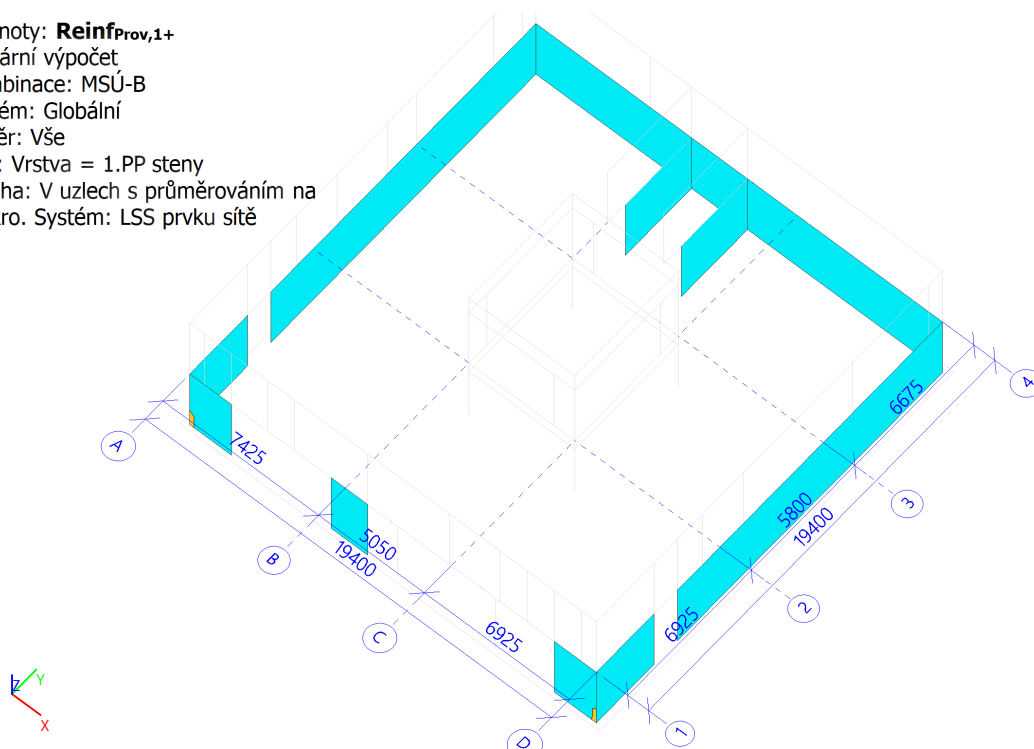
Extrém: Globální

Výběr: Vše

Filtr: Vrstva = 1.PP steny

Poloha: V uzlech s průměrováním na

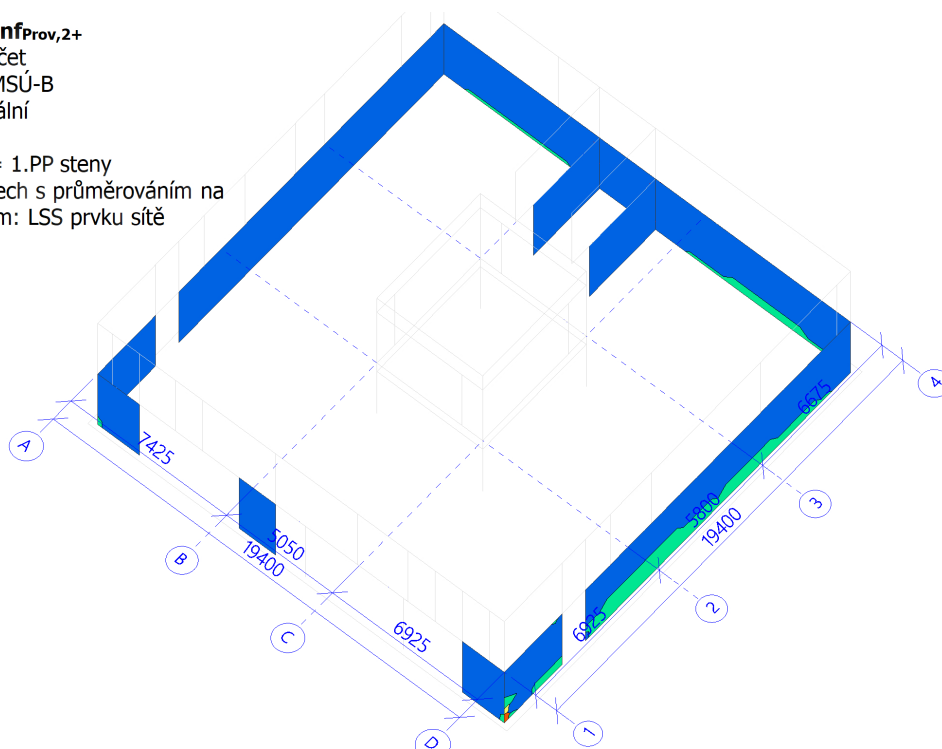
makro. Systém: LSS prvku sítě



Φ10,0/150 + Φ10,0/150	
Φ10,0/150	

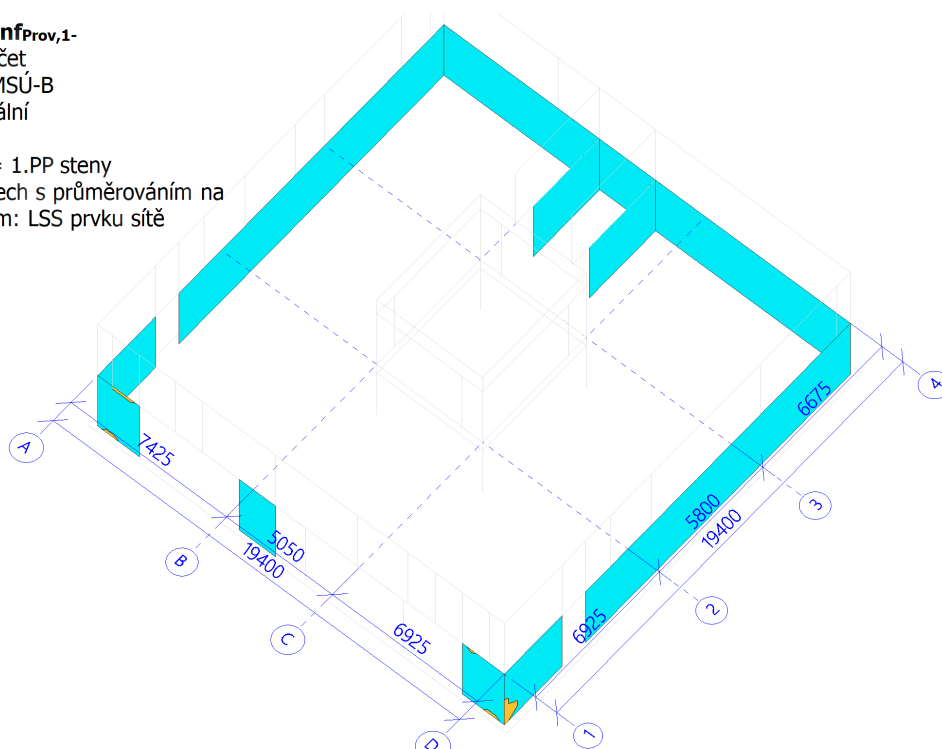
ReinfProv,1+

Hodnoty: **ReinfProv,2+**  
 Lineární výpočet  
 Kombinace: MSÚ-B  
 Extrém: Globální  
 Výběr: Vše  
 Filtr: Vrstva = 1.PP steny  
 Poloha: V uzlech s průměrováním na makro. Systém: LSS prvku sítě



$\phi 10,0/150 + \phi 16,0/150$	
$\phi 10,0/150 + \phi 12,0/150$	
$\phi 10,0/150 + \phi 10,0/150$	
$\phi 10,0/150$	

Hodnoty: **ReinfProv,1-**  
 Lineární výpočet  
 Kombinace: MSÚ-B  
 Extrém: Globální  
 Výběr: Vše  
 Filtr: Vrstva = 1.PP steny  
 Poloha: V uzlech s průměrováním na makro. Systém: LSS prvku sítě



$\phi 10,0/150 + \phi 10,0/150$	
$\phi 10,0/150$	

ReinfProv,2+

ReinfProv,1-

Hodnoty: **Reinf<sub>Prov,2-</sub>**

Lineární výpočet

Kombinace: MSÚ-B

Extrém: Globální

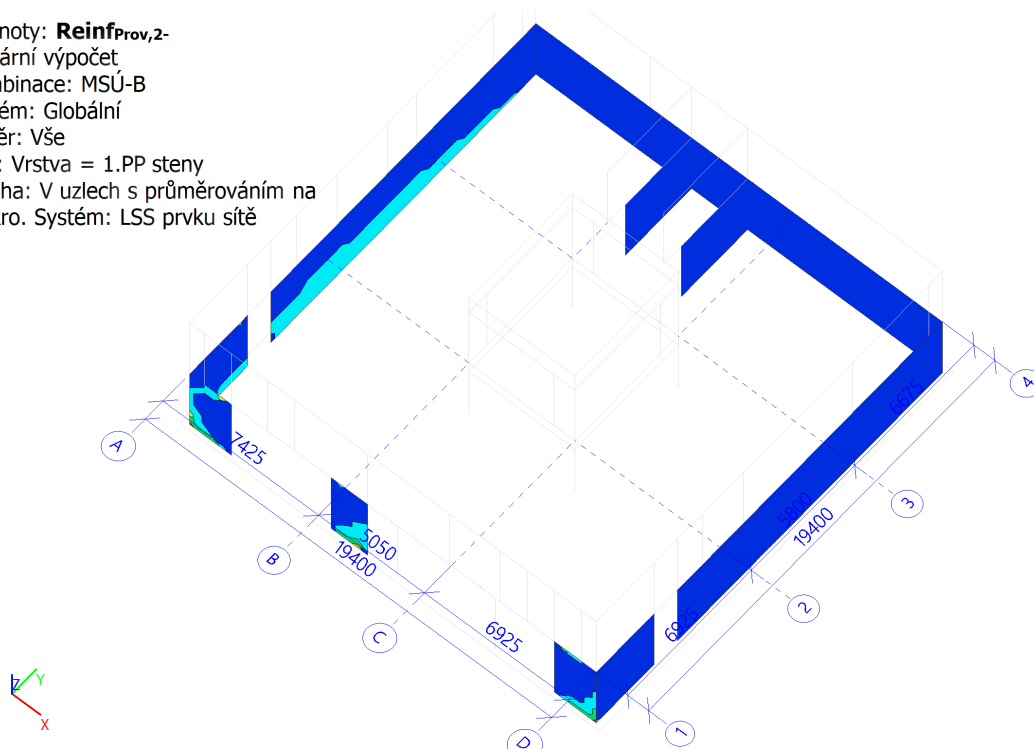
Výběr: Vše

Filtr: Vrstva = 1.PP steny

Poloha: V uzlech s průměrováním na

makro. Systém: LSS prvku sítě

Reinf<sub>Prov,2-</sub>



$\phi 10,0/150 + \phi 18,0/150$	
$\phi 10,0/150 + \phi 16,0/150$	

$\phi 10,0/150 + \phi 14,0/150$	
$\phi 10,0/150 + \phi 12,0/150$	

$\phi 10,0/150 + \phi 10,0/150$	
$\phi 10,0/150$	

#### 14.4. Deska nad 1.PP - Vnitřní síly železobetonových 2D prvků

##### 14.4.1. 2D vnitřní síly

Lineární výpočet

Kombinace: MSÚ-B

Extrém: Globální

Výběr: Vše

Filtr: Vrstva = 1.pp deska

Poloha: V uzlech s průměrováním na makro. Systém: LSS prvku sítě

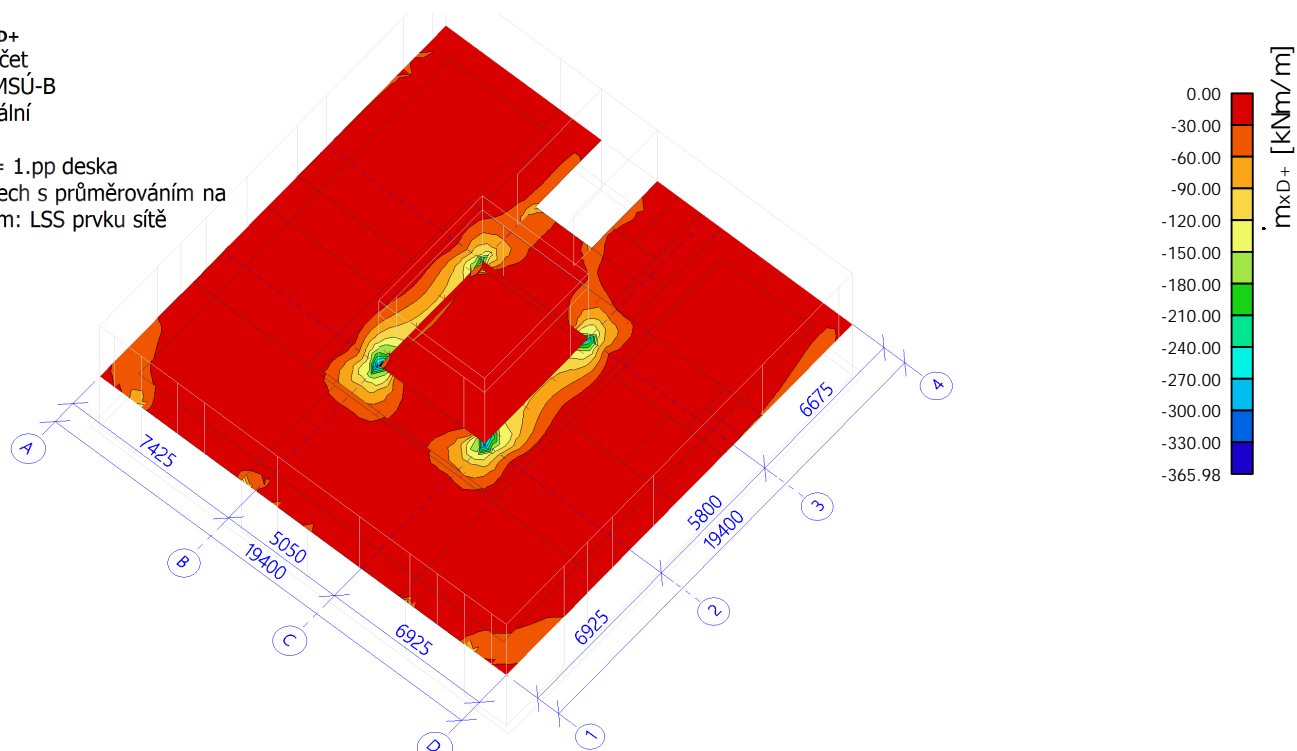
Základní návrhové veličiny

Jméno	Síť	Pozice [m]	Stav	$m_{xD+}$ [kNm/m] $m_{xD-}$ [kNm/m]	$m_{yD+}$ [kNm/m] $m_{yD-}$ [kNm/m]	$m_{cD+}$ [kNm/m] $m_{cD-}$ [kNm/m]	$n_{xD}$ [kN/m]	$n_{yD}$ [kN/m]	$n_{cD}$ [kN/m]
S56	Prvek: 1851 Uzel: 58	7,425 6,925 0,000	MSÚ-B/1	-365,98 0,00	-409,42 0,00	-121,73 -359,18	430,98	545,44	-61,73
S60	Prvek: 4443 Uzel: 58	7,425 6,925 0,000	MSÚ-B/1	-210,80 0,00	-458,24 0,00	-166,92 -393,37	333,33	0,00	-3042,48
S58	Prvek: 4373 Uzel: 61	12,475 6,925 0,000	MSÚ-B/1	0,00 200,05	0,00 429,03	-385,21 -101,17	1085,82	0,00	-2054,09
S56	Prvek: 3301 Uzel: 1687	9,950 5,425 0,000	MSÚ-B/2	-1,70 0,00	-13,33 0,00	0,00 -13,33	31,35	0,00	-106,90
S61	Prvek: 4459 Uzel: 58	7,425 6,925 0,000	MSÚ-B/1	-192,25 0,00	-443,21 0,00	-88,72 -403,78	1032,54	0,00	-2536,13
S56	Prvek: 3416 Uzel: 3785	2,225 9,845 0,000	MSÚ-B/3	0,00 51,02	0,00 16,30	-51,02 0,00	0,00	29,40	-31,60
S61	Prvek: 4459 Uzel: 4450	7,425 6,925 -0,300	MSÚ-B/1	-64,42 0,00	-190,37 0,00	-35,57 -174,42	-1045,22	0,00	-4047,97
S56	Prvek: 1852 Uzel: 58	7,425 6,925	MSÚ-B/1	-299,02 0,00	-293,01 0,00	-6,36 -295,87	2169,36	1560,86	-1465,68

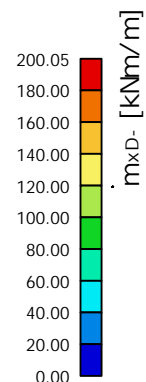
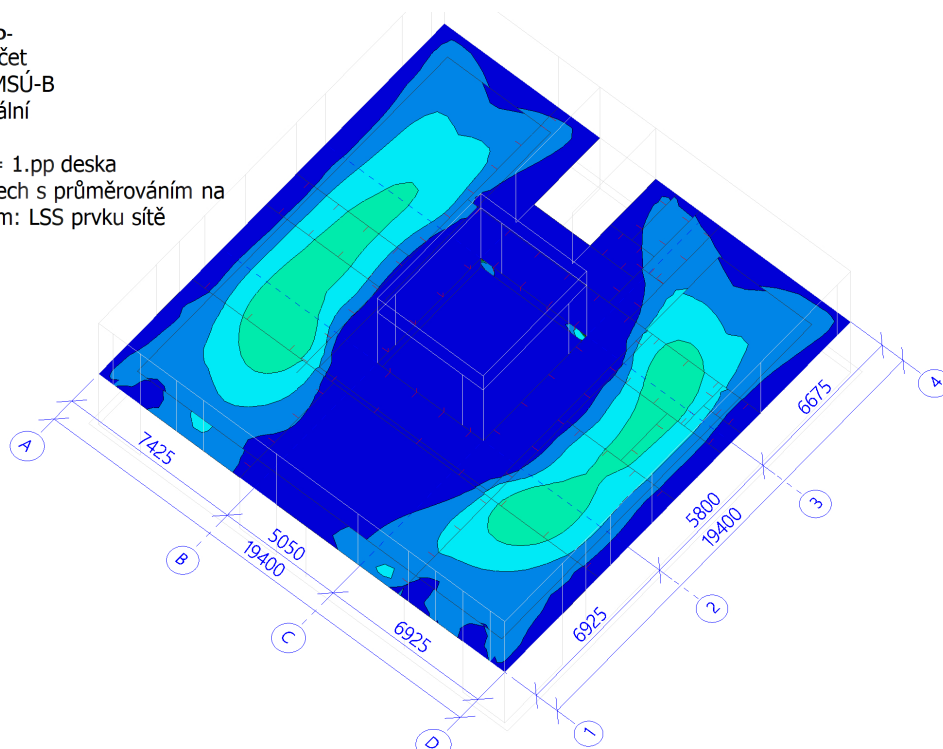
Jméno	Síť	Pozice [m]	Stav	$m_{xD+}$ [kNm/m] $m_{xD-}$ [kNm/m]	$m_{yD+}$ [kNm/m] $m_{yD-}$ [kNm/m]	$m_{cD+}$ [kNm/m] $m_{cD-}$ [kNm/m]	$n_{xD}$ [kN/m]	$n_{yD}$ [kN/m]	$n_{cD}$ [kN/m]
S56	Prvek: 1667 Uzel: 2559	0,000 13,480 9,972 0,000	MSÚ-B/1	-36,64 0,00	0,00 5,07	-5,10 -36,60	0,00	-149,58	-160,84
S56	Prvek: 1897 Uzel: 61	12,475 6,925 0,000	MSÚ-B/1	-287,99 0,00	-303,78 0,00	-20,64 -293,82	1775,94	2105,62	-1299,39
S60	Prvek: 4458 Uzel: 111	7,425 6,925 -0,600	MSÚ-B/1	-1,62 42,07	-70,84 0,00	-54,04 -60,48	101,97	0,00	-6783,15
S56	Prvek: 2121 Uzel: 85	12,179 16,200 0,000	MSÚ-B/2	0,00 11,52	0,00 28,84	-25,87 -6,86	28,43	11,78	-0,01

Jméno	Klíč kombinace
MSÚ-B/1	1.35*ZS1 + 1.35*ZS2 + 1.35*ZS3 + 0.75*ZS4 + 1.05*ZS7 + 1.35*ZS10
MSÚ-B/2	ZS1 + ZS2 + ZS3 + 1.50*ZS9 + ZS10
MSÚ-B/3	1.15*ZS1 + 1.15*ZS2 + 1.15*ZS3 + 1.50*ZS9 + 1.15*ZS10

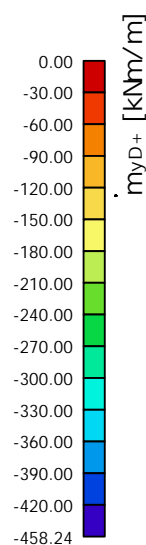
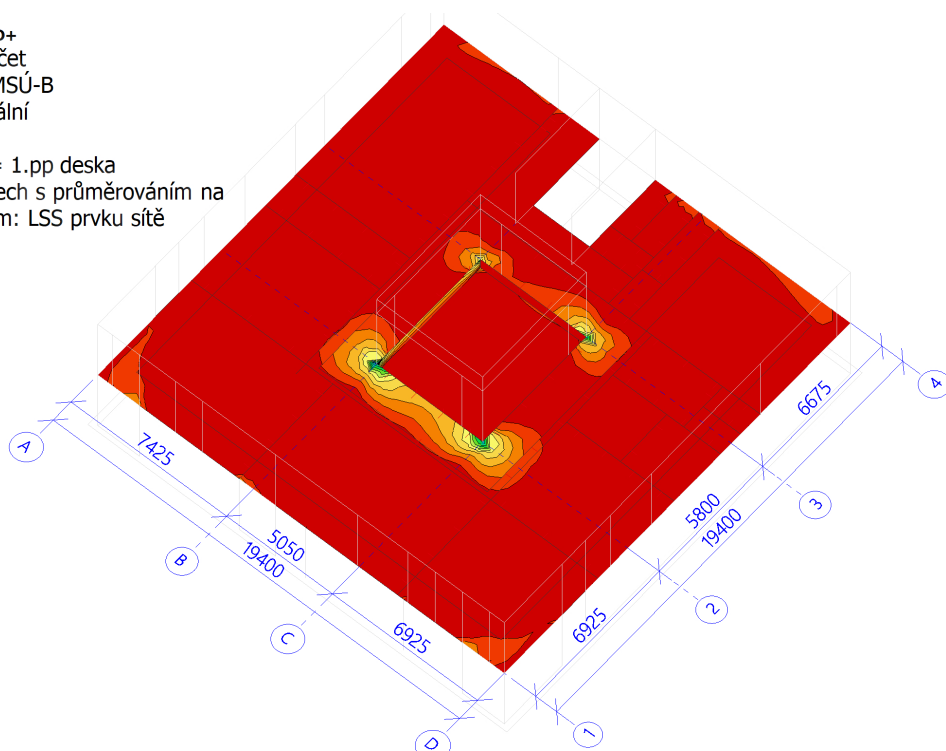
Hodnoty:  $m_{xD+}$   
 Lineární výpočet  
 Kombinace: MSÚ-B  
 Extrém: Globální  
 Výběr: Vše  
 Filtr: Vrstva = 1.pp deska  
 Poloha: V uzlech s průměrováním na makro. Systém: LSS prvku sítě



Hodnoty:  $m_{x0}$   
 Lineární výpočet  
 Kombinace: MSÚ-B  
 Extrém: Globální  
 Výběr: Vše  
 Filtr: Vrstva = 1.pp deska  
 Poloha: V uzlech s průměrováním na makro. Systém: LSS prvku sítě

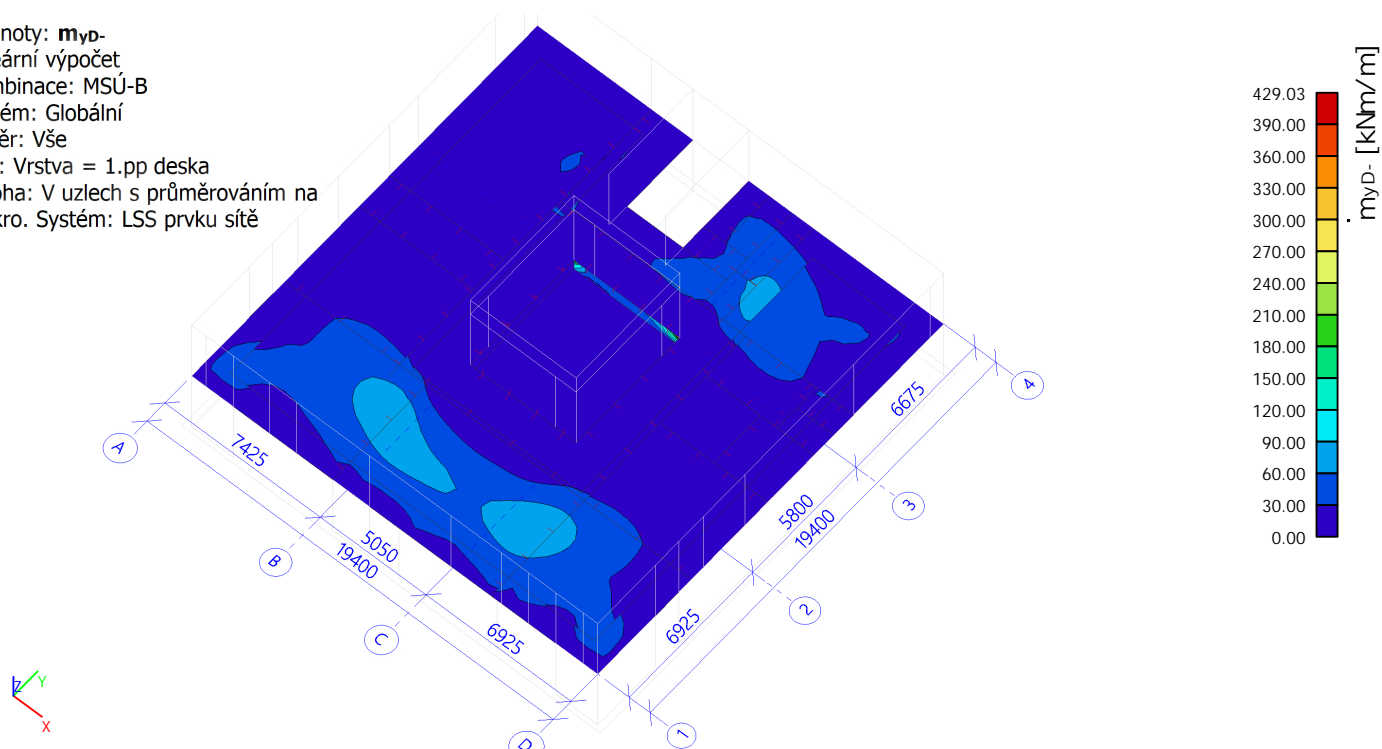


Hodnoty:  $m_{y0+}$   
 Lineární výpočet  
 Kombinace: MSÚ-B  
 Extrém: Globální  
 Výběr: Vše  
 Filtr: Vrstva = 1.pp deska  
 Poloha: V uzlech s průměrováním na makro. Systém: LSS prvku sítě





Hodnoty: **myD-**  
 Lineární výpočet  
 Kombinace: MSÚ-B  
 Extrém: Globální  
 Výběr: Vše  
 Filtr: Vrstva = 1.pp deska  
 Poloha: V uzlech s průměrováním na makro. Systém: LSS prvku sítě



## 14.5. Deska nad 1.PP - Vyztužení železobetonových 2D prvků

### 14.5.1. Návrh vyztuže (MSÚ+MSP)

Lineární výpočet  
 Kombinace: MSÚ-B  
 Extrém: Globální  
 Výběr: Vše  
 Filtr: Vrstva = 1.pp deska  
 Poloha: V uzlech s průměrováním na makro. Systém: LSS prvku sítě  
 Na vybraných dílcích se vyskytuje 2 varování. 2 z nich je zobrazeno.  
 Předpokládaná - horní

Jméno	Sít'	Pozice [m]	Stav	ReinfProv,1+	As,req,1+ [mm²/m] As,prov,1+ [mm²/m]	As,add,req,1+ [mm²/m] ρprov,1+ [%]	ReinfProv,2+	As,req,2+ [mm²/m] As,prov,2+ [mm²/m]	As,add,req,2+ [mm²/m] ρprov,2+ [%]	Chyby, upozornění, poznámky
S56	Prvek: 1852 Uzel: 58	7,425 6,925 0,000	MSÚ-B	Φ10,0/150 + Φ25,0/100	4738 5432	0 1,70	Φ10,0/150 + Φ25,0/100	5014 5432	0 1,70	W/04
S56	Prvek: 1897 Uzel: 61	12,475 6,925 0,000	MSÚ-B	Φ10,0/150 + Φ25,0/100	4361 5432	0 1,70	Φ10,0/150 + Φ25,0/100	5274 5432	0 1,70	W/04

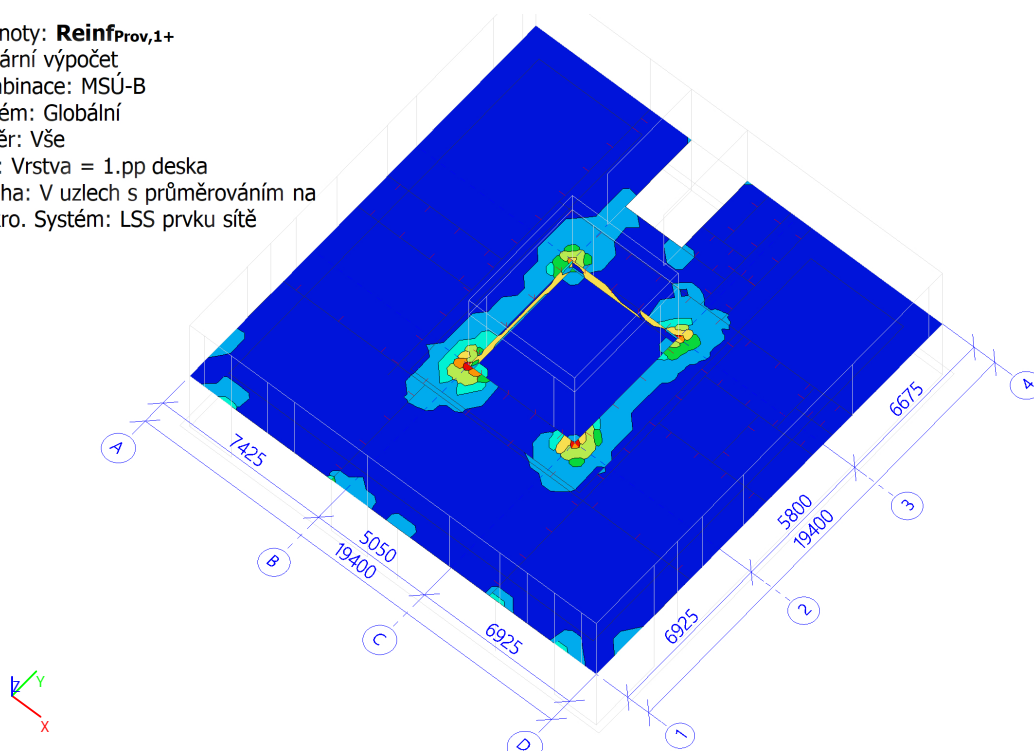
Předpokládaná - spodní

Jméno	Sít'	Pozice [m]	Stav	ReinfProv,1-	As,req,1- [mm²/m] As,prov,1- [mm²/m]	As,add,req,1- [mm²/m] ρprov,1- [%]	ReinfProv,2-	As,req,2- [mm²/m] As,prov,2- [mm²/m]	As,add,req,2- [mm²/m] ρprov,2- [%]	Chyby, upozornění, poznámky
S58	Prvek: 4373 Uzel: 1926	12,475 7,325 0,000	MSÚ-B	Φ10,0/150 + Φ25,0/150	3062 3796	0 0,95	Φ10,0/150 + Φ28,0/150	4389 4629	0 1,16	W/04

CH/V/P	Přítomno na dílcích
W/04	S56, S57, S58, S59, S60, S61
W/07	S56, S57, S61

Hodnoty: **ReinfProv,1+**  
 Lineární výpočet  
 Kombinace: MSÚ-B  
 Extrém: Globální  
 Výběr: Vše  
 Filtr: Vrstva = 1.pp deska  
 Poloha: V uzlech s průměrováním na makro. Systém: LSS prvku sítě

ReinfProv,1 +



$\phi 10,0/150 + \phi 25,0/100$	
$\phi 10,0/150 + \phi 20,0/100$	

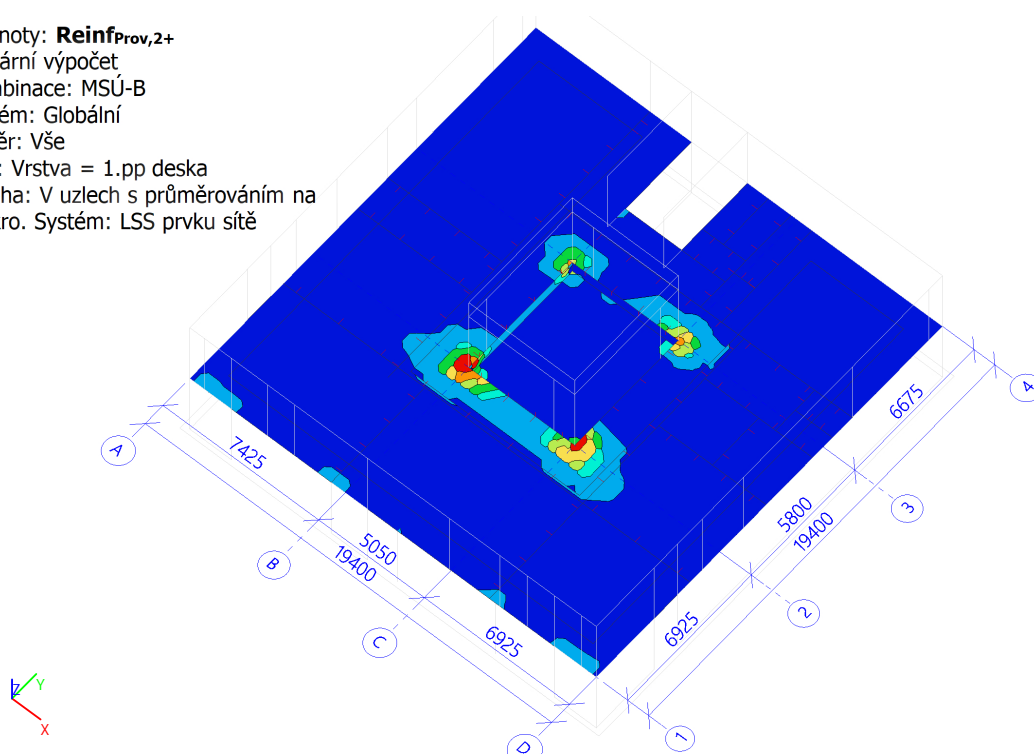
$\phi 10,0/150 + \phi 18,0/100$	
$\phi 10,0/150 + \phi 16,0/100$	

$\phi 10,0/150 + \phi 14,0/100$	
$\phi 10,0/150 + \phi 12,0/100$	

$\phi 10,0/150 + \phi 10,0/100$	
$\phi 10,0/150$	

Hodnoty: **ReinfProv,2+**  
 Lineární výpočet  
 Kombinace: MSÚ-B  
 Extrém: Globální  
 Výběr: Vše  
 Filtr: Vrstva = 1.pp deska  
 Poloha: V uzlech s průměrováním na makro. Systém: LSS prvku sítě

ReinfProv,2 +



$\phi 10,0/150 + \phi 25,0/100$	
$\phi 10,0/150 + \phi 20,0/100$	

$\phi 10,0/150 + \phi 18,0/100$	
$\phi 10,0/150 + \phi 16,0/100$	

$\phi 10,0/150 + \phi 14,0/100$	
$\phi 10,0/150 + \phi 12,0/100$	

$\phi 10,0/150 + \phi 10,0/100$	
$\phi 10,0/150$	

Hodnoty: **Reinf<sub>Prov,1-</sub>**

Lineární výpočet

Kombinace: MSÚ-B

Extrém: Globální

Výběr: Vše

Filtr: Vrstva = 1.pp deska

Poloha: V uzlech s průměrováním na

makro. Systém: LSS prvku sítě

Reinf<sub>Prov,1-</sub>



$\phi 10,0/150 + \phi 25,0/150$	
$\phi 10,0/150 + \phi 20,0/150$	

$\phi 10,0/150 + \phi 18,0/150$	
$\phi 10,0/150 + \phi 16,0/150$	

$\phi 10,0/150 + \phi 14,0/150$	
$\phi 10,0/150 + \phi 12,0/150$	

$\phi 10,0/150 + \phi 10,0/150$	
$\phi 10,0/150$	

Hodnoty: **Reinf<sub>Prov,2-</sub>**

Lineární výpočet

Kombinace: MSÚ-B

Extrém: Globální

Výběr: Vše

Filtr: Vrstva = 1.pp deska

Poloha: V uzlech s průměrováním na

makro. Systém: LSS prvku sítě

Reinf<sub>Prov,2-</sub>



$\phi 10,0/150 + \phi 28,0/150$	
$\phi 10,0/150 + \phi 25,0/150$	

$\phi 10,0/150 + \phi 18,0/150$	
$\phi 10,0/150 + \phi 16,0/150$	

$\phi 10,0/150 + \phi 14,0/150$	
$\phi 10,0/150 + \phi 12,0/150$	

$\phi 10,0/150 + \phi 10,0/150$	
$\phi 10,0/150$	

#### 14.6. Deska nad 1.PP - Trhliny železobetonových 2D prvků

Lineární výpočet

Kombinace: MSP-Kvazi

Extrém: Globální

Výběr: Vše

Filtr: Vrstva = 1.pp deska

Poloha: V uzlech s průměrováním na makro. Systém: LSS prvku sítě

Horní povrch

Jméno	Síť	Pozice [m]	Stav	m <sub>1+</sub> [kNm/m] m <sub>2+</sub> [kNm/m]	n <sub>1+</sub> [kN/m] n <sub>2+</sub> [kN/m]	A <sub>s,1+</sub> [mm <sup>2</sup> ] A <sub>s,2+</sub> [mm <sup>2</sup> ]	σ <sub>s,1+</sub> [MPa] σ <sub>s,2+</sub> [MPa]	S <sub>r,max,1+</sub> [mm] S <sub>r,max,2+</sub> [mm]	ε <sub>(sm-cm),1+</sub> [1e-4] ε <sub>(sm-cm),2+</sub> [1e-4]	W <sub>1+</sub> [mm] W <sub>2+</sub> [mm]	W <sub>max+</sub> [mm]	UC <sub>1+</sub> [-] UC <sub>2+</sub> [-]
S56	Prvek: 1882 Uzel: 60	12,475 12,725 0,000	MSP-Kvazi/1	-195,28 -176,15	435,52 360,78	3678 3119	284,3 262,6	221,323 184,152	11,3 10,8	0,251 0,199	0,300	0,84 0,66
S56	Prvek: 1867 Uzel: 59	7,425 12,725 0,000	MSP-Kvazi/1	-147,73 -132,56	658,15 268,27	3063 2593	288,0 260,8	185,662 242,841	12,0 9,1	0,223 0,221	0,300	0,74 0,74

Spodní povrch

Jméno	Síť	Pozice [m]	Stav	m <sub>1-</sub> [kNm/m] m <sub>2-</sub> [kNm/m]	n <sub>1-</sub> [kN/m] n <sub>2-</sub> [kN/m]	A <sub>s,1-</sub> [mm <sup>2</sup> ] A <sub>s,2-</sub> [mm <sup>2</sup> ]	σ <sub>s,1-</sub> [MPa] σ <sub>s,2-</sub> [MPa]	S <sub>r,max,1-</sub> [mm] S <sub>r,max,2-</sub> [mm]	ε <sub>(sm-cm),1-</sub> [1e-4] ε <sub>(sm-cm),2-</sub> [1e-4]	W <sub>1-</sub> [mm] W <sub>2-</sub> [mm]	W <sub>max-</sub> [mm]	UC <sub>1-</sub> [-] UC <sub>2-</sub> [-]
S56	Prvek: 3787 Uzel: 4152	16,392 10,683 0,000	MSP-Kvazi/2	49,47 11,36	-36,63 17,08	527 0	297,5 0,0	408,750 0,000	8,9 0,0	0,365 0,000	0,300	1,22 0,00
S59	Prvek: 4403 Uzel: 60	12,475 12,725 0,000	MSP-Kvazi/2	224,93 75,74	-1192,22 562,20	592 1802	130,6 276,7	343,930 226,353	3,9 10,3	0,135 0,233	0,300	0,45 0,78

Jméno	Klíč kombinace
MSP-Kvazi/1	ZS1 + ZS2 + ZS3 + ZS10
MSP-Kvazi/2	ZS1 + ZS2 + ZS3 + 0.60*ZS7 + ZS10

Hodnoty: w<sub>+</sub>

Lineární výpočet

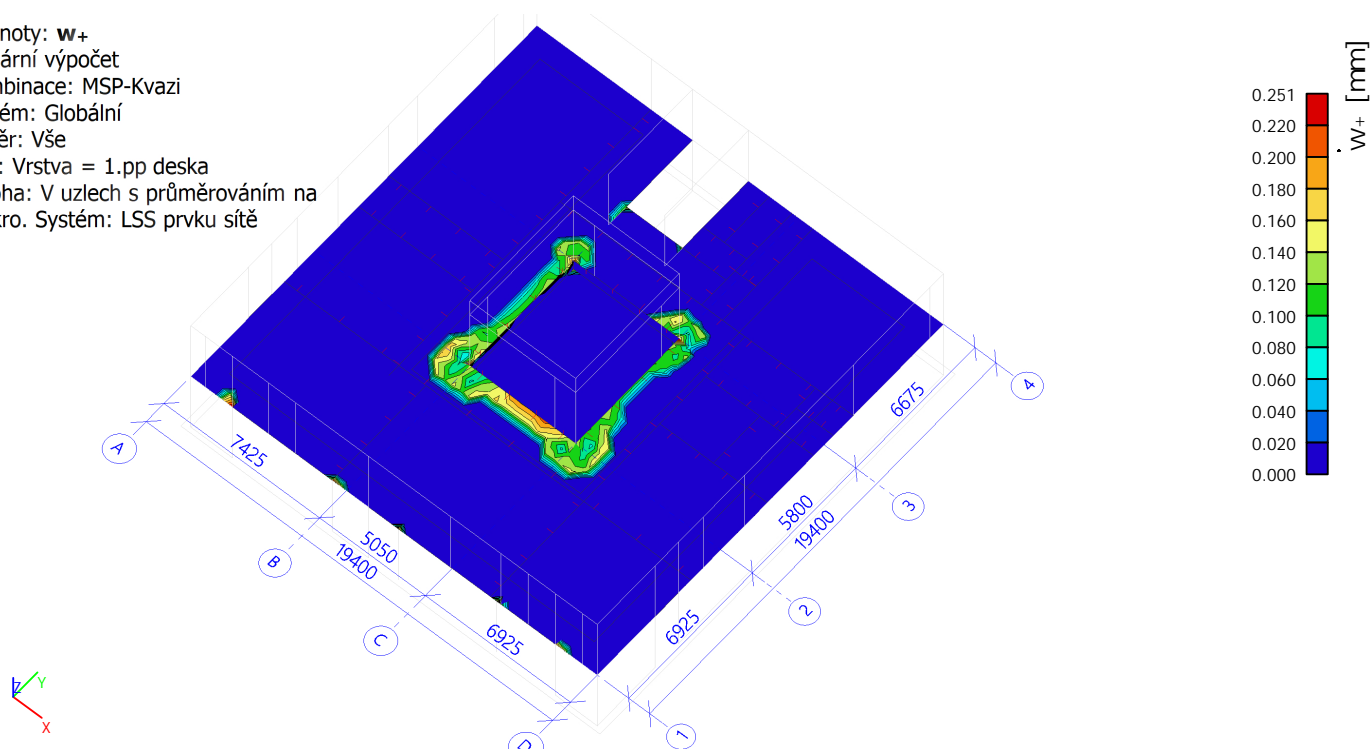
Kombinace: MSP-Kvazi

Extrém: Globální

Výběr: Vše

Filtr: Vrstva = 1.pp deska

Poloha: V uzlech s průměrováním na makro. Systém: LSS prvku sítě



Hodnoty: w-

Lineární výpočet

Kombinace: MSP-Kvazi

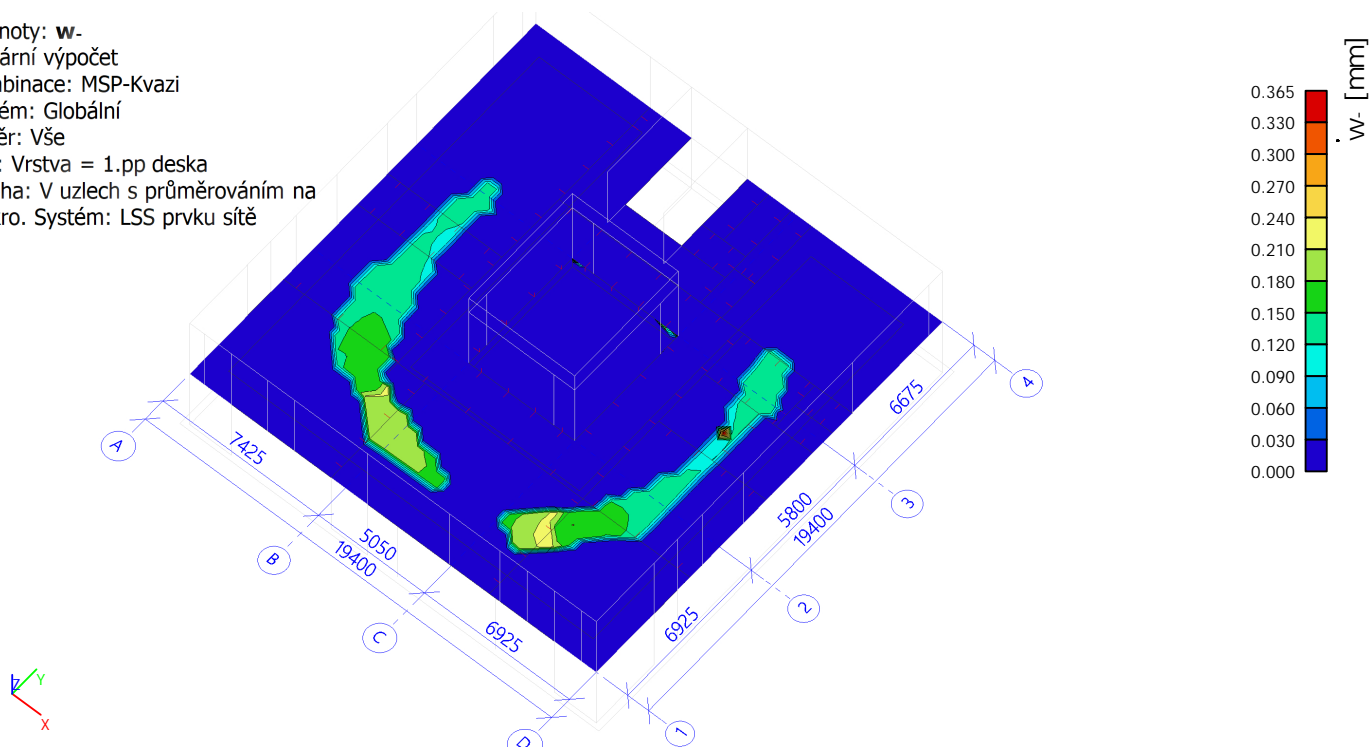
Extrém: Globální

Výběr: Vše

Filtr: Vrstva = 1.pp deska

Poloha: V uzlech s průměrováním na

makro. Systém: LSS prvku sítě



## 14.7. Deska nad 1.PP - Deformace železobetonových 2D prvků

Lineární výpočet

Kombinace: MSP-KvaziExtrém: Globální

Výběr: Vše

Filtr: Vrstva = 1.pp deska

Poloha: V těžištích. Systém: LSS prvku sítě

Složky vnitřních sil rovnoběžné se žebrem se zohlední jako nulové uvnitř efektivní šířky žebra.

Systém: LSS prvku sítě

Výběr NZP: B42, B43, S56, S57, S58, S59, S60, S61

Na vybraných dílcích se vyskytuje 3 varování. 3 z nich je zobrazeno.

Pro 1D dílec

Jméno	dx [m]	Stav Typ výztuže	$\Phi(t, t_0)$ [-]	$\delta_{lin,y}$ [mm]	$\delta_{lim,y}$ [mm]	$\delta_{short,y}$ [mm]	$\delta_{creep,y}$ [mm]	$\delta_{add,y}$ [mm]	$\delta_{add,lim,y}$ [mm]	$\delta_{tot,y}$ [mm]	$\delta_{tot,lim,y}$ [mm]	UC [-] Posudek	Chyby upozorn poznám
B43	6,100+	MSP-Kvazi/1 Předp.	2,20	-2,3 -13,8	-2,0 -12,2	-2,0 -14,1	0,0 -0,2	-0,1 -2,1	0,4 0,4	-2,1 -14,3	0,8 0,8	17,86 Nevyhovuje	W7/1, W7 W7/4

Jméno	Klíč kombinace
MSP-Kvazi/1	ZS1 + ZS2 + ZS3 + 0.60*ZS7 + ZS10

CH/V/P	Přítomno na dílcích
W7/1	B43
W7/3	B42, B43
W7/4	B42, B43

Pro 2D dílec

Jméno	Sit'	Stav Typ výztuže	$\Phi(t, t_0)$ [-]	$\delta_{lin,z}$ [mm]	$\delta_{lim,z}$ [mm]	$\delta_{short,z}$ [mm]	$\delta_{creep,z}$ [mm]	$\delta_{add,z}$ [mm]	$\delta_{add,lim,z}$ [mm]	$\delta_{tot,z}$ [mm]	$\delta_{tot,lim,z}$ [mm]	UC [-] Posudek
S56	Prvek: 2828	MSP-Kvazi/1 Předp. & Uživatelský/Předp. & Uživatelský	2,15	-15,6	-13,7	-17,3	-4,6	-8,2	15,0	-21,9	25,0	0,88 OK

Jméno	Klíč kombinace
MSP-Kvazi/1	ZS1 + ZS2 + ZS3 + 0.60*ZS7 + ZS10

Hodnoty:  $\delta_{tot,z}$

Lineární výpočet

Kombinace: MSP-KvaziExtrém:

Globální

Výběr: Vše

Filtr: Vrstva = 1.pp deska

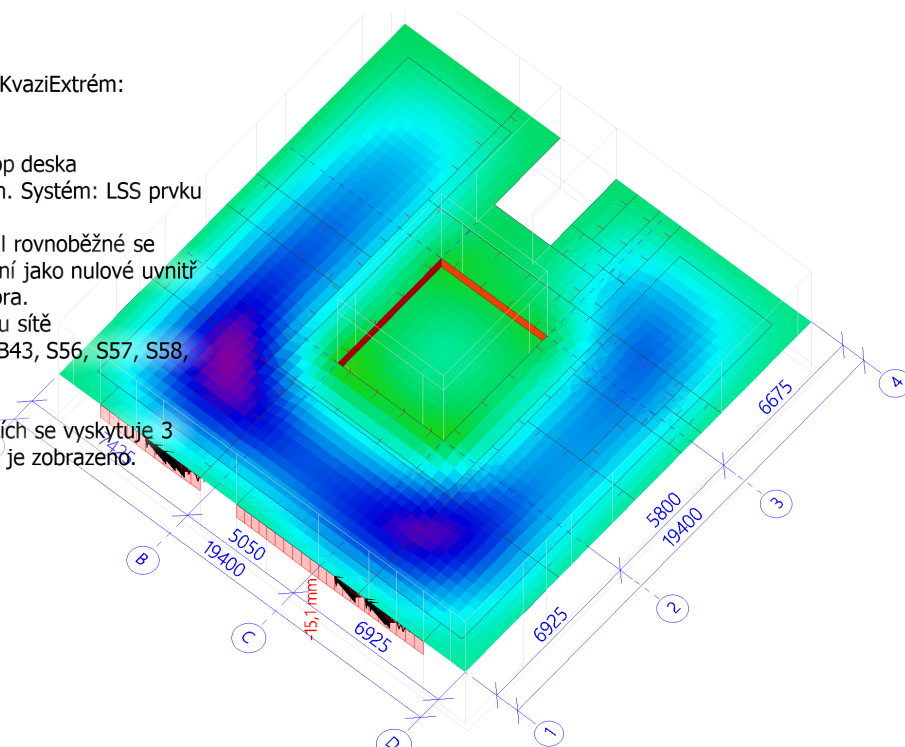
Poloha: V těžistiřích. Systém: LSS prvku sítě

Složky vnitřních sil rovnoběžné se žebrem se zohlední jako nulové uvnitř efektivní šířky žebra.

Systém: LSS prvku sítě

Výběr NZP: B42, B43, S56, S57, S58, S59, S60, S61

Na vybraných dílcích se vyskytuje 3 varování. 3 z nich je zobrazeno.



Hodnoty:  $\delta_{short,z}$

Lineární výpočet

Kombinace: MSP-KvaziExtrém:

Globální

Výběr: Vše

Filtr: Vrstva = 1.pp deska

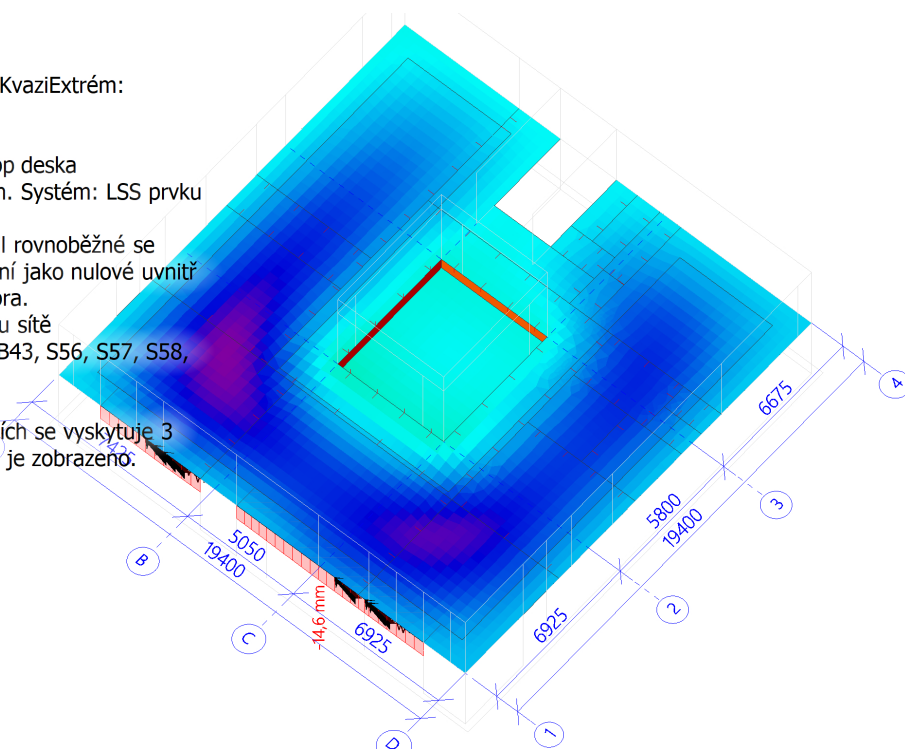
Poloha: V těžistiřích. Systém: LSS prvku sítě

Složky vnitřních sil rovnoběžné se žebrem se zohlední jako nulové uvnitř efektivní šířky žebra.

Systém: LSS prvku sítě

Výběr NZP: B42, B43, S56, S57, S58, S59, S60, S61

Na vybraných dílcích se vyskytuje 3 varování. 3 z nich je zobrazeno.



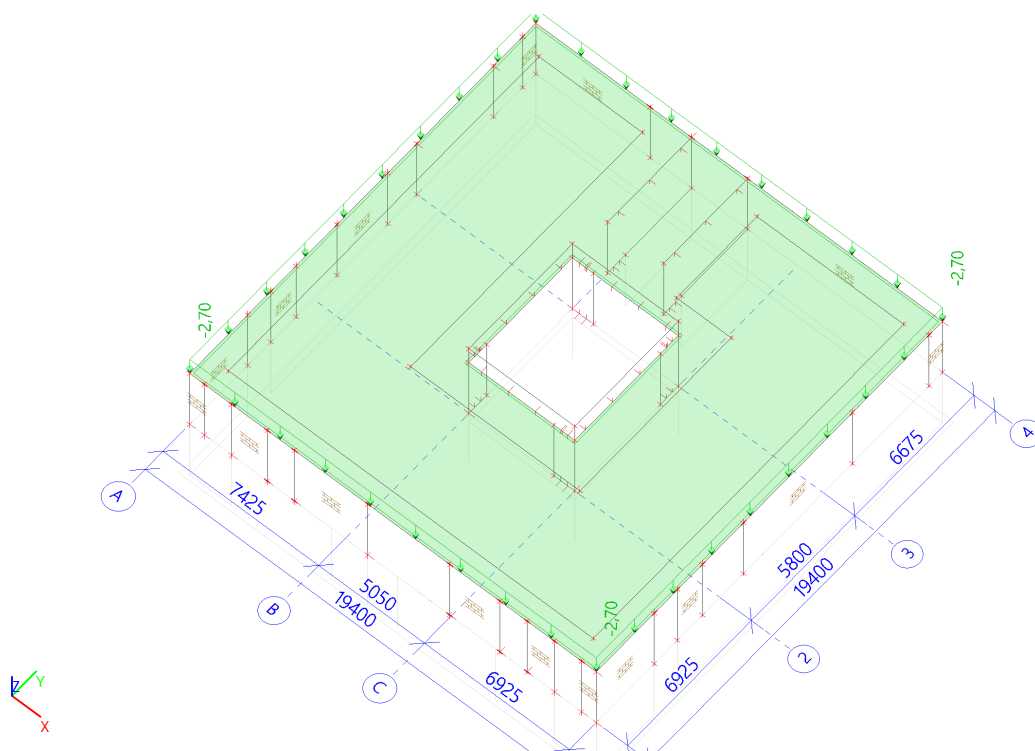
## 15. 1NP

### 15.1. Zatěžovací stavy

#### 15.1.1. Zatěžovací stavy - ZS2

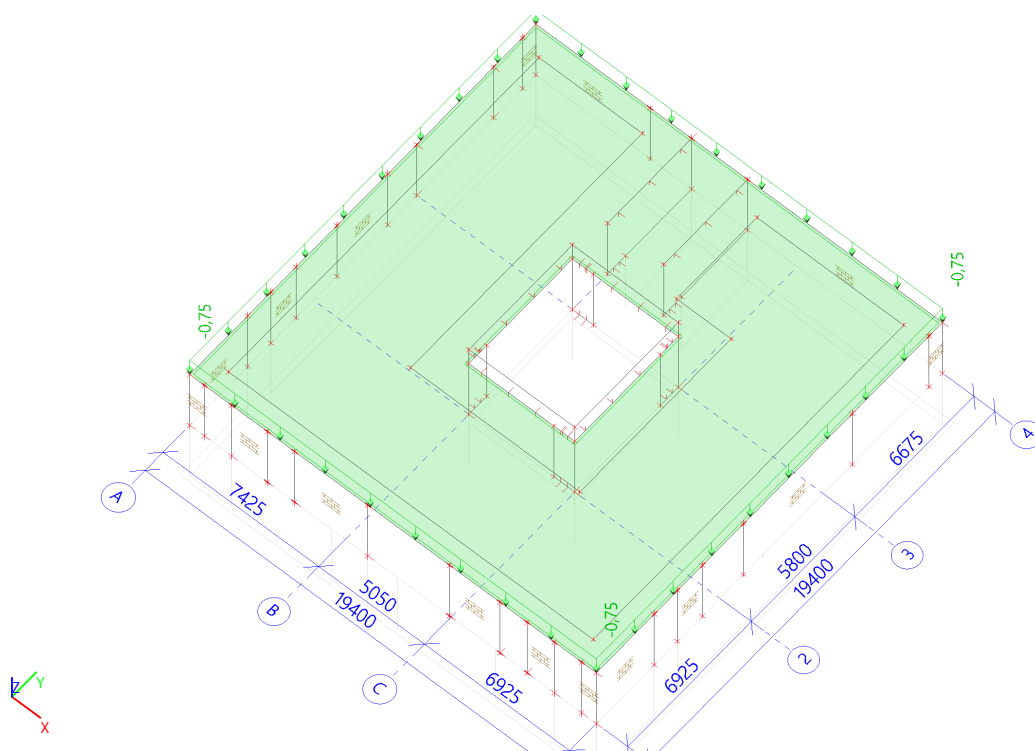
Jméno	Popis	Typ působení	Skupina zatížení	Typ zatížení
ZS2	podlaha	Stálé	SZ1	Standard





### 15.1.2. Zatěžovací stavy - ZS4

Jméno	Popis	Typ působení	Skupina zatížení	Typ zatížení	Spec	Působení	Řídicí zat. stav
ZS4	snih	Proměnné	SZ3	Statické	Standard	Krátkodobé	Žádný



## 15.2. Zatížení na zdivo

### 15.2.1. 2D vnitřní síly

Lineární výpočet  
 Kombinace: MSÚ-B  
 Extrém: Dílec

Vyběr: Vše

Filtr: Materiál = Masonry

Poloha: V uzlech s průměrováním na makro. Systém: LSS prvku sítě

Základní návrhové veličiny - Výsledky na okrajích:

Jméno	Síť	Pozice [m]	Stav	$m_{xD+}$ [kNm/m] $m_{xD-}$ [kNm/m]	$m_{yD+}$ [kNm/m] $m_{yD-}$ [kNm/m]	$m_{cD+}$ [kNm/m] $m_{cD-}$ [kNm/m]	$n_{xD}$ [kN/m]	$n_{yD}$ [kN/m]	$n_{cD}$ [kN/m]
S64/Edge 195	Prvek: 4539	0,350 0,000 0,000	MSÚ-B/1	-0,47 0,20	-0,62 0,05	-0,67 -0,67	-0,95	0,00	-61,20
S64/Edge 195	Prvek: 4540	0,700 0,000 0,000	MSÚ-B/2	-0,89 0,00	-0,28 0,00	-0,40 -0,75	-6,85	0,00	-43,80
S64/Edge 195	Prvek: 4539	0,350 0,000 0,000	MSÚ-B/3	-0,39 0,20	-0,53 0,06	-0,59 -0,59	-0,68	0,00	-53,69
S64/Edge 195	Prvek: 4540	0,700 0,000 0,000	MSÚ-B/4	-0,93 0,00	-0,28 0,00	-0,39 -0,78	-7,11	0,00	-42,25
S64/Edge 195	Prvek: 4539	0,350 0,000 0,000	MSÚ-B/5	-0,28 0,14	-0,37 0,05	-0,42 -0,42	-0,41	0,00	-38,60
S64/Edge 195	Prvek: 4540	0,700 0,000 0,000	MSÚ-B/6	-1,54 0,00	-0,41 0,00	-0,63 -1,31	-8,93	0,00	-63,28
S64/Edge 195	Prvek: 4539	0,000 0,000 0,000	MSÚ-B/3	-1,46 0,00	-2,89 0,00	-1,28 -2,43	9,22	0,00	-43,11
S64/Edge 195	Prvek: 4539	0,000 0,000 0,000	MSÚ-B/1	-1,78 0,00	-3,52 0,00	-1,57 -2,96	8,01	0,00	-51,49
S64/Edge 195	Prvek: 4540	0,700 0,000 0,000	MSÚ-B/7	-1,52 0,00	-0,41 0,01	-0,66 -1,28	-8,70	0,00	-64,63
S64/Edge 195	Prvek: 4539	0,000 0,000 0,000	MSÚ-B/5	-1,01 0,00	-2,00 0,00	-0,87 -1,68	7,37	0,00	-30,29
S64/Edge 196	Prvek: 4554	0,700 0,000 3,200	MSÚ-B/7	0,00 0,75	-0,92 0,00	-0,81 -0,86	3,77	0,00	-50,27
S64/Edge 196	Prvek: 4556	0,700 0,000 3,600	MSÚ-B/3	0,00 4,02	-0,39 0,27	-3,55 -1,14	-11,14	0,00	-46,83
S64/Edge 196	Prvek: 4544	0,700 0,000 1,200	MSÚ-B/8	-0,01 0,00	-0,33 0,00	0,00 -0,33	0,14	0,00	-41,29
S64/Edge 196	Prvek: 4552	0,700 0,000 2,800	MSÚ-B/5	-0,14 0,00	-0,20 0,00	-0,02 -0,19	0,57	0,00	-31,59
S64/Edge 196	Prvek: 4556	0,700 0,000 3,600	MSÚ-B/6	0,00 3,90	-0,37 0,23	-3,45 -1,05	-11,16	0,00	-52,84
S64/Edge 196	Prvek: 4554	0,700 0,000 3,200	MSÚ-B/3	0,00 0,80	-0,81 0,00	-0,80 -0,81	4,11	0,00	-42,87
S64/Edge 196	Prvek: 4540	0,700 0,000 0,000	MSÚ-B/6	-1,54 0,00	-0,41 0,00	-0,63 -1,31	-8,93	0,00	-63,28
S64/Edge 196	Prvek: 4540	0,700 0,000 0,000	MSÚ-B/7	-1,52 0,00	-0,41 0,01	-0,66 -1,28	-8,70	0,00	-64,63
S64/Edge 196	Prvek: 4554	0,700 0,000 3,200	MSÚ-B/5	0,00 0,62	-0,58 0,00	-0,60 -0,60	3,31	0,00	-30,68
S64/Edge 197	Prvek: 4555	0,350 0,000 3,600	MSÚ-B/9	0,00 0,56	-0,16 0,00	-0,49 -0,23	-0,68	0,00	-28,67
S64/Edge 197	Prvek: 4556	0,700 0,000	MSÚ-B/3	0,00 4,02	-0,39 0,27	-3,55 -1,14	-11,14	0,00	-46,83



Jméno	Stř	Pozice [m]	Stav	$m_{xD+}$ [kNm/m] $m_{xD-}$ [kNm/m]	$m_{yD+}$ [kNm/m] $m_{yD-}$ [kNm/m]	$m_{cD+}$ [kNm/m] $m_{cD-}$ [kNm/m]	$n_{xD}$ [kN/m]	$n_{yD}$ [kN/m]	$n_{cD}$ [kN/m]
S64/Edge 197	Prvek: 4555	3,600 0,350 0,000 3,600	MSÚ-B/10	0,00 0,43	-0,21 0,00	-0,43 -0,21	-0,82	0,00	-39,29
S64/Edge 197	Prvek: 4555	0,000 0,000 3,600	MSÚ-B/1	-2,33 0,00	-2,70 0,00	-2,03 -2,30	8,44	0,00	-39,61
S64/Edge 197	Prvek: 4555	0,350 0,000 3,600	MSÚ-B/11	0,00 0,49	-0,16 0,00	-0,46 -0,19	-0,64	0,00	-31,13
S64/Edge 197	Prvek: 4556	0,700 0,000 3,600	MSÚ-B/6	0,00 3,90	-0,37 0,23	-3,45 -1,05	-11,16	0,00	-52,84
S64/Edge 197	Prvek: 4555	0,000 0,000 3,600	MSÚ-B/3	-2,06 0,00	-2,08 0,00	-1,76 -1,84	10,11	0,00	-30,81
S64/Edge 197	Prvek: 4555	0,000 0,000 3,600	MSÚ-B/7	-2,35 0,00	-2,67 0,00	-2,05 -2,28	8,97	0,00	-39,09
S64/Edge 197	Prvek: 4556	0,700 0,000 3,600	MSÚ-B/7	0,00 3,86	-0,38 0,21	-3,42 -1,02	-10,28	0,00	-53,71
S64/Edge 197	Prvek: 4555	0,000 0,000 3,600	MSÚ-B/5	-1,47 0,00	-1,40 0,00	-1,24 -1,30	8,21	0,00	-21,08
S64/Edge 198	Prvek: 4553	0,000 0,000 2,800	MSÚ-B/12	0,00 0,12	-0,26 0,00	-0,14 -0,24	-0,17	0,00	-35,50
S64/Edge 198	Prvek: 4553	0,000 0,000 2,800	MSÚ-B/5	0,00 0,10	-0,22 0,00	-0,12 -0,20	-0,16	0,00	-30,06
S64/Edge 198	Prvek: 4543	0,000 0,000 0,800	MSÚ-B/11	-0,14 0,00	-0,34 0,00	0,00 -0,34	0,22	0,00	-38,02
S64/Edge 198	Prvek: 4539	0,000 0,000 0,000	MSÚ-B/1	-1,78 0,00	-3,52 0,00	-1,57 -2,96	8,01	0,00	-51,49
S64/Edge 198	Prvek: 4551	0,000 0,000 2,400	MSÚ-B/5	0,00 0,03	-0,22 0,00	-0,05 -0,20	0,00	0,00	-30,79
S64/Edge 198	Prvek: 4555	0,000 0,000 3,200	MSÚ-B/3	-0,10 0,00	-0,62 0,00	-0,03 -0,60	-3,39	0,00	-39,79
S64/Edge 198	Prvek: 4555	0,000 0,000 3,600	MSÚ-B/3	-2,06 0,00	-2,08 0,00	-1,76 -1,84	10,11	0,00	-30,81
S64/Edge 198	Prvek: 4555	0,000 0,000 3,600	MSÚ-B/7	-2,35 0,00	-2,67 0,00	-2,05 -2,28	8,97	0,00	-39,09
S64/Edge 198	Prvek: 4541	0,000 0,000 0,400	MSÚ-B/1	-0,35 0,00	-1,04 0,00	-0,06 -1,01	-2,37	0,00	-57,32
S64/Edge 198	Prvek: 4555	0,000 0,000 3,600	MSÚ-B/5	-1,47 0,00	-1,40 0,00	-1,24 -1,30	8,21	0,00	-21,08
S65/Edge 199	Prvek: 4560	3,700 0,000 0,000	MSÚ-B/13	-1,10 0,00	-0,26 0,11	-0,55 -0,92	0,56	34,21	-0,03
S65/Edge 199	Prvek: 4558	2,850 0,000 0,000	MSÚ-B/13	-0,70 0,58	-0,62 0,67	-1,28 -1,28	-1,94	0,00	-20,54
S65/Edge 199	Prvek: 4557	2,425 0,000 0,000	MSÚ-B/2	0,00 0,05	-0,02 0,00	-0,05 -0,03	-1,40	0,00	-55,57
S65/Edge 199	Prvek: 4558	2,850 0,000	MSÚ-B/3	-0,40 0,15	-0,22 0,33	-0,55 -0,55	-2,46	0,00	-38,70

Jméno	Stř	Pozice [m]	Stav	m <sub>x</sub> D+ [kNm/m] m <sub>x</sub> D- [kNm/m]	m <sub>y</sub> D+ [kNm/m] m <sub>y</sub> D- [kNm/m]	m <sub>c</sub> D+ [kNm/m] m <sub>c</sub> D- [kNm/m]	n <sub>x</sub> D [kN/m]	n <sub>y</sub> D [kN/m]	n <sub>c</sub> D [kN/m]
		0,000							
S65/Edge 199	Prvek: 4557	2,000 0,000 0,000	MSÚ-B/1	0,00 2,35	-0,20 0,52	-1,97 -1,11	1,72	0,00	-107,36
S65/Edge 199	Prvek: 4557	2,000 0,000 0,000	MSÚ-B/13	0,00 2,84	-0,16 0,64	-2,39 -1,24	1,60	0,00	-98,90
S65/Edge 199	Prvek: 4560	3,700 0,000 0,000	MSÚ-B/14	-0,78 0,00	-0,19 0,12	-0,45 -0,65	0,16	35,33	-0,02
S65/Edge 199	Prvek: 4557	2,000 0,000 0,000	MSÚ-B/6	0,00 2,54	-0,21 0,56	-2,13 -1,18	1,68	0,00	-114,36
S65/Edge 199	Prvek: 4560	3,700 0,000 0,000	MSÚ-B/11	-0,44 0,00	-0,09 0,09	-0,25 -0,36	0,04	8,75	-0,01
S65/Edge 200	Prvek: 4560	3,700 0,000 0,000	MSÚ-B/13	-1,10 0,00	-0,26 0,11	-0,55 -0,92	0,56	34,21	-0,03
S65/Edge 200	Prvek: 4588	3,700 0,000 3,200	MSÚ-B/3	0,00 0,06	-0,60 0,00	-0,11 -0,55	0,00	19,63	-1,49
S65/Edge 200	Prvek: 4580	3,700 0,000 2,400	MSÚ-B/9	0,00 0,00	-0,06 0,00	-0,01 -0,05	0,00	12,51	-0,56
S65/Edge 200	Prvek: 4592	3,700 0,000 3,600	MSÚ-B/3	0,00 2,32	-0,04 0,63	-1,95 -1,03	2,10	22,61	-0,15
S65/Edge 200	Prvek: 4560	3,700 0,000 0,400	MSÚ-B/15	-0,01 0,00	0,00 0,21	-0,20 -0,02	0,00	33,02	-0,70
S65/Edge 200	Prvek: 4560	3,700 0,000 0,000	MSÚ-B/4	-0,65 0,00	-0,12 0,11	-0,33 -0,54	0,29	5,42	-0,02
S65/Edge 200	Prvek: 4592	3,700 0,000 3,600	MSÚ-B/14	0,00 1,80	-0,07 0,46	-1,51 -0,81	3,16	47,18	-0,08
S65/Edge 200	Prvek: 4588	3,700 0,000 3,200	MSÚ-B/7	0,00 0,05	-0,56 0,00	-0,08 -0,53	0,00	38,32	-1,96
S65/Edge 200	Prvek: 4560	3,700 0,000 0,000	MSÚ-B/11	-0,44 0,00	-0,09 0,09	-0,25 -0,36	0,04	8,75	-0,01
S65/Edge 201	Prvek: 4592	3,700 0,000 3,600	MSÚ-B/3	0,00 2,32	-0,04 0,63	-1,95 -1,03	2,10	22,61	-0,15
S65/Edge 201	Prvek: 4592	3,700 0,000 3,600	MSÚ-B/5	0,00 1,77	-0,02 0,48	-1,49 -0,78	1,42	15,62	-0,14
S65/Edge 201	Prvek: 4589	2,000 0,000 3,600	MSÚ-B/9	-3,14 0,00	-0,77 0,03	-1,27 -2,67	-1,77	0,00	-73,83
S65/Edge 201	Prvek: 4590	2,850 0,000 3,600	MSÚ-B/3	-1,61 1,45	-1,50 1,56	-3,06 -3,06	0,88	0,00	-26,95
S65/Edge 201	Prvek: 4589	2,000 0,000 3,600	MSÚ-B/10	-3,00 0,00	-0,73 0,06	-1,25 -2,54	-2,65	0,00	-74,60
S65/Edge 201	Prvek: 4589	2,000 0,000 3,600	MSÚ-B/7	-4,38 0,00	-1,07 0,07	-1,81 -3,71	-3,15	0,00	-99,98
S65/Edge 201	Prvek: 4589	2,000 0,000 3,600	MSÚ-B/3	-4,48 0,00	-1,10 0,04	-1,82 -3,80	-2,53	0,00	-99,44
S65/Edge 201	Prvek: 4592	3,700 0,000	MSÚ-B/14	0,00 1,80	-0,07 0,46	-1,51 -0,81	3,16	47,18	-0,08

Jméno	Sít'	Pozice [m]	Stav	$m_{xD+}$ [kNm/m] $m_{xD-}$ [kNm/m]	$m_{yD+}$ [kNm/m] $m_{yD-}$ [kNm/m]	$m_{cD+}$ [kNm/m] $m_{cD-}$ [kNm/m]	$n_{xD}$ [kN/m]	$n_{yD}$ [kN/m]	$n_{cD}$ [kN/m]
S65/Edge 201	Prvek: 4589	3,600 2,000 0,000 3,600	MSÚ-B/6	-4,40 0,00	-1,08 0,06	-1,81 -3,73	-3,03	0,00	-103,56
S65/Edge 201	Prvek: 4592	3,700 0,000 3,600	MSÚ-B/10	0,00 1,56	-0,06 0,40	-1,31 -0,71	2,91	44,44	-0,06
S65/Edge 202	Prvek: 4565	2,000 0,000 0,800	MSÚ-B/13	-0,17 0,00	-0,17 0,00	-0,12 -0,14	0,24	0,00	-97,03
S65/Edge 202	Prvek: 4589	2,000 0,000 3,200	MSÚ-B/3	-0,15 0,00	0,00 0,77	-0,76 -0,16	0,73	0,00	-99,38
S65/Edge 202	Prvek: 4557	2,000 0,000 0,000	MSÚ-B/13	0,00 2,84	-0,16 0,64	-2,39 -1,24	1,60	0,00	-98,90
S65/Edge 202	Prvek: 4569	2,000 0,000 1,200	MSÚ-B/9	-0,02 0,02	-0,03 0,00	-0,03 -0,03	0,12	0,00	-79,46
S65/Edge 202	Prvek: 4581	2,000 0,000 2,400	MSÚ-B/9	-0,01 0,01	0,00 0,06	-0,05 -0,03	0,01	0,00	-75,86
S65/Edge 202	Prvek: 4589	2,000 0,000 3,600	MSÚ-B/7	-4,38 0,00	-1,07 0,07	-1,81 -3,71	-3,15	0,00	-99,98
S65/Edge 202	Prvek: 4557	2,000 0,000 0,000	MSÚ-B/1	0,00 2,35	-0,20 0,52	-1,97 -1,11	1,72	0,00	-107,36
S65/Edge 202	Prvek: 4589	2,000 0,000 3,600	MSÚ-B/3	-4,48 0,00	-1,10 0,04	-1,82 -3,80	-2,53	0,00	-99,44
S65/Edge 202	Prvek: 4557	2,000 0,000 0,000	MSÚ-B/6	0,00 2,54	-0,21 0,56	-2,13 -1,18	1,68	0,00	-114,36
S65/Edge 202	Prvek: 4589	2,000 0,000 3,200	MSÚ-B/11	-0,11 0,00	0,00 0,53	-0,53 -0,11	0,53	0,00	-68,56
S66/Edge 203	Prvek: 4603	5,438 0,000 0,000	MSÚ-B/10	-0,32 0,08	-0,21 0,19	-0,40 -0,40	0,00	3,04	-2,91
S66/Edge 203	Prvek: 4606	6,750 0,000 0,000	MSÚ-B/3	-0,33 1,08	-0,79 0,61	-1,40 -1,40	-17,17	0,00	-163,45
S66/Edge 203	Prvek: 4606	6,750 0,000 0,000	MSÚ-B/10	0,00 0,47	-0,18 0,09	-0,39 -0,34	-14,32	0,00	-134,21
S66/Edge 203	Prvek: 4604	5,875 0,000 0,000	MSÚ-B/3	-1,12 0,60	-0,96 0,76	-1,72 -1,72	-11,89	0,00	-55,78
S66/Edge 203	Prvek: 4603	5,000 0,000 0,000	MSÚ-B/16	0,00 0,40	0,00 0,16	-0,33 -0,23	1,48	23,01	-0,13
S66/Edge 203	Prvek: 4605	6,313 0,000 0,000	MSÚ-B/3	-1,24 0,69	-1,26 0,68	-1,94 -1,94	-17,31	0,00	-106,32
S66/Edge 203	Prvek: 4603	5,000 0,000 0,000	MSÚ-B/17	0,00 0,41	0,00 0,16	-0,34 -0,23	1,65	31,64	-0,11
S66/Edge 203	Prvek: 4603	5,000 0,000 0,000	MSÚ-B/1	0,00 0,57	0,00 0,22	-0,47 -0,31	1,84	28,16	-0,16
S66/Edge 203	Prvek: 4603	5,438 0,000 0,000	MSÚ-B/18	-0,40 0,10	-0,26 0,24	-0,50 -0,50	0,00	-0,61	-3,53
S66/Edge 203	Prvek: 4603	5,000 0,000	MSÚ-B/14	0,00 0,48	0,00 0,18	-0,39 -0,27	1,80	34,00	-0,12

Jméno	Sít'	Pozice [m]	Stav	$m_{xD+}$ [kNm/m] $m_{xD-}$ [kNm/m]	$m_{yD+}$ [kNm/m] $m_{yD-}$ [kNm/m]	$m_{cD+}$ [kNm/m] $m_{cD-}$ [kNm/m]	$n_{xD}$ [kN/m]	$n_{yD}$ [kN/m]	$n_{cD}$ [kN/m]
		0,000							
S66/Edge 203	Prvek: 4606	6,750 0,000 0,000	MSÚ-B/7	-0,07 0,85	-0,56 0,36	-0,92 -0,92	-19,00	0,00	-175,28
S66/Edge 203	Prvek: 4603	5,000 0,000 0,000	MSÚ-B/10	0,00 0,41	0,00 0,16	-0,34 -0,23	1,64	32,82	-0,10
S66/Edge 204	Prvek: 4611	8,500 0,000 0,000	MSÚ-B/9	-0,35 0,00	-0,09 0,00	-0,09 -0,31	-1,38	0,00	-154,80
S66/Edge 204	Prvek: 4611	8,500 0,000 0,000	MSÚ-B/3	-0,08 0,00	-0,07 0,00	-0,04 -0,07	-3,02	0,00	-217,15
S66/Edge 204	Prvek: 4610	8,063 0,000 0,000	MSÚ-B/9	-0,02 0,03	0,00 0,04	-0,05 -0,05	-4,79	0,00	-148,71
S66/Edge 204	Prvek: 4607	6,750 0,000 0,000	MSÚ-B/7	-0,07 0,85	-0,56 0,36	-0,92 -0,92	-19,00	0,00	-175,28
S66/Edge 204	Prvek: 4607	6,750 0,000 0,000	MSÚ-B/3	-0,33 1,08	-0,79 0,61	-1,40 -1,40	-17,17	0,00	-163,45
S66/Edge 204	Prvek: 4611	8,500 0,000 0,000	MSÚ-B/7	0,00 0,37	-0,06 0,05	-0,31 -0,17	-4,81	0,00	-234,84
S66/Edge 204	Prvek: 4607	6,750 0,000 0,000	MSÚ-B/9	-0,24 0,80	-0,58 0,45	-1,03 -1,03	-11,71	0,00	-117,31
S66/Edge 205	Prvek: 4611	8,500 0,000 0,000	MSÚ-B/19	0,00 0,39	-0,08 0,05	-0,33 -0,20	-4,10	0,00	-219,28
S66/Edge 205	Prvek: 4612	8,500 0,000 0,800	MSÚ-B/10	-0,01 0,00	-0,02 0,00	0,00 -0,02	0,97	0,00	-173,27
S66/Edge 205	Prvek: 4661	8,500 0,000 3,600	MSÚ-B/6	-0,87 0,00	-0,19 0,11	-0,44 -0,73	-6,36	0,00	-216,99
S66/Edge 205	Prvek: 4612	8,500 0,000 0,800	MSÚ-B/20	0,00 0,02	0,00 0,03	-0,03 0,00	0,99	0,00	-178,14
S66/Edge 205	Prvek: 4661	8,500 0,000 3,600	MSÚ-B/7	-0,87 0,00	-0,18 0,10	-0,43 -0,72	-6,54	0,00	-219,61
S66/Edge 205	Prvek: 4660	8,500 0,000 3,200	MSÚ-B/7	-0,01 0,02	0,00 0,15	-0,13 -0,05	3,01	0,00	-218,42
S66/Edge 205	Prvek: 4611	8,500 0,000 0,000	MSÚ-B/7	0,00 0,37	-0,06 0,05	-0,31 -0,17	-4,81	0,00	-234,84
S66/Edge 205	Prvek: 4660	8,500 0,000 3,200	MSÚ-B/9	-0,01 0,02	0,00 0,11	-0,09 -0,04	2,05	0,00	-144,11
S66/Edge 206	Prvek: 4669	5,389 0,000 3,600	MSÚ-B/7	-0,28 0,31	-0,30 0,30	-0,60 -0,60	0,51	12,85	-0,38
S66/Edge 206	Prvek: 4669	5,389 0,000 3,600	MSÚ-B/3	-0,28 0,31	-0,30 0,30	-0,60 -0,60	0,20	0,29	-0,31
S66/Edge 206	Prvek: 4666	6,556 0,000 3,600	MSÚ-B/9	-0,12 0,00	-0,02 0,06	-0,10 -0,11	-5,25	0,00	-83,98
S66/Edge 206	Prvek: 4663	7,722 0,000 3,600	MSÚ-B/6	-0,42 0,18	-0,27 0,33	-0,60 -0,60	-8,18	0,00	-192,70
S66/Edge 206	Prvek: 4669	5,000 0,000	MSÚ-B/3	-1,09 0,00	-0,21 0,11	-0,50 -0,92	1,82	23,24	-0,29

Jméno	Stř	Pozice [m]	Stav	$m_{xD+}$ [kNm/m] $m_{xD-}$ [kNm/m]	$m_{yD+}$ [kNm/m] $m_{yD-}$ [kNm/m]	$m_{cD+}$ [kNm/m] $m_{cD-}$ [kNm/m]	$n_{xD}$ [kN/m]	$n_{yD}$ [kN/m]	$n_{cD}$ [kN/m]
		3,600							
S66/Edge 206	Prvek: 4665	6,944 0,000 3,600	MSÚ-B/7	-0,20 0,00	-0,04 0,10	-0,16 -0,17	-11,06	0,00	-171,58
S66/Edge 206	Prvek: 4669	5,000 0,000 3,600	MSÚ-B/13	-0,84 0,00	-0,16 0,09	-0,38 -0,71	2,37	45,23	-0,27
S66/Edge 206	Prvek: 4661	8,500 0,000 3,600	MSÚ-B/7	-0,87 0,00	-0,18 0,10	-0,43 -0,72	-6,54	0,00	-219,61
S66/Edge 206	Prvek: 4669	5,000 0,000 3,600	MSÚ-B/9	-0,76 0,00	-0,15 0,07	-0,35 -0,64	1,51	18,19	-0,19
S66/Edge 207	Prvek: 4617	5,000 0,000 0,400	MSÚ-B/3	-0,04 0,01	-0,26 0,00	-0,09 -0,22	0,00	11,56	-1,17
S66/Edge 207	Prvek: 4603	5,000 0,000 0,000	MSÚ-B/3	0,00 0,81	0,00 0,28	-0,68 -0,41	1,18	9,36	-0,23
S66/Edge 207	Prvek: 4603	5,000 0,000 0,000	MSÚ-B/8	0,00 0,84	0,00 0,27	-0,70 -0,41	0,84	8,82	-0,20
S66/Edge 207	Prvek: 4616	5,000 0,000 0,800	MSÚ-B/11	-0,04 0,00	-0,08 0,00	-0,01 -0,08	0,00	10,23	-0,16
S66/Edge 207	Prvek: 4669	5,000 0,000 3,600	MSÚ-B/3	-1,09 0,00	-0,21 0,11	-0,50 -0,92	1,82	23,24	-0,29
S66/Edge 207	Prvek: 4673	5,000 0,000 1,600	MSÚ-B/9	-0,02 0,01	-0,04 0,00	-0,03 -0,03	0,00	11,42	-0,17
S66/Edge 207	Prvek: 4603	5,000 0,000 0,000	MSÚ-B/4	0,00 0,66	0,00 0,23	-0,55 -0,33	0,81	5,38	-0,19
S66/Edge 207	Prvek: 4669	5,000 0,000 3,600	MSÚ-B/13	-0,84 0,00	-0,16 0,09	-0,38 -0,71	2,37	45,23	-0,27
S66/Edge 207	Prvek: 4669	5,000 0,000 3,200	MSÚ-B/6	-0,05 0,02	0,00 0,19	-0,16 -0,11	0,00	36,76	-1,51
S66/Edge 207	Prvek: 4603	5,000 0,000 0,000	MSÚ-B/10	0,00 0,41	0,00 0,16	-0,34 -0,23	1,64	32,82	-0,10
S67/Edge 208	Prvek: 4682	13,540 0,000 0,000	MSÚ-B/7	-1,41 1,12	-1,07 1,46	-2,53 -2,53	-10,13	0,00	-49,95
S67/Edge 208	Prvek: 4680	12,400 0,000 0,000	MSÚ-B/10	0,00 0,61	-0,02 0,17	-0,51 -0,29	-3,13	0,00	-37,23
S67/Edge 208	Prvek: 4684	14,300 0,000 0,000	MSÚ-B/7	-0,44 2,12	-1,24 1,33	-2,57 -2,57	9,10	0,00	-108,09
S67/Edge 208	Prvek: 4680	12,780 0,000 0,000	MSÚ-B/5	-0,19 0,00	-0,06 0,04	-0,13 -0,16	-2,23	0,00	-17,04
S67/Edge 208	Prvek: 4683	13,920 0,000 0,000	MSÚ-B/7	-1,35 1,62	-1,18 1,79	-2,97 -2,97	-12,83	0,00	-73,00
S67/Edge 208	Prvek: 4680	12,400 0,000 0,000	MSÚ-B/19	-0,03 0,00	0,00 0,06	-0,06 -0,03	-3,81	0,00	-56,14
S67/Edge 208	Prvek: 4683	13,920 0,000 0,000	MSÚ-B/19	-1,17 1,34	-0,99 1,53	-2,52 -2,52	-13,14	0,00	-77,33
S67/Edge 208	Prvek: 4684	14,300 0,000	MSÚ-B/13	-0,17 1,77	-0,92 1,01	-1,94 -1,94	12,65	0,00	-93,21

Jméno	Stř	Pozice [m]	Stav	$m_{xD+}$ [kNm/m] $m_{xD-}$ [kNm/m]	$m_{yD+}$ [kNm/m] $m_{yD-}$ [kNm/m]	$m_{cD+}$ [kNm/m] $m_{cD-}$ [kNm/m]	$n_{xD}$ [kN/m]	$n_{yD}$ [kN/m]	$n_{cD}$ [kN/m]
		0,000							
S67/Edge 208	Prvek: 4684	14,300 0,000 0,000	MSÚ-B/3	-0,25 1,81	-1,03 1,03	-2,06 -2,06	7,48	0,00	-115,74
S67/Edge 208	Prvek: 4680	12,780 0,000 0,000	MSÚ-B/15	-0,48 0,15	-0,30 0,32	-0,63 -0,63	-2,16	0,00	-9,46
S67/Edge 209	Prvek: 4685	14,600 0,000 0,000	MSÚ-B/9	0,00 0,77	-0,08 0,01	-0,69 -0,16	-2,65	0,00	-112,20
S67/Edge 209	Prvek: 4685	14,600 0,000 0,000	MSÚ-B/11	0,00 0,81	-0,24 0,11	-0,67 -0,49	-4,09	0,00	-101,51
S67/Edge 209	Prvek: 4685	14,600 0,000 0,000	MSÚ-B/19	0,00 1,11	-0,34 0,15	-0,92 -0,68	-5,98	0,00	-140,82
S67/Edge 209	Prvek: 4685	14,300 0,000 0,000	MSÚ-B/13	-0,17 1,77	-0,92 1,01	-1,94 -1,94	12,65	0,00	-93,21
S67/Edge 209	Prvek: 4685	14,300 0,000 0,000	MSÚ-B/7	-0,44 2,12	-1,24 1,33	-2,57 -2,57	9,10	0,00	-108,09
S67/Edge 209	Prvek: 4685	14,600 0,000 0,000	MSÚ-B/3	0,00 1,08	-0,21 0,08	-0,91 -0,46	-4,97	0,00	-148,30
S67/Edge 209	Prvek: 4685	14,300 0,000 0,000	MSÚ-B/10	-0,34 1,74	-1,01 1,07	-2,08 -2,08	9,39	0,00	-75,26
S67/Edge 210	Prvek: 4686	14,600 0,000 0,000	MSÚ-B/9	0,00 0,77	-0,08 0,01	-0,69 -0,16	-2,65	0,00	-112,20
S67/Edge 210	Prvek: 4686	14,600 0,000 0,000	MSÚ-B/11	0,00 0,81	-0,24 0,11	-0,67 -0,49	-4,09	0,00	-101,51
S67/Edge 210	Prvek: 4686	14,600 0,000 0,000	MSÚ-B/7	0,00 1,26	-0,37 0,19	-1,04 -0,77	-4,20	0,00	-139,32
S67/Edge 210	Prvek: 4686	14,800 0,000 0,000	MSÚ-B/6	0,00 1,85	-0,24 0,00	-1,73 -0,36	-18,00	0,00	-143,59
S67/Edge 210	Prvek: 4686	14,600 0,000 0,000	MSÚ-B/15	0,00 1,07	-0,16 0,11	-0,91 -0,43	-0,15	0,00	-110,23
S67/Edge 210	Prvek: 4686	14,600 0,000 0,000	MSÚ-B/3	0,00 1,08	-0,21 0,08	-0,91 -0,46	-4,97	0,00	-148,30
S67/Edge 210	Prvek: 4686	14,800 0,000 0,000	MSÚ-B/10	0,00 1,37	-0,17 0,00	-1,26 -0,28	-12,89	0,00	-95,27
S67/Edge 211	Prvek: 4686	14,800 0,000 0,000	MSÚ-B/21	0,00 1,80	-0,25 0,00	-1,72 -0,33	-16,78	0,00	-125,19
S67/Edge 211	Prvek: 4686	14,800 0,000 0,400	MSÚ-B/7	0,00 0,45	0,00 0,61	-0,52 -0,47	-0,71	0,00	-122,84
S67/Edge 211	Prvek: 4715	14,800 0,000 2,400	MSÚ-B/9	-0,01 0,01	0,00 0,01	-0,01 -0,01	1,17	0,00	-97,32
S67/Edge 211	Prvek: 4718	14,800 0,000 3,600	MSÚ-B/19	-1,01 0,00	-0,24 0,00	-0,38 -0,87	-0,10	0,00	-117,17
S67/Edge 211	Prvek: 4716	14,800 0,000 2,800	MSÚ-B/2	0,00 0,03	0,00 0,03	-0,03 0,00	1,24	0,00	-93,18
S67/Edge 211	Prvek: 4687	14,800 0,000	MSÚ-B/6	-0,06 0,02	0,00 0,26	-0,22 -0,11	5,08	0,00	-131,74

Jméno	Sít'	Pozice [m]	Stav	$m_{xD+}$ [kNm/m] $m_{xD-}$ [kNm/m]	$m_{yD+}$ [kNm/m] $m_{yD-}$ [kNm/m]	$m_{cD+}$ [kNm/m] $m_{cD-}$ [kNm/m]	$n_{xD}$ [kN/m]	$n_{yD}$ [kN/m]	$n_{cD}$ [kN/m]
		0,800							
S67/Edge 211	Prvek: 4686	14,800 0,000 0,000	MSÚ-B/6	0,00 1,85	-0,24 0,00	-1,73 -0,36	-18,00	0,00	-143,59
S67/Edge 211	Prvek: 4686	14,800 0,000 0,000	MSÚ-B/3	0,00 1,63	-0,20 0,00	-1,52 -0,31	-16,82	0,00	-146,85
S67/Edge 211	Prvek: 4718	14,800 0,000 3,600	MSÚ-B/10	-0,60 0,00	-0,13 0,00	-0,19 -0,53	0,41	0,00	-78,41
S67/Edge 212	Prvek: 4718	14,800 0,000 3,600	MSÚ-B/19	-1,01 0,00	-0,24 0,00	-0,38 -0,87	-0,10	0,00	-117,17
S67/Edge 212	Prvek: 4722	13,200 0,000 3,600	MSÚ-B/22	-0,01 0,00	0,00 0,00	0,00 -0,01	0,18	0,00	-33,64
S67/Edge 212	Prvek: 4719	14,400 0,000 3,600	MSÚ-B/3	-0,19 0,16	-0,17 0,18	-0,35 -0,35	-3,07	0,00	-106,48
S67/Edge 212	Prvek: 4723	12,800 0,000 3,600	MSÚ-B/13	-0,04 0,07	-0,05 0,06	-0,11 -0,11	1,28	0,00	-5,76
S67/Edge 212	Prvek: 4718	14,800 0,000 3,600	MSÚ-B/3	-1,01 0,00	-0,23 0,01	-0,39 -0,86	-0,29	0,00	-124,68
S67/Edge 212	Prvek: 4723	12,800 0,000 3,600	MSÚ-B/15	-0,04 0,06	-0,05 0,05	-0,10 -0,10	1,23	0,00	-2,38
S67/Edge 213	Prvek: 4680	12,400 0,000 0,000	MSÚ-B/5	-0,30 0,00	-0,01 0,07	-0,13 -0,26	-2,11	0,00	-19,98
S67/Edge 213	Prvek: 4692	12,400 0,000 0,400	MSÚ-B/7	-0,13 0,00	-0,36 0,00	-0,17 -0,31	0,97	0,00	-53,10
S67/Edge 213	Prvek: 4680	12,400 0,000 0,000	MSÚ-B/14	0,00 0,61	-0,01 0,18	-0,51 -0,29	-3,53	0,00	-43,03
S67/Edge 213	Prvek: 4728	12,400 0,000 1,200	MSÚ-B/13	0,00 0,00	-0,07 0,00	0,00 -0,06	-0,22	0,00	-16,04
S67/Edge 213	Prvek: 4692	12,400 0,000 0,400	MSÚ-B/14	-0,10 0,00	-0,36 0,00	-0,13 -0,31	0,81	0,00	-41,63
S67/Edge 213	Prvek: 4723	12,400 0,000 3,200	MSÚ-B/20	-0,01 0,00	0,00 0,00	-0,01 -0,01	-0,79	0,00	-15,46
S67/Edge 213	Prvek: 4680	12,400 0,000 0,000	MSÚ-B/7	0,00 0,40	0,00 0,15	-0,33 -0,20	-4,10	0,00	-54,68
S67/Edge 213	Prvek: 4680	12,400 0,000 0,000	MSÚ-B/19	-0,03 0,00	0,00 0,06	-0,06 -0,03	-3,81	0,00	-56,14
S67/Edge 213	Prvek: 4723	12,400 0,000 3,600	MSÚ-B/15	-0,03 0,05	-0,05 0,03	-0,08 -0,08	0,03	0,00	-3,94
S68/Edge 214	Prvek: 4729	16,533 0,000 0,000	MSÚ-B/13	-0,77 0,80	-0,81 0,76	-1,58 -1,58	-3,82	0,00	-82,81
S68/Edge 214	Prvek: 4731	17,400 0,000 0,000	MSÚ-B/10	0,00 2,20	-0,04 0,46	-1,88 -0,81	2,14	0,00	-90,41
S68/Edge 214	Prvek: 4729	16,100 0,000 0,000	MSÚ-B/11	-1,45 0,00	-0,39 0,09	-0,72 -1,21	-3,00	0,00	-72,00
S68/Edge 214	Prvek: 4731	17,400 0,000	MSÚ-B/13	0,00 2,72	-0,07 0,60	-2,32 -1,07	2,40	0,00	-115,52

Jméno	Síť	Pozice [m]	Stav	$m_{xD+}$ [kNm/m] $m_{xD-}$ [kNm/m]	$m_{yD+}$ [kNm/m] $m_{yD-}$ [kNm/m]	$m_{cD+}$ [kNm/m] $m_{cD-}$ [kNm/m]	$n_{xD}$ [kN/m]	$n_{yD}$ [kN/m]	$n_{cD}$ [kN/m]
		0,000							
S68/Edge 214	Prvek: 4730	16,967 0,000 0,000	MSÚ-B/2	-0,29 0,02	-0,10 0,21	-0,31 -0,31	-2,17	0,00	-84,00
S68/Edge 214	Prvek: 4729	16,100 0,000 0,000	MSÚ-B/6	-2,81 0,00	-0,76 0,14	-1,36 -2,35	-4,54	0,00	-101,07
S68/Edge 214	Prvek: 4731	17,400 0,000 0,000	MSÚ-B/23	0,00 2,43	-0,10 0,50	-2,07 -0,96	2,59	0,00	-129,60
S68/Edge 214	Prvek: 4729	16,100 0,000 0,000	MSÚ-B/21	-2,88 0,00	-0,78 0,13	-1,38 -2,41	-4,11	0,00	-86,75
S68/Edge 214	Prvek: 4731	17,400 0,000 0,000	MSÚ-B/6	0,00 2,39	-0,10 0,50	-2,03 -0,96	2,58	0,00	-133,04
S68/Edge 214	Prvek: 4729	16,100 0,000 0,000	MSÚ-B/10	-2,11 0,00	-0,57 0,09	-1,00 -1,76	-3,31	0,00	-61,58
S68/Edge 215	Prvek: 4752	17,400 0,000 3,200	MSÚ-B/3	-0,16 0,00	0,00 0,63	-0,63 -0,16	0,36	0,00	-121,02
S68/Edge 215	Prvek: 4734	17,400 0,000 0,800	MSÚ-B/11	-0,05 0,00	-0,07 0,00	-0,03 -0,06	0,38	0,00	-88,44
S68/Edge 215	Prvek: 4755	17,400 0,000 3,600	MSÚ-B/3	-4,00 0,00	-1,06 0,02	-1,69 -3,38	-2,04	0,00	-119,99
S68/Edge 215	Prvek: 4737	17,400 0,000 1,200	MSÚ-B/10	-0,02 0,02	-0,04 0,00	-0,04 -0,04	0,10	0,00	-88,98
S68/Edge 215	Prvek: 4755	17,400 0,000 3,600	MSÚ-B/6	-3,92 0,00	-1,01 0,04	-1,65 -3,31	-2,25	0,00	-122,17
S68/Edge 215	Prvek: 4731	17,400 0,000 0,000	MSÚ-B/23	0,00 2,43	-0,10 0,50	-2,07 -0,96	2,59	0,00	-129,60
S68/Edge 215	Prvek: 4731	17,400 0,000 0,000	MSÚ-B/13	0,00 2,72	-0,07 0,60	-2,32 -1,07	2,40	0,00	-115,52
S68/Edge 215	Prvek: 4731	17,400 0,000 0,400	MSÚ-B/6	0,00 0,06	-0,33 0,00	-0,07 -0,32	-1,26	0,00	-133,66
S68/Edge 215	Prvek: 4755	17,400 0,000 3,600	MSÚ-B/11	-2,76 0,00	-0,73 0,00	-1,16 -2,33	-1,35	0,00	-80,83
S68/Edge 216	Prvek: 4753	16,100 0,000 3,600	MSÚ-B/11	0,00 1,54	0,00 0,46	-1,29 -0,72	-2,01	0,00	-61,64
S68/Edge 216	Prvek: 4755	17,400 0,000 3,600	MSÚ-B/11	-2,76 0,00	-0,73 0,00	-1,16 -2,33	-1,35	0,00	-80,83
S68/Edge 216	Prvek: 4754	16,967 0,000 3,600	MSÚ-B/3	-0,91 1,31	-1,16 1,06	-2,22 -2,22	-1,43	0,00	-102,59
S68/Edge 216	Prvek: 4755	17,400 0,000 3,600	MSÚ-B/10	-2,62 0,00	-0,70 0,01	-1,12 -2,21	-1,59	0,00	-82,50
S68/Edge 216	Prvek: 4755	17,400 0,000 3,600	MSÚ-B/3	-4,00 0,00	-1,06 0,02	-1,69 -3,38	-2,04	0,00	-119,99
S68/Edge 216	Prvek: 4753	16,100 0,000 3,600	MSÚ-B/15	0,00 1,45	-0,05 0,41	-1,21 -0,70	-1,99	0,00	-62,04
S68/Edge 216	Prvek: 4753	16,100 0,000	MSÚ-B/3	0,00 2,23	-0,01 0,67	-1,87 -1,05	-3,09	0,00	-93,95



Jméno	Sít'	Pozice [m]	Stav	$m_{xD+}$ [kNm/m] $m_{xD-}$ [kNm/m]	$m_{yD+}$ [kNm/m] $m_{yD-}$ [kNm/m]	$m_{cD+}$ [kNm/m] $m_{cD-}$ [kNm/m]	$n_{xD}$ [kN/m]	$n_{yD}$ [kN/m]	$n_{cD}$ [kN/m]
		3,600							
S68/Edge 216	Prvek: 4753	16,533 0,000 3,600	MSÚ-B/10	-0,79 0,38	-0,52 0,65	-1,17 -1,17	-0,37	0,00	-52,86
S68/Edge 216	Prvek: 4753	16,100 0,000 3,600	MSÚ-B/19	0,00 2,23	0,00 0,67	-1,87 -1,04	-2,83	0,00	-86,51
S68/Edge 216	Prvek: 4755	17,400 0,000 3,600	MSÚ-B/6	-3,92 0,00	-1,01 0,04	-1,65 -3,31	-2,25	0,00	-122,17
S68/Edge 216	Prvek: 4753	16,100 0,000 3,600	MSÚ-B/10	0,00 1,45	-0,02 0,44	-1,21 -0,71	-1,59	0,00	-50,76
S68/Edge 217	Prvek: 4729	16,100 0,000 0,000	MSÚ-B/13	-2,88 0,00	-0,79 0,12	-1,38 -2,40	-4,03	0,00	-83,49
S68/Edge 217	Prvek: 4753	16,100 0,000 3,600	MSÚ-B/3	0,00 2,23	-0,01 0,67	-1,87 -1,05	-3,09	0,00	-93,95
S68/Edge 217	Prvek: 4729	16,100 0,000 0,000	MSÚ-B/21	-2,88 0,00	-0,78 0,13	-1,38 -2,41	-4,11	0,00	-86,75
S68/Edge 217	Prvek: 4747	16,100 0,000 2,400	MSÚ-B/11	-0,02 0,01	-0,04 0,00	-0,03 -0,03	-0,14	0,00	-64,16
S68/Edge 217	Prvek: 4729	16,100 0,000 0,000	MSÚ-B/6	-2,81 0,00	-0,76 0,14	-1,36 -2,35	-4,54	0,00	-101,07
S68/Edge 217	Prvek: 4735	16,100 0,000 0,800	MSÚ-B/3	0,00 0,15	0,00 0,15	-0,14 -0,13	1,00	0,00	-102,50
S68/Edge 217	Prvek: 4753	16,100 0,000 3,600	MSÚ-B/19	0,00 2,23	0,00 0,67	-1,87 -1,04	-2,83	0,00	-86,51
S68/Edge 217	Prvek: 4729	16,100 0,000 0,000	MSÚ-B/3	-2,36 0,00	-0,63 0,14	-1,16 -1,97	-4,34	0,00	-107,94
S68/Edge 217	Prvek: 4753	16,100 0,000 3,600	MSÚ-B/10	0,00 1,45	-0,02 0,44	-1,21 -0,71	-1,59	0,00	-50,76
S69/Edge 218	Prvek: 4756	18,700 0,000 0,000	MSÚ-B/15	-1,19 0,00	-0,23 0,01	-0,39 -1,03	-1,01	0,00	-56,61
S69/Edge 218	Prvek: 4756	19,050 0,000 0,000	MSÚ-B/4	-0,04 0,00	-0,10 0,00	0,00 -0,10	-0,70	0,00	-31,07
S69/Edge 218	Prvek: 4757	19,400 0,000 0,000	MSÚ-B/1	-1,47 0,00	-2,52 0,00	-1,32 -2,10	-0,78	0,00	-27,09
S69/Edge 218	Prvek: 4756	19,050 0,000 0,000	MSÚ-B/5	-0,06 0,00	-0,12 0,00	-0,04 -0,10	-0,70	0,00	-29,94
S69/Edge 218	Prvek: 4756	18,700 0,000 0,000	MSÚ-B/3	-0,99 0,00	-0,21 0,00	-0,26 -0,88	-1,35	0,00	-69,38
S69/Edge 218	Prvek: 4756	18,700 0,000 0,000	MSÚ-B/6	-1,29 0,00	-0,27 0,00	-0,41 -1,13	-1,28	0,00	-73,53
S69/Edge 218	Prvek: 4757	19,400 0,000 0,000	MSÚ-B/5	-0,71 0,00	-1,12 0,00	-0,59 -0,93	-0,39	0,00	-8,60
S69/Edge 219	Prvek: 4771	19,400 0,000 3,200	MSÚ-B/3	-0,09 0,43	-0,03 0,49	-0,53 -0,53	0,01	0,00	-5,11
S69/Edge 219	Prvek: 4771	19,400 0,000	MSÚ-B/12	-0,04 0,40	0,00 0,50	-0,48 -0,47	-0,03	0,00	-2,59

Jméno	Sít'	Pozice [m]	Stav	$m_{xD+}$ [kNm/m] $m_{xD-}$ [kNm/m]	$m_{yD+}$ [kNm/m] $m_{yD-}$ [kNm/m]	$m_{cD+}$ [kNm/m] $m_{cD-}$ [kNm/m]	$n_{xD}$ [kN/m]	$n_{yD}$ [kN/m]	$n_{cD}$ [kN/m]
		3,200							
S69/Edge 219	Prvek: 4761	19,400 0,000 1,200	MSÚ-B/23	-0,05 0,00	-0,25 0,00	0,00 -0,25	0,14	0,00	-18,47
S69/Edge 219	Prvek: 4765	19,400 0,000 2,000	MSÚ-B/5	0,00 0,05	-0,06 0,00	-0,05 -0,06	-0,01	0,00	-3,45
S69/Edge 219	Prvek: 4773	19,400 0,000 3,600	MSÚ-B/14	-0,24 0,07	-1,81 0,00	-0,54 -1,59	-0,96	0,00	-15,74
S69/Edge 219	Prvek: 4759	19,400 0,000 0,800	MSÚ-B/1	-0,16 0,00	-0,38 0,00	-0,03 -0,37	0,49	0,00	-25,17
S69/Edge 219	Prvek: 4773	19,400 0,000 3,600	MSÚ-B/9	0,00 0,31	-0,69 0,00	-0,31 -0,69	0,00	-0,27	-0,30
S69/Edge 219	Prvek: 4757	19,400 0,000 0,000	MSÚ-B/1	-1,47 0,00	-2,52 0,00	-1,32 -2,10	-0,78	0,00	-27,09
S69/Edge 219	Prvek: 4773	19,400 0,000 3,600	MSÚ-B/5	0,00 0,36	-0,69 0,00	-0,36 -0,69	0,00	0,66	-0,26
S69/Edge 220	Prvek: 4772	19,050 0,000 3,600	MSÚ-B/7	-0,28 1,66	-1,26 0,68	-1,94 -1,94	-1,27	0,00	-36,55
S69/Edge 220	Prvek: 4773	19,400 0,000 3,600	MSÚ-B/1	-0,14 0,15	-1,89 0,00	-0,50 -1,67	-0,95	0,00	-14,84
S69/Edge 220	Prvek: 4772	18,700 0,000 3,600	MSÚ-B/15	0,00 2,41	-0,34 0,30	-2,04 -1,02	-2,09	0,00	-48,94
S69/Edge 220	Prvek: 4773	19,400 0,000 3,600	MSÚ-B/10	-0,25 0,04	-1,64 0,00	-0,50 -1,44	-0,89	0,00	-14,71
S69/Edge 220	Prvek: 4772	19,050 0,000 3,600	MSÚ-B/3	-0,26 1,70	-1,21 0,75	-1,96 -1,96	-1,06	0,00	-29,40
S69/Edge 220	Prvek: 4772	18,700 0,000 3,600	MSÚ-B/3	0,00 3,66	-0,53 0,52	-3,08 -1,63	-2,52	0,00	-58,56
S69/Edge 220	Prvek: 4773	19,400 0,000 3,600	MSÚ-B/11	0,00 0,19	-1,09 0,00	-0,25 -1,03	-0,50	0,00	-7,00
S69/Edge 220	Prvek: 4772	19,050 0,000 3,600	MSÚ-B/19	-0,27 1,70	-1,24 0,73	-1,97 -1,97	-1,12	0,00	-31,93
S69/Edge 220	Prvek: 4773	19,400 0,000 3,600	MSÚ-B/9	0,00 0,31	-0,69 0,00	-0,31 -0,69	0,00	-0,27	-0,30
S69/Edge 220	Prvek: 4772	18,700 0,000 3,600	MSÚ-B/6	0,00 3,56	-0,51 0,48	-3,00 -1,55	-2,69	0,00	-63,07
S69/Edge 220	Prvek: 4773	19,400 0,000 3,600	MSÚ-B/5	0,00 0,36	-0,69 0,00	-0,36 -0,69	0,00	0,66	-0,26
S69/Edge 221	Prvek: 4756	18,700 0,000 0,000	MSÚ-B/13	-1,29 0,00	-0,25 0,00	-0,42 -1,12	-1,14	0,00	-64,08
S69/Edge 221	Prvek: 4772	18,700 0,000 3,200	MSÚ-B/7	0,00 0,28	-0,87 0,00	-0,34 -0,80	0,83	0,00	-62,89
S69/Edge 221	Prvek: 4764	18,700 0,000 1,600	MSÚ-B/17	0,00 0,00	-0,26 0,00	0,00 -0,26	0,11	0,00	-53,22
S69/Edge 221	Prvek: 4768	18,700 0,000	MSÚ-B/5	-0,01 0,03	-0,06 0,00	-0,05 -0,05	0,14	0,00	-44,99

Jméno	Sít'	Pozice [m]	Stav	m <sub>x</sub> D+ [kNm/m] m <sub>x</sub> D- [kNm/m]	m <sub>y</sub> D+ [kNm/m] m <sub>y</sub> D- [kNm/m]	m <sub>c</sub> D+ [kNm/m] m <sub>c</sub> D- [kNm/m]	n <sub>x</sub> D [kN/m]	n <sub>y</sub> D [kN/m]	n <sub>c</sub> D [kN/m]
		2,400							
S69/Edge 221	Prvek: 4772	18,700 0,000 3,600	MSÚ-B/6	0,00 3,56	-0,51 0,48	-3,00 -1,55	-2,69	0,00	-63,07
S69/Edge 221	Prvek: 4772	18,700 0,000 3,200	MSÚ-B/6	0,00 0,26	-0,81 0,00	-0,34 -0,74	0,86	0,00	-62,90
S69/Edge 221	Prvek: 4772	18,700 0,000 3,600	MSÚ-B/3	0,00 3,66	-0,53 0,52	-3,08 -1,63	-2,52	0,00	-58,56
S69/Edge 221	Prvek: 4756	18,700 0,000 0,000	MSÚ-B/6	-1,29 0,00	-0,27 0,00	-0,41 -1,13	-1,28	0,00	-73,53
S69/Edge 221	Prvek: 4772	18,700 0,000 3,200	MSÚ-B/9	0,00 0,18	-0,52 0,00	-0,25 -0,45	0,60	0,00	-42,42
S70/Edge 222	Prvek: 4777	19,400 1,625 0,000	MSÚ-B/6	-0,59 0,65	-0,62 0,62	-1,25 -1,25	-4,76	0,00	-61,99
S70/Edge 222	Prvek: 4774	19,400 0,406 0,000	MSÚ-B/9	0,00 0,23	0,00 0,01	-0,23 0,00	-3,86	0,00	-19,25
S70/Edge 222	Prvek: 4774	19,400 0,406 0,000	MSÚ-B/14	0,00 0,32	0,00 0,05	-0,32 0,00	-5,45	0,00	-31,99
S70/Edge 222	Prvek: 4775	19,400 0,813 0,000	MSÚ-B/7	-0,30 0,62	-0,52 0,40	-0,92 -0,92	-6,07	0,00	-43,49
S70/Edge 222	Prvek: 4781	19,400 3,250 0,000	MSÚ-B/9	0,00 0,53	-0,06 0,20	-0,44 -0,35	0,39	0,00	-74,51
S70/Edge 222	Prvek: 4774	19,400 0,000 0,000	MSÚ-B/1	0,00 1,18	0,00 2,19	-1,81 -1,25	-5,94	0,00	-29,54
S70/Edge 222	Prvek: 4781	19,400 3,250 0,000	MSÚ-B/3	0,00 0,60	-0,10 0,24	-0,51 -0,43	-0,11	0,00	-97,64
S70/Edge 222	Prvek: 4774	19,400 0,000 0,000	MSÚ-B/5	0,00 0,56	0,00 1,07	-0,89 -0,65	-3,05	0,00	-10,48
S70/Edge 223	Prvek: 4781	19,400 3,250 0,400	MSÚ-B/11	0,00 0,01	-0,10 0,00	-0,02 -0,09	0,50	0,00	-63,99
S70/Edge 223	Prvek: 4845	19,400 3,250 3,600	MSÚ-B/19	-2,43 0,00	-0,68 0,19	-1,29 -2,02	-1,89	0,00	-79,05
S70/Edge 223	Prvek: 4837	19,400 3,250 3,200	MSÚ-B/18	0,00 0,03	0,00 0,49	-0,49 0,00	0,80	0,00	-61,45
S70/Edge 223	Prvek: 4845	19,400 3,250 3,600	MSÚ-B/3	-2,42 0,00	-0,68 0,19	-1,28 -2,01	-2,21	0,00	-86,22
S70/Edge 223	Prvek: 4837	19,400 3,250 3,200	MSÚ-B/3	0,00 0,05	0,00 0,61	-0,59 -0,04	1,28	0,00	-86,52
S70/Edge 223	Prvek: 4781	19,400 3,250 0,000	MSÚ-B/13	0,00 0,88	-0,11 0,29	-0,73 -0,54	0,31	0,00	-76,93
S70/Edge 223	Prvek: 4781	19,400 3,250 0,000	MSÚ-B/3	0,00 0,60	-0,10 0,24	-0,51 -0,43	-0,11	0,00	-97,64
S70/Edge 223	Prvek: 4845	19,400 3,250 3,600	MSÚ-B/10	-1,62 0,00	-0,44 0,18	-0,89 -1,34	-0,92	0,00	-49,41
S70/Edge 224	Prvek: 4838	19,400 0,406	MSÚ-B/19	-2,94 0,99	-1,62 2,32	-3,93 -3,93	-1,98	0,00	-19,44

Jméno	Sít'	Pozice [m]	Stav	$m_{xD+}$ [kNm/m] $m_{xD-}$ [kNm/m]	$m_{yD+}$ [kNm/m] $m_{yD-}$ [kNm/m]	$m_{cD+}$ [kNm/m] $m_{cD-}$ [kNm/m]	$n_{xD}$ [kN/m]	$n_{yD}$ [kN/m]	$n_{cD}$ [kN/m]
S70/Edge 224	Prvek: 4844	3,600 19,400 2,844 3,600	MSÚ-B/15	-0,61 0,92	-0,77 0,76	-1,53 -1,53	-2,06	0,00	-55,76
S70/Edge 224	Prvek: 4845	19,400 3,250 3,600	MSÚ-B/9	-1,67 0,00	-0,47 0,13	-0,88 -1,39	-1,80	0,00	-66,51
S70/Edge 224	Prvek: 4838	19,400 0,406 3,600	MSÚ-B/7	-2,94 1,04	-1,63 2,35	-3,98 -3,98	-2,26	0,00	-22,87
S70/Edge 224	Prvek: 4845	19,400 3,250 3,600	MSÚ-B/15	-1,59 0,00	-0,46 0,14	-0,87 -1,32	-1,43	0,00	-58,97
S70/Edge 224	Prvek: 4840	19,400 1,219 3,600	MSÚ-B/19	-2,29 2,40	-2,35 2,34	-4,70 -4,70	-2,91	0,00	-38,22
S70/Edge 224	Prvek: 4838	19,400 0,000 3,600	MSÚ-B/10	-0,62 0,00	0,00 1,47	-1,46 -0,63	-1,48	0,00	-14,16
S70/Edge 224	Prvek: 4841	19,400 1,625 3,600	MSÚ-B/6	-2,15 2,33	-2,26 2,22	-4,48 -4,48	-3,10	0,00	-48,82
S70/Edge 224	Prvek: 4838	19,400 0,000 3,600	MSÚ-B/5	-0,88 0,00	0,00 0,99	-0,99 -0,88	0,21	1,45	-0,06
S70/Edge 224	Prvek: 4845	19,400 3,250 3,600	MSÚ-B/3	-2,42 0,00	-0,68 0,19	-1,28 -2,01	-2,21	0,00	-86,22
S70/Edge 224	Prvek: 4838	19,400 0,000 3,600	MSÚ-B/9	-0,80 0,00	0,00 0,96	-0,96 -0,80	0,06	0,49	-0,06
S70/Edge 225	Prvek: 4838	19,400 0,000 3,200	MSÚ-B/3	-0,27 0,00	-0,69 0,00	-0,33 -0,57	0,18	0,00	-5,27
S70/Edge 225	Prvek: 4814	19,400 0,000 2,000	MSÚ-B/5	-0,05 0,00	-0,01 0,00	0,00 -0,05	-0,16	0,00	-5,12
S70/Edge 225	Prvek: 4790	19,400 0,000 0,800	MSÚ-B/5	0,00 0,08	0,00 0,14	-0,14 0,00	0,02	0,00	-8,07
S70/Edge 225	Prvek: 4782	19,400 0,000 0,400	MSÚ-B/1	0,00 0,30	0,00 0,81	-0,78 -0,07	1,43	0,00	-26,11
S70/Edge 225	Prvek: 4838	19,400 0,000 3,600	MSÚ-B/3	-1,10 0,00	0,00 1,46	-1,45 -1,10	-0,28	0,00	-2,79
S70/Edge 225	Prvek: 4838	19,400 0,000 3,600	MSÚ-B/5	-0,88 0,00	0,00 0,99	-0,99 -0,88	0,21	1,45	-0,06
S70/Edge 225	Prvek: 4774	19,400 0,000 0,000	MSÚ-B/1	0,00 1,18	0,00 2,19	-1,81 -1,25	-5,94	0,00	-29,54
S70/Edge 225	Prvek: 4838	19,400 0,000 3,600	MSÚ-B/9	-0,80 0,00	0,00 0,96	-0,96 -0,80	0,06	0,49	-0,06
S71/Edge 226	Prvek: 4849	19,400 5,950 0,000	MSÚ-B/18	-0,16 0,00	-0,06 0,00	-0,02 -0,15	-1,94	0,00	-98,48
S71/Edge 226	Prvek: 4846	19,400 4,900 0,000	MSÚ-B/14	-0,11 0,09	-0,12 0,08	-0,21 -0,21	-1,41	0,00	-88,96
S71/Edge 226	Prvek: 4848	19,400 5,600 0,000	MSÚ-B/11	0,00 0,01	0,00 0,01	-0,01 0,00	-1,47	0,00	-78,74
S71/Edge 226	Prvek: 4846	19,400 4,550	MSÚ-B/10	0,00 0,15	0,00 0,04	-0,13 -0,06	0,47	0,00	-73,04

Jméno	Sít'	Pozice [m]	Stav	$m_{xD+}$ [kNm/m] $m_{xD-}$ [kNm/m]	$m_{yD+}$ [kNm/m] $m_{yD-}$ [kNm/m]	$m_{cD+}$ [kNm/m] $m_{cD-}$ [kNm/m]	$n_{xD}$ [kN/m]	$n_{yD}$ [kN/m]	$n_{cD}$ [kN/m]
		0,000							
S71/Edge 226	Prvek: 4849	19,400 5,950 0,000	MSÚ-B/7	-0,13 0,00	-0,07 0,00	-0,03 -0,12	-2,18	0,00	-114,42
S71/Edge 226	Prvek: 4846	19,400 4,550 0,000	MSÚ-B/9	-0,09 0,00	-0,02 0,00	-0,01 -0,08	-1,32	0,00	-64,17
S71/Edge 227	Prvek: 4849	19,400 5,950 0,000	MSÚ-B/5	0,00 0,06	-0,04 0,00	-0,06 -0,04	-1,28	0,00	-80,10
S71/Edge 227	Prvek: 4877	19,400 5,950 3,200	MSÚ-B/19	-0,02 0,00	0,00 0,15	-0,15 -0,02	0,81	0,00	-100,75
S71/Edge 227	Prvek: 4869	19,400 5,950 2,400	MSÚ-B/9	0,00 0,01	0,00 0,02	-0,01 -0,01	0,37	0,00	-69,66
S71/Edge 227	Prvek: 4881	19,400 5,950 3,600	MSÚ-B/19	-0,25 0,00	-0,01 0,04	-0,07 -0,22	-1,66	0,00	-99,88
S71/Edge 227	Prvek: 4877	19,400 5,950 3,200	MSÚ-B/17	-0,01 0,00	0,00 0,10	-0,10 -0,01	0,56	0,00	-76,87
S71/Edge 227	Prvek: 4849	19,400 5,950 0,400	MSÚ-B/7	-0,04 0,02	0,00 0,10	-0,08 -0,07	0,92	0,00	-112,09
S71/Edge 227	Prvek: 4849	19,400 5,950 0,000	MSÚ-B/7	-0,13 0,00	-0,07 0,00	-0,03 -0,12	-2,18	0,00	-114,42
S71/Edge 227	Prvek: 4881	19,400 5,950 3,600	MSÚ-B/9	-0,15 0,00	0,00 0,02	-0,03 -0,14	-1,35	0,00	-67,08
S71/Edge 228	Prvek: 4878	19,400 4,900 3,600	MSÚ-B/19	-0,35 0,37	-0,37 0,34	-0,71 -0,71	-1,98	0,00	-92,13
S71/Edge 228	Prvek: 4881	19,400 5,950 3,600	MSÚ-B/15	-0,11 0,00	0,00 0,01	-0,02 -0,11	-1,24	0,00	-68,64
S71/Edge 228	Prvek: 4879	19,400 5,250 3,600	MSÚ-B/19	-0,28 0,47	-0,39 0,36	-0,75 -0,75	-2,16	0,00	-94,56
S71/Edge 228	Prvek: 4879	19,400 5,250 3,600	MSÚ-B/7	-0,27 0,46	-0,37 0,35	-0,72 -0,72	-2,23	0,00	-96,01
S71/Edge 228	Prvek: 4878	19,400 4,550 3,600	MSÚ-B/19	0,00 1,20	-0,16 0,10	-1,04 -0,43	-1,29	0,00	-88,22
S71/Edge 228	Prvek: 4881	19,400 5,950 3,600	MSÚ-B/7	-0,23 0,00	-0,01 0,04	-0,08 -0,20	-1,53	0,00	-100,68
S71/Edge 228	Prvek: 4878	19,400 4,550 3,600	MSÚ-B/9	0,00 0,81	-0,11 0,06	-0,70 -0,28	-0,53	0,00	-54,05
S71/Edge 229	Prvek: 4846	19,400 4,550 0,000	MSÚ-B/3	-0,12 0,00	0,00 0,01	-0,02 -0,11	-1,22	0,00	-94,99
S71/Edge 229	Prvek: 4878	19,400 4,550 3,200	MSÚ-B/19	-0,01 0,04	-0,25 0,00	-0,09 -0,21	0,78	0,00	-89,26
S71/Edge 229	Prvek: 4878	19,400 4,550 3,200	MSÚ-B/7	-0,01 0,04	-0,24 0,00	-0,09 -0,20	0,88	0,00	-90,56
S71/Edge 229	Prvek: 4846	19,400 4,550 0,000	MSÚ-B/9	-0,09 0,00	-0,02 0,00	-0,01 -0,08	-1,32	0,00	-64,17
S71/Edge 229	Prvek: 4854	19,400 4,550	MSÚ-B/15	-0,01 0,00	-0,01 0,00	-0,01 -0,01	0,44	0,00	-63,90

Jméno	Sít'	Pozice [m]	Stav	$m_{xD+}$ [kNm/m] $m_{xD-}$ [kNm/m]	$m_{yD+}$ [kNm/m] $m_{yD-}$ [kNm/m]	$m_{cD+}$ [kNm/m] $m_{cD-}$ [kNm/m]	$n_{xD}$ [kN/m]	$n_{yD}$ [kN/m]	$n_{cD}$ [kN/m]
		0,800							
S71/Edge 229	Prvek: 4846	19,400 4,550 0,000	MSÚ-B/20	-0,11 0,00	-0,01 0,00	-0,02 -0,10	-1,43	0,00	-78,11
S71/Edge 229	Prvek: 4878	19,400 4,550 3,600	MSÚ-B/19	0,00 1,20	-0,16 0,10	-1,04 -0,43	-1,29	0,00	-88,22
S71/Edge 229	Prvek: 4846	19,400 4,550 0,000	MSÚ-B/7	0,00 0,04	0,00 0,05	-0,04 -0,03	0,03	0,00	-101,20
S71/Edge 229	Prvek: 4878	19,400 4,550 3,600	MSÚ-B/9	0,00 0,81	-0,11 0,06	-0,70 -0,28	-0,53	0,00	-54,05
S72/Edge 230	Prvek: 4896	19,400 14,350 0,000	MSÚ-B/8	-0,30 0,00	-0,07 0,07	-0,19 -0,25	-2,91	0,00	-105,89
S72/Edge 230	Prvek: 4895	19,400 13,980 0,000	MSÚ-B/20	-0,13 0,15	-0,13 0,15	-0,28 -0,28	-3,06	0,00	-98,87
S72/Edge 230	Prvek: 4893	19,400 13,241 0,000	MSÚ-B/17	-0,01 0,00	0,00 0,00	-0,01 -0,01	-3,92	0,00	-71,68
S72/Edge 230	Prvek: 4888	19,400 11,265 0,000	MSÚ-B/15	-0,03 0,00	0,00 0,01	-0,01 -0,03	-5,28	0,00	-56,26
S72/Edge 230	Prvek: 4894	19,400 13,610 0,000	MSÚ-B/20	-0,19 0,15	-0,16 0,17	-0,33 -0,33	-3,78	0,00	-90,48
S72/Edge 230	Prvek: 4882	19,400 8,250 0,000	MSÚ-B/18	0,00 0,12	0,00 0,04	-0,12 0,00	-1,81	0,00	-85,76
S72/Edge 230	Prvek: 4889	19,400 11,698 0,000	MSÚ-B/3	-0,09 0,03	-0,06 0,07	-0,12 -0,12	-9,43	0,00	-79,25
S72/Edge 230	Prvek: 4882	19,400 8,250 0,000	MSÚ-B/10	0,00 0,12	0,00 0,04	-0,12 0,00	-1,46	0,00	-72,03
S72/Edge 230	Prvek: 4896	19,400 14,350 0,000	MSÚ-B/3	-0,30 0,00	-0,07 0,07	-0,19 -0,25	-3,56	0,00	-128,17
S72/Edge 230	Prvek: 4887	19,400 10,832 0,000	MSÚ-B/11	-0,04 0,00	-0,01 0,01	-0,03 -0,03	-5,25	0,00	-55,75
S72/Edge 231	Prvek: 5001	19,400 14,350 3,200	MSÚ-B/3	-0,05 0,02	-0,31 0,00	-0,11 -0,27	1,11	0,00	-114,79
S72/Edge 231	Prvek: 5016	19,400 14,350 3,600	MSÚ-B/3	0,00 1,90	-0,15 0,43	-1,59 -0,89	-2,74	0,00	-115,06
S72/Edge 231	Prvek: 4896	19,400 14,350 0,400	MSÚ-B/10	-0,02 0,01	0,00 0,02	-0,02 -0,02	1,08	0,00	-87,94
S72/Edge 231	Prvek: 4896	19,400 14,350 0,000	MSÚ-B/7	-0,18 0,00	-0,04 0,04	-0,11 -0,15	-3,70	0,00	-126,38
S72/Edge 231	Prvek: 4896	19,400 14,350 0,400	MSÚ-B/7	-0,02 0,01	0,00 0,04	-0,03 -0,03	1,49	0,00	-123,86
S72/Edge 231	Prvek: 4896	19,400 14,350 0,000	MSÚ-B/8	-0,30 0,00	-0,07 0,07	-0,19 -0,25	-2,91	0,00	-105,89
S72/Edge 231	Prvek: 4896	19,400 14,350 0,000	MSÚ-B/3	-0,30 0,00	-0,07 0,07	-0,19 -0,25	-3,56	0,00	-128,17
S72/Edge 231	Prvek: 5016	19,400 14,350	MSÚ-B/10	0,00 1,24	-0,09 0,27	-1,04 -0,56	-1,70	0,00	-79,68

Jméno	Stř	Pozice [m]	Stav	$m_{xD+}$ [kNm/m] $m_{xD-}$ [kNm/m]	$m_{yD+}$ [kNm/m] $m_{yD-}$ [kNm/m]	$m_{cD+}$ [kNm/m] $m_{cD-}$ [kNm/m]	$n_{xD}$ [kN/m]	$n_{yD}$ [kN/m]	$n_{cD}$ [kN/m]
S72/Edge 232	Prvek: 5015	3,600 19,400 13,943 3,600	MSÚ-B/3	-0,62 0,53	-0,60 0,56	-1,16 -1,16	-4,11	0,00	-105,58
S72/Edge 232	Prvek: 5004	19,400 9,470 3,600	MSÚ-B/9	0,00 0,03	-0,01 0,00	-0,02 -0,01	-4,20	0,00	-47,08
S72/Edge 232	Prvek: 5005	19,400 9,877 3,600	MSÚ-B/3	0,00 0,03	0,00 0,00	-0,03 -0,01	-7,44	0,00	-62,42
S72/Edge 232	Prvek: 5014	19,400 13,537 3,600	MSÚ-B/3	-0,58 0,75	-0,71 0,62	-1,33 -1,33	-5,97	0,00	-97,52
S72/Edge 232	Prvek: 5010	19,400 11,910 3,600	MSÚ-B/6	-0,23 0,29	-0,28 0,23	-0,52 -0,52	-13,21	0,00	-69,57
S72/Edge 232	Prvek: 5016	19,400 14,350 3,600	MSÚ-B/10	0,00 1,24	-0,09 0,27	-1,04 -0,56	-1,70	0,00	-79,68
S72/Edge 232	Prvek: 5016	19,400 14,350 3,600	MSÚ-B/3	0,00 1,90	-0,15 0,43	-1,59 -0,89	-2,74	0,00	-115,06
S72/Edge 232	Prvek: 5007	19,400 10,690 3,600	MSÚ-B/11	-0,02 0,06	-0,05 0,04	-0,08 -0,08	-7,70	0,00	-42,97
S72/Edge 233	Prvek: 4882	19,400 8,250 0,000	MSÚ-B/9	-0,05 0,00	-0,01 0,01	-0,03 -0,04	-2,00	0,00	-70,93
S72/Edge 233	Prvek: 4897	19,400 8,250 0,400	MSÚ-B/18	-0,01 0,03	-0,04 0,00	-0,04 -0,04	0,68	0,00	-83,61
S72/Edge 233	Prvek: 4957	19,400 8,250 2,000	MSÚ-B/9	0,00 0,00	0,00 0,01	-0,01 -0,01	0,19	0,00	-64,57
S72/Edge 233	Prvek: 4882	19,400 8,250 0,000	MSÚ-B/18	0,00 0,12	0,00 0,04	-0,12 0,00	-1,81	0,00	-85,76
S72/Edge 233	Prvek: 5002	19,400 8,250 3,600	MSÚ-B/7	0,00 0,18	-0,03 0,05	-0,15 -0,11	-3,09	0,00	-87,62
S72/Edge 233	Prvek: 5002	19,400 8,250 3,200	MSÚ-B/7	-0,01 0,01	-0,04 0,00	-0,02 -0,03	1,22	0,00	-88,12
S72/Edge 233	Prvek: 5002	19,400 8,250 3,600	MSÚ-B/19	0,00 0,18	-0,02 0,05	-0,15 -0,11	-2,94	0,00	-87,03
S72/Edge 233	Prvek: 4882	19,400 8,250 0,000	MSÚ-B/7	0,00 0,10	0,00 0,04	-0,10 -0,01	-2,26	0,00	-100,11
S72/Edge 233	Prvek: 5002	19,400 8,250 3,600	MSÚ-B/9	0,00 0,09	-0,01 0,02	-0,08 -0,05	-1,80	0,00	-61,06
S73/Edge 234	Prvek: 5039	10,100 19,400 0,000	MSÚ-B/1	-1,76 0,31	-0,53 1,54	-2,07 -2,07	10,19	0,00	-1,92
S73/Edge 234	Prvek: 5039	10,100 19,400 0,000	MSÚ-B/14	-1,74 0,28	-0,55 1,47	-2,02 -2,02	12,78	0,63	-0,01
S73/Edge 234	Prvek: 5018	18,622 19,400 0,000	MSÚ-B/9	0,00 0,05	-0,07 0,00	-0,05 -0,07	-12,44	0,00	-41,74
S73/Edge 234	Prvek: 5017	19,400 19,400 0,000	MSÚ-B/7	-0,24 1,91	0,00 4,06	-3,40 -2,81	-11,98	0,00	-53,19
S73/Edge 234	Prvek: 5017	19,400 19,400	MSÚ-B/6	-0,26 1,91	0,00 4,04	-3,39 -2,82	-11,76	0,00	-52,94

Jméno	Stř	Pozice [m]	Stav	$m_{xD+}$ [kNm/m] $m_{xD-}$ [kNm/m]	$m_{yD+}$ [kNm/m] $m_{yD-}$ [kNm/m]	$m_{cD+}$ [kNm/m] $m_{cD-}$ [kNm/m]	$n_{xD}$ [kN/m]	$n_{yD}$ [kN/m]	$n_{cD}$ [kN/m]
		0,000							
S73/Edge 234	Prvek: 5027	15,123 19,400 0,000	MSÚ-B/10	-0,01 0,00	0,00 0,00	0,00 -0,01	-10,92	0,00	-43,63
S73/Edge 234	Prvek: 5018	18,622 19,400 0,000	MSÚ-B/7	-0,02 0,16	-0,18 0,00	-0,19 -0,19	-18,69	0,00	-57,68
S73/Edge 234	Prvek: 5024	16,289 19,400 0,000	MSÚ-B/3	-0,19 0,15	-0,17 0,16	-0,33 -0,33	-15,91	0,00	-64,16
S73/Edge 234	Prvek: 5039	10,100 19,400 0,000	MSÚ-B/17	-1,59 0,25	-0,51 1,33	-1,83 -1,83	12,33	1,36	-0,01
S73/Edge 235	Prvek: 5200	10,100 19,400 3,200	MSÚ-B/7	0,00 0,99	-0,19 0,00	-0,93 -0,24	-3,51	0,00	-4,74
S73/Edge 235	Prvek: 5223	10,100 19,400 3,600	MSÚ-B/19	0,00 0,97	-1,96 0,00	-1,29 -1,65	0,00	-4,06	-10,45
S73/Edge 235	Prvek: 5039	10,100 19,400 0,000	MSÚ-B/1	-1,76 0,31	-0,53 1,54	-2,07 -2,07	10,19	0,00	-1,92
S73/Edge 235	Prvek: 5062	10,100 19,400 0,800	MSÚ-B/5	-0,89 0,00	-0,27 0,00	-0,08 -0,85	-0,68	0,00	-7,50
S73/Edge 235	Prvek: 5039	10,100 19,400 0,000	MSÚ-B/23	-1,70 0,38	-0,55 1,53	-2,08 -2,08	7,36	0,00	-3,27
S73/Edge 235	Prvek: 5177	10,100 19,400 2,800	MSÚ-B/2	0,00 0,55	0,00 0,13	-0,52 -0,06	-0,90	0,00	-3,08
S73/Edge 235	Prvek: 5039	10,100 19,400 0,400	MSÚ-B/7	-2,28 0,00	-0,87 0,00	-1,13 -1,90	-10,93	0,00	-12,55
S73/Edge 235	Prvek: 5039	10,100 19,400 0,000	MSÚ-B/14	-1,74 0,28	-0,55 1,47	-2,02 -2,02	12,78	0,63	-0,01
S73/Edge 235	Prvek: 5223	10,100 19,400 3,600	MSÚ-B/14	0,00 0,77	-1,52 0,00	-1,01 -1,29	0,00	-7,49	-11,44
S73/Edge 235	Prvek: 5039	10,100 19,400 0,400	MSÚ-B/1	-2,28 0,00	-0,87 0,00	-1,13 -1,90	-10,75	0,00	-12,58
S73/Edge 235	Prvek: 5039	10,100 19,400 0,000	MSÚ-B/17	-1,59 0,25	-0,51 1,33	-1,83 -1,83	12,33	1,36	-0,01
S73/Edge 236	Prvek: 5201	18,996 19,400 3,600	MSÚ-B/3	-3,01 1,50	-1,90 2,62	-4,51 -4,51	-10,13	0,00	-44,74
S73/Edge 236	Prvek: 5203	18,187 19,400 3,600	MSÚ-B/3	-2,13 2,29	-2,24 2,18	-4,42 -4,42	-11,44	0,00	-45,65
S73/Edge 236	Prvek: 5202	18,591 19,400 3,600	MSÚ-B/3	-2,30 2,18	-2,26 2,22	-4,48 -4,48	-11,31	0,00	-44,11
S73/Edge 236	Prvek: 5201	19,400 19,400 3,600	MSÚ-B/7	-1,16 0,00	0,00 3,59	-3,03 -1,73	-5,91	0,00	-41,28
S73/Edge 236	Prvek: 5201	18,996 19,400 3,600	MSÚ-B/6	-3,01 1,51	-1,90 2,62	-4,52 -4,52	-10,05	0,00	-45,28
S73/Edge 236	Prvek: 5210	15,357 19,400 3,600	MSÚ-B/9	-0,01 0,11	-0,07 0,06	-0,12 -0,12	-7,95	0,00	-34,40
S73/Edge 236	Prvek: 5205	17,378 19,400	MSÚ-B/3	-1,70 1,85	-1,83 1,73	-3,55 -3,55	-11,51	0,00	-48,34



Jméno	Sít'	Pozice [m]	Stav	$m_{xD+}$ [kNm/m] $m_{xD-}$ [kNm/m]	$m_{yD+}$ [kNm/m] $m_{yD-}$ [kNm/m]	$m_{cD+}$ [kNm/m] $m_{cD-}$ [kNm/m]	$n_{xD}$ [kN/m]	$n_{yD}$ [kN/m]	$n_{cD}$ [kN/m]
		3,600							
S73/Edge 236	Prvek: 5223	10,100 19,400 3,600	MSÚ-B/14	0,00 0,77	-1,52 0,00	-1,01 -1,29	0,00	-7,49	-11,44
S73/Edge 236	Prvek: 5208	16,165 19,400 3,600	MSÚ-B/3	-0,74 0,85	-0,82 0,77	-1,59 -1,59	-11,35	0,00	-49,82
S73/Edge 236	Prvek: 5221	10,909 19,400 3,600	MSÚ-B/15	-1,15 1,19	-1,10 1,24	-2,34 -2,34	0,00	-4,53	-5,02
S73/Edge 237	Prvek: 5178	19,400 19,400 2,800	MSÚ-B/4	-0,26 0,00	0,00 0,05	-0,05 -0,26	-0,87	0,00	-35,78
S73/Edge 237	Prvek: 5017	19,400 19,400 0,000	MSÚ-B/6	-0,26 1,91	0,00 4,04	-3,39 -2,82	-11,76	0,00	-52,94
S73/Edge 237	Prvek: 5132	19,400 19,400 2,000	MSÚ-B/1	0,00 0,00	0,00 0,16	-0,16 0,00	0,55	0,00	-51,53
S73/Edge 237	Prvek: 5017	19,400 19,400 0,000	MSÚ-B/7	-0,24 1,91	0,00 4,06	-3,40 -2,81	-11,98	0,00	-53,19
S73/Edge 237	Prvek: 5109	19,400 19,400 1,600	MSÚ-B/19	0,00 0,07	0,00 0,24	-0,21 -0,09	0,70	0,00	-52,23
S73/Edge 237	Prvek: 5201	19,400 19,400 3,600	MSÚ-B/3	-1,18 0,00	0,00 3,49	-2,97 -1,70	-5,95	0,00	-39,64
S73/Edge 237	Prvek: 5063	19,400 19,400 0,800	MSÚ-B/7	-0,07 0,00	0,00 0,52	-0,50 -0,08	-1,51	0,00	-56,20
S73/Edge 237	Prvek: 5201	19,400 19,400 3,600	MSÚ-B/9	-0,84 0,00	0,00 2,56	-2,15 -1,24	-4,45	0,00	-28,92
S74/Edge 238	Prvek: 5236	0,389 19,400 0,000	MSÚ-B/19	-0,34 0,71	-0,32 0,74	-1,05 -1,05	-8,18	0,00	-46,93
S74/Edge 238	Prvek: 5235	0,779 19,400 0,000	MSÚ-B/6	0,00 0,09	-0,17 0,00	-0,12 -0,15	-8,22	0,00	-50,44
S74/Edge 238	Prvek: 5237	0,000 19,400 0,000	MSÚ-B/6	0,00 1,86	0,00 4,23	-3,52 -2,23	-8,84	0,00	-44,86
S74/Edge 238	Prvek: 5228	3,504 19,400 0,000	MSÚ-B/9	0,00 0,00	0,00 0,00	0,00 0,00	-3,56	0,00	-38,93
S74/Edge 238	Prvek: 5237	0,000 19,400 0,000	MSÚ-B/7	0,00 1,83	0,00 4,23	-3,51 -2,22	-8,89	0,00	-44,89
S74/Edge 238	Prvek: 5224	5,450 19,400 0,000	MSÚ-B/9	-0,30 0,00	-0,07 0,01	-0,13 -0,25	-0,76	0,00	-27,43
S74/Edge 238	Prvek: 5224	5,450 19,400 0,000	MSÚ-B/21	-0,54 0,00	-0,10 0,03	-0,22 -0,46	-0,97	0,00	-31,78
S74/Edge 238	Prvek: 5230	2,725 19,400 0,000	MSÚ-B/19	-0,08 0,04	-0,04 0,08	-0,12 -0,12	-6,63	0,00	-56,19
S74/Edge 238	Prvek: 5224	5,450 19,400 0,000	MSÚ-B/15	-0,50 0,00	-0,09 0,03	-0,20 -0,43	-0,82	0,00	-26,74
S74/Edge 239	Prvek: 5349	0,000 19,400 3,600	MSÚ-B/3	-0,49 0,16	0,00 3,61	-3,16 -1,09	-5,25	0,00	-30,21
S74/Edge 239	Prvek: 5307	0,000 19,400	MSÚ-B/2	0,00 0,03	0,00 0,14	-0,13 -0,04	-0,02	0,00	-25,23

Jméno	Sít'	Pozice [m]	Stav	$m_{xD+}$ [kNm/m] $m_{xD-}$ [kNm/m]	$m_{yD+}$ [kNm/m] $m_{yD-}$ [kNm/m]	$m_{cD+}$ [kNm/m] $m_{cD-}$ [kNm/m]	$n_{xD}$ [kN/m]	$n_{yD}$ [kN/m]	$n_{cD}$ [kN/m]
		2,400							
S74/Edge 239	Prvek: 5321	0,000 19,400 2,800	MSÚ-B/2	0,00 0,03	0,00 0,11	-0,09 -0,02	-0,19	0,00	-23,76
S74/Edge 239	Prvek: 5251	0,000 19,400 0,800	MSÚ-B/11	0,00 0,18	0,00 0,31	-0,31 0,00	-0,14	0,00	-28,65
S74/Edge 239	Prvek: 5237	0,000 19,400 0,400	MSÚ-B/7	0,00 0,45	0,00 1,28	-1,25 -0,05	1,78	0,00	-40,68
S74/Edge 239	Prvek: 5237	0,000 19,400 0,000	MSÚ-B/6	0,00 1,86	0,00 4,23	-3,52 -2,23	-8,84	0,00	-44,86
S74/Edge 239	Prvek: 5237	0,000 19,400 0,000	MSÚ-B/7	0,00 1,83	0,00 4,23	-3,51 -2,22	-8,89	0,00	-44,89
S74/Edge 239	Prvek: 5335	0,000 19,400 3,200	MSÚ-B/11	0,00 0,24	0,00 0,37	-0,31 -0,16	0,77	0,00	-21,86
S74/Edge 240	Prvek: 5348	0,389 19,400 3,600	MSÚ-B/3	-2,50 0,96	-1,27 2,18	-3,45 -3,45	-4,57	0,00	-33,81
S74/Edge 240	Prvek: 5349	0,000 19,400 3,600	MSÚ-B/4	-0,40 0,07	0,00 2,77	-2,43 -0,81	-3,99	0,00	-22,67
S74/Edge 240	Prvek: 5340	3,504 19,400 3,600	MSÚ-B/15	0,00 0,14	-0,07 0,07	-0,14 -0,14	-2,30	0,00	-28,44
S74/Edge 240	Prvek: 5347	0,779 19,400 3,600	MSÚ-B/3	-1,93 1,68	-1,81 1,80	-3,61 -3,61	-4,56	0,00	-37,20
S74/Edge 240	Prvek: 5349	0,000 19,400 3,600	MSÚ-B/7	-0,46 0,19	0,00 3,64	-3,19 -1,11	-5,27	0,00	-31,47
S74/Edge 240	Prvek: 5336	5,450 19,400 3,600	MSÚ-B/3	0,00 2,68	-0,19 0,48	-2,28 -1,07	-0,55	0,00	-24,86
S74/Edge 240	Prvek: 5342	2,725 19,400 3,600	MSÚ-B/19	-0,50 0,70	-0,59 0,61	-1,20 -1,20	-3,98	0,00	-43,01
S74/Edge 240	Prvek: 5336	5,450 19,400 3,600	MSÚ-B/15	0,00 1,87	-0,13 0,33	-1,59 -0,74	-0,36	0,00	-16,80
S74/Edge 241	Prvek: 5224	5,450 19,400 0,000	MSÚ-B/21	-0,54 0,00	-0,10 0,03	-0,22 -0,46	-0,97	0,00	-31,78
S74/Edge 241	Prvek: 5336	5,450 19,400 3,200	MSÚ-B/7	-0,02 0,09	-0,55 0,00	-0,18 -0,48	0,29	0,00	-25,87
S74/Edge 241	Prvek: 5308	5,450 19,400 2,400	MSÚ-B/9	-0,01 0,01	-0,01 0,00	-0,02 -0,02	0,11	0,00	-20,58
S74/Edge 241	Prvek: 5336	5,450 19,400 3,600	MSÚ-B/19	0,00 2,68	-0,19 0,48	-2,28 -1,07	-0,57	0,00	-25,16
S74/Edge 241	Prvek: 5238	5,450 19,400 0,400	MSÚ-B/9	0,00 0,00	0,00 0,05	-0,05 0,00	0,32	0,00	-26,04
S74/Edge 241	Prvek: 5238	5,450 19,400 0,400	MSÚ-B/19	0,00 0,01	0,00 0,07	-0,06 -0,01	0,51	0,00	-36,57
S74/Edge 241	Prvek: 5336	5,450 19,400 3,600	MSÚ-B/3	0,00 2,68	-0,19 0,48	-2,28 -1,07	-0,55	0,00	-24,86
S74/Edge 241	Prvek: 5224	5,450 19,400	MSÚ-B/19	-0,37 0,00	-0,08 0,03	-0,17 -0,31	-1,17	0,00	-38,49

Jméno	Sít'	Pozice [m]	Stav	$m_{xD+}$ [kNm/m] $m_{xD-}$ [kNm/m]	$m_{yD+}$ [kNm/m] $m_{yD-}$ [kNm/m]	$m_{cD+}$ [kNm/m] $m_{cD-}$ [kNm/m]	$n_{xD}$ [kN/m]	$n_{yD}$ [kN/m]	$n_{cD}$ [kN/m]
		0,000							
S74/Edge 241	Prvek: 5336	5,450 19,400 3,600	MSÚ-B/15	0,00 1,87	-0,13 0,33	-1,59 -0,74	-0,36	0,00	-16,80
S75/Edge 242	Prvek: 5350	0,000 19,025 0,000	MSÚ-B/24	-0,23 0,02	-0,45 0,00	-0,33 -0,38	-1,78	0,00	-61,66
S75/Edge 242	Prvek: 5351	0,000 18,650 0,000	MSÚ-B/11	-0,62 0,00	-0,27 0,06	-0,43 -0,52	-7,37	0,00	-49,69
S75/Edge 242	Prvek: 5351	0,000 18,650 0,000	MSÚ-B/19	-0,84 0,00	-0,37 0,09	-0,59 -0,70	-10,36	0,00	-68,34
S75/Edge 242	Prvek: 5350	0,000 19,400 0,000	MSÚ-B/3	-1,87 0,00	-3,18 0,00	-1,46 -2,67	6,90	0,00	-56,34
S75/Edge 242	Prvek: 5350	0,000 19,400 0,000	MSÚ-B/6	-1,88 0,00	-3,24 0,00	-1,45 -2,72	6,39	0,00	-57,26
S75/Edge 242	Prvek: 5350	0,000 19,025 0,000	MSÚ-B/11	-0,16 0,02	-0,33 0,00	-0,23 -0,27	-1,33	0,00	-45,60
S75/Edge 242	Prvek: 5351	0,000 18,650 0,000	MSÚ-B/3	-0,87 0,00	-0,38 0,08	-0,60 -0,73	-10,37	0,00	-68,42
S75/Edge 242	Prvek: 5350	0,000 19,400 0,000	MSÚ-B/7	-1,90 0,00	-3,23 0,00	-1,45 -2,72	6,32	0,00	-57,29
S75/Edge 242	Prvek: 5351	0,000 18,650 0,000	MSÚ-B/6	-1,05 0,00	-0,40 0,08	-0,66 -0,87	-10,14	0,00	-68,85
S75/Edge 242	Prvek: 5350	0,000 19,400 0,000	MSÚ-B/11	-1,37 0,00	-2,33 0,00	-1,07 -1,96	4,80	0,00	-41,18
S75/Edge 243	Prvek: 5365	0,000 18,650 3,200	MSÚ-B/7	0,00 0,53	-0,69 0,00	-0,58 -0,64	3,95	0,00	-52,67
S75/Edge 243	Prvek: 5367	0,000 18,650 3,600	MSÚ-B/9	0,00 2,42	-0,11 0,28	-2,13 -0,67	-8,24	0,00	-40,93
S75/Edge 243	Prvek: 5363	0,000 18,650 2,800	MSÚ-B/10	-0,11 0,00	-0,27 0,00	0,00 -0,27	0,54	0,00	-39,52
S75/Edge 243	Prvek: 5367	0,000 18,650 3,600	MSÚ-B/19	0,00 3,47	-0,18 0,39	-3,05 -0,98	-11,27	0,00	-56,17
S75/Edge 243	Prvek: 5363	0,000 18,650 2,800	MSÚ-B/11	-0,11 0,00	-0,25 0,00	0,00 -0,25	0,57	0,00	-38,70
S75/Edge 243	Prvek: 5367	0,000 18,650 3,600	MSÚ-B/3	0,00 3,46	-0,17 0,40	-3,05 -0,98	-11,41	0,00	-56,36
S75/Edge 243	Prvek: 5365	0,000 18,650 3,200	MSÚ-B/3	0,00 0,52	-0,67 0,00	-0,57 -0,63	4,13	0,00	-52,21
S75/Edge 243	Prvek: 5351	0,000 18,650 0,000	MSÚ-B/6	-1,05 0,00	-0,40 0,08	-0,66 -0,87	-10,14	0,00	-68,85
S75/Edge 243	Prvek: 5365	0,000 18,650 3,200	MSÚ-B/11	0,00 0,37	-0,48 0,00	-0,40 -0,45	2,91	0,00	-37,80
S75/Edge 244	Prvek: 5367	0,000 18,650 3,600	MSÚ-B/19	0,00 3,47	-0,18 0,39	-3,05 -0,98	-11,27	0,00	-56,17
S75/Edge 244	Prvek: 5367	0,000 18,650	MSÚ-B/9	0,00 2,42	-0,11 0,28	-2,13 -0,67	-8,24	0,00	-40,93

Jméno	Stř	Pozice [m]	Stav	$m_{xD+}$ [kNm/m] $m_{xD-}$ [kNm/m]	$m_{yD+}$ [kNm/m] $m_{yD-}$ [kNm/m]	$m_{cD+}$ [kNm/m] $m_{cD-}$ [kNm/m]	$n_{xD}$ [kN/m]	$n_{yD}$ [kN/m]	$n_{cD}$ [kN/m]
S75/Edge 244	Prvek: 5366	3,600 0,000 19,025 3,600	MSÚ-B/10	0,00 0,30	-0,17 0,00	-0,30 -0,17	-1,20	0,00	-36,70
S75/Edge 244	Prvek: 5366	0,000 19,400 3,600	MSÚ-B/7	-1,97 0,00	-2,25 0,00	-1,56 -1,88	7,68	0,00	-43,79
S75/Edge 244	Prvek: 5366	0,000 19,025 3,600	MSÚ-B/11	0,00 0,31	-0,17 0,00	-0,31 -0,17	-1,18	0,00	-36,03
S75/Edge 244	Prvek: 5367	0,000 18,650 3,600	MSÚ-B/3	0,00 3,46	-0,17 0,40	-3,05 -0,98	-11,41	0,00	-56,36
S75/Edge 244	Prvek: 5366	0,000 19,400 3,600	MSÚ-B/3	-1,94 0,00	-2,18 0,00	-1,53 -1,83	8,15	0,00	-42,94
S75/Edge 244	Prvek: 5366	0,000 19,400 3,600	MSÚ-B/6	-1,98 0,00	-2,24 0,00	-1,56 -1,88	7,76	0,00	-43,78
S75/Edge 244	Prvek: 5367	0,000 18,650 3,600	MSÚ-B/6	0,00 3,44	-0,17 0,39	-3,04 -0,96	-11,09	0,00	-56,71
S75/Edge 244	Prvek: 5366	0,000 19,400 3,600	MSÚ-B/11	-1,41 0,00	-1,61 0,00	-1,12 -1,35	5,71	0,00	-31,23
S75/Edge 245	Prvek: 5362	0,000 19,400 2,400	MSÚ-B/2	-0,03 0,00	-0,25 0,00	-0,04 -0,23	0,11	0,00	-40,24
S75/Edge 245	Prvek: 5364	0,000 19,400 2,800	MSÚ-B/4	-0,04 0,02	-0,29 0,00	-0,10 -0,25	0,12	0,00	-39,64
S75/Edge 245	Prvek: 5360	0,000 19,400 2,000	MSÚ-B/11	-0,03 0,00	-0,25 0,00	-0,03 -0,23	0,11	0,00	-39,22
S75/Edge 245	Prvek: 5366	0,000 19,400 3,600	MSÚ-B/7	-1,97 0,00	-2,25 0,00	-1,56 -1,88	7,68	0,00	-43,79
S75/Edge 245	Prvek: 5356	0,000 19,400 1,200	MSÚ-B/15	-0,08 0,00	-0,27 0,00	0,00 -0,27	0,14	0,00	-42,42
S75/Edge 245	Prvek: 5350	0,000 19,400 0,000	MSÚ-B/6	-1,88 0,00	-3,24 0,00	-1,45 -2,72	6,39	0,00	-57,26
S75/Edge 245	Prvek: 5362	0,000 19,400 2,400	MSÚ-B/11	-0,03 0,00	-0,25 0,00	-0,04 -0,23	0,11	0,00	-38,29
S75/Edge 245	Prvek: 5366	0,000 19,400 3,200	MSÚ-B/3	-0,23 0,00	-0,72 0,00	-0,06 -0,69	-2,71	0,00	-49,98
S75/Edge 245	Prvek: 5366	0,000 19,400 3,600	MSÚ-B/3	-1,94 0,00	-2,18 0,00	-1,53 -1,83	8,15	0,00	-42,94
S75/Edge 245	Prvek: 5366	0,000 19,400 3,600	MSÚ-B/6	-1,98 0,00	-2,24 0,00	-1,56 -1,88	7,76	0,00	-43,78
S75/Edge 245	Prvek: 5352	0,000 19,400 0,400	MSÚ-B/6	-0,38 0,00	-0,81 0,00	-0,01 -0,81	-2,08	0,00	-60,67
S75/Edge 245	Prvek: 5366	0,000 19,400 3,600	MSÚ-B/11	-1,41 0,00	-1,61 0,00	-1,12 -1,35	5,71	0,00	-31,23
S76/Edge 246	Prvek: 5368	0,000 10,675 0,000	MSÚ-B/3	-0,04 0,07	-0,06 0,04	-0,11 -0,11	-3,70	0,00	-132,56
S76/Edge 246	Prvek: 5372	0,000 9,017	MSÚ-B/18	-0,05 0,06	-0,06 0,06	-0,11 -0,11	-2,53	0,00	-97,53

Jméno	Stř	Pozice [m]	Stav	$m_{xD+}$ [kNm/m] $m_{xD-}$ [kNm/m]	$m_{yD+}$ [kNm/m] $m_{yD-}$ [kNm/m]	$m_{cD+}$ [kNm/m] $m_{cD-}$ [kNm/m]	$n_{xD}$ [kN/m]	$n_{yD}$ [kN/m]	$n_{cD}$ [kN/m]
		0,000							
S76/Edge 246	Prvek: 5368	0,000 11,100 0,000	MSÚ-B/8	0,00 0,17	-0,01 0,04	-0,14 -0,07	-3,61	0,00	-118,99
S76/Edge 246	Prvek: 5374	0,000 8,250 0,000	MSÚ-B/11	-0,04 0,00	-0,01 0,00	-0,01 -0,04	-1,79	0,00	-84,87
S76/Edge 246	Prvek: 5374	0,000 8,250 0,000	MSÚ-B/18	-0,17 0,00	-0,03 0,00	-0,06 -0,15	-2,06	0,00	-101,90
S76/Edge 246	Prvek: 5372	0,000 9,017 0,000	MSÚ-B/3	0,00 0,02	0,00 0,00	-0,02 0,00	-3,32	0,00	-113,33
S76/Edge 246	Prvek: 5370	0,000 9,825 0,000	MSÚ-B/3	-0,01 0,05	-0,04 0,03	-0,06 -0,06	-4,38	0,00	-118,11
S76/Edge 246	Prvek: 5374	0,000 8,250 0,000	MSÚ-B/10	-0,17 0,00	-0,03 0,00	-0,06 -0,14	-1,68	0,00	-85,39
S76/Edge 246	Prvek: 5368	0,000 11,100 0,000	MSÚ-B/3	0,00 0,15	-0,02 0,03	-0,12 -0,08	-4,28	0,00	-144,64
S76/Edge 246	Prvek: 5372	0,000 9,017 0,000	MSÚ-B/9	0,00 0,03	-0,01 0,01	-0,03 -0,03	-2,44	0,00	-80,94
S76/Edge 247	Prvek: 5374	0,000 8,250 0,000	MSÚ-B/9	0,00 0,05	-0,04 0,01	-0,05 -0,05	-1,83	0,00	-83,85
S76/Edge 247	Prvek: 5423	0,000 8,250 3,200	MSÚ-B/20	-0,03 0,02	-0,05 0,01	-0,05 -0,05	0,96	0,00	-89,44
S76/Edge 247	Prvek: 5430	0,000 8,250 3,600	MSÚ-B/20	-0,10 0,00	0,00 0,05	-0,06 -0,08	-2,22	0,00	-89,30
S76/Edge 247	Prvek: 5430	0,000 8,250 3,600	MSÚ-B/19	-0,16 0,00	-0,02 0,03	-0,07 -0,13	-2,75	0,00	-105,62
S76/Edge 247	Prvek: 5409	0,000 8,250 2,400	MSÚ-B/17	0,00 0,00	-0,01 0,00	0,00 -0,01	0,44	0,00	-82,04
S76/Edge 247	Prvek: 5381	0,000 8,250 0,800	MSÚ-B/19	0,00 0,00	0,00 0,00	0,00 0,00	0,85	0,00	-115,14
S76/Edge 247	Prvek: 5430	0,000 8,250 3,600	MSÚ-B/7	-0,15 0,00	-0,02 0,03	-0,06 -0,13	-2,80	0,00	-106,04
S76/Edge 247	Prvek: 5423	0,000 8,250 3,200	MSÚ-B/7	-0,03 0,01	-0,03 0,01	-0,04 -0,04	1,19	0,00	-106,10
S76/Edge 247	Prvek: 5374	0,000 8,250 0,000	MSÚ-B/18	-0,17 0,00	-0,03 0,00	-0,06 -0,15	-2,06	0,00	-101,90
S76/Edge 247	Prvek: 5374	0,000 8,250 0,000	MSÚ-B/7	-0,14 0,00	-0,03 0,00	-0,05 -0,12	-2,46	0,00	-118,93
S76/Edge 247	Prvek: 5430	0,000 8,250 3,600	MSÚ-B/9	-0,07 0,00	0,00 0,05	-0,05 -0,07	-1,85	0,00	-74,25
S76/Edge 248	Prvek: 5424	0,000 10,693 3,600	MSÚ-B/3	-0,30 0,28	-0,28 0,30	-0,58 -0,58	-4,40	0,00	-118,99
S76/Edge 248	Prvek: 5429	0,000 8,657 3,600	MSÚ-B/15	-0,02 0,00	0,00 0,00	-0,01 -0,02	-2,73	0,00	-73,39
S76/Edge 248	Prvek: 5425	0,000 10,286	MSÚ-B/3	-0,40 0,24	-0,30 0,33	-0,63 -0,63	-5,13	0,00	-110,82

Jméno	Stř	Pozice [m]	Stav	$m_{xD+}$ [kNm/m] $m_{xD-}$ [kNm/m]	$m_{yD+}$ [kNm/m] $m_{yD-}$ [kNm/m]	$m_{cD+}$ [kNm/m] $m_{cD-}$ [kNm/m]	$n_{xD}$ [kN/m]	$n_{yD}$ [kN/m]	$n_{cD}$ [kN/m]
		3,600							
S76/Edge 248	Prvek: 5429	0,000 8,657 3,600	MSÚ-B/7	-0,03 0,00	0,00 0,00	-0,01 -0,03	-3,89	0,00	-103,52
S76/Edge 248	Prvek: 5429	0,000 8,657 3,600	MSÚ-B/11	-0,02 0,00	0,00 0,00	-0,01 -0,02	-2,75	0,00	-73,56
S76/Edge 248	Prvek: 5426	0,000 9,879 3,600	MSÚ-B/7	-0,29 0,16	-0,21 0,25	-0,46 -0,46	-5,68	0,00	-105,63
S76/Edge 248	Prvek: 5430	0,000 8,250 3,600	MSÚ-B/9	-0,07 0,00	0,00 0,05	-0,05 -0,07	-1,85	0,00	-74,25
S76/Edge 248	Prvek: 5424	0,000 11,100 3,600	MSÚ-B/3	-1,00 0,00	-0,24 0,06	-0,46 -0,84	-4,32	0,00	-131,45
S76/Edge 248	Prvek: 5428	0,000 9,064 3,600	MSÚ-B/9	-0,10 0,01	-0,04 0,07	-0,11 -0,11	-3,47	0,00	-72,61
S76/Edge 249	Prvek: 5368	0,000 11,100 0,000	MSÚ-B/8	0,00 0,17	-0,01 0,04	-0,14 -0,07	-3,61	0,00	-118,99
S76/Edge 249	Prvek: 5368	0,000 11,100 0,000	MSÚ-B/17	-0,03 0,00	-0,05 0,00	-0,03 -0,04	-2,94	0,00	-107,83
S76/Edge 249	Prvek: 5424	0,000 11,100 3,200	MSÚ-B/3	-0,01 0,01	0,00 0,15	-0,14 -0,04	1,70	0,00	-131,71
S76/Edge 249	Prvek: 5424	0,000 11,100 3,600	MSÚ-B/6	-0,98 0,00	-0,23 0,07	-0,46 -0,82	-4,33	0,00	-131,40
S76/Edge 249	Prvek: 5389	0,000 11,100 1,200	MSÚ-B/9	0,00 0,00	0,00 0,00	-0,01 -0,01	0,37	0,00	-98,91
S76/Edge 249	Prvek: 5424	0,000 11,100 3,600	MSÚ-B/19	-0,97 0,00	-0,23 0,07	-0,46 -0,82	-4,34	0,00	-131,24
S76/Edge 249	Prvek: 5424	0,000 11,100 3,200	MSÚ-B/19	-0,01 0,02	0,00 0,15	-0,13 -0,05	1,70	0,00	-131,50
S76/Edge 249	Prvek: 5424	0,000 11,100 3,600	MSÚ-B/3	-1,00 0,00	-0,24 0,06	-0,46 -0,84	-4,32	0,00	-131,45
S76/Edge 249	Prvek: 5368	0,000 11,100 0,000	MSÚ-B/3	0,00 0,15	-0,02 0,03	-0,12 -0,08	-4,28	0,00	-144,64
S76/Edge 249	Prvek: 5424	0,000 11,100 3,600	MSÚ-B/10	-0,65 0,00	-0,14 0,06	-0,31 -0,55	-3,06	0,00	-93,29
S77/Edge 250	Prvek: 5434	0,000 4,550 0,000	MSÚ-B/10	-0,23 0,00	-0,05 0,03	-0,12 -0,19	0,61	0,00	-78,03
S77/Edge 250	Prvek: 5434	0,000 4,550 0,000	MSÚ-B/20	0,00 0,16	-0,04 0,01	-0,13 -0,08	-0,95	0,00	-81,94
S77/Edge 250	Prvek: 5431	0,000 5,600 0,000	MSÚ-B/20	-0,09 0,08	-0,09 0,08	-0,17 -0,17	-1,79	0,00	-93,51
S77/Edge 250	Prvek: 5431	0,000 5,600 0,000	MSÚ-B/7	-0,03 0,00	0,00 0,00	0,00 -0,03	-2,22	0,00	-118,23
S77/Edge 250	Prvek: 5433	0,000 4,900 0,000	MSÚ-B/14	-0,09 0,11	-0,09 0,12	-0,20 -0,20	-1,50	0,00	-94,91
S77/Edge 250	Prvek: 5431	0,000 5,950	MSÚ-B/18	0,00 0,15	0,00 0,02	-0,15 0,00	-2,02	0,00	-105,16

Jméno	Stř	Pozice [m]	Stav	m <sub>x</sub> D+ [kNm/m] m <sub>x</sub> D- [kNm/m]	m <sub>y</sub> D+ [kNm/m] m <sub>y</sub> D- [kNm/m]	m <sub>c</sub> D+ [kNm/m] m <sub>c</sub> D- [kNm/m]	n <sub>x</sub> D [kN/m]	n <sub>y</sub> D [kN/m]	n <sub>c</sub> D [kN/m]
		0,000							
S77/Edge 250	Prvek: 5431	0,000 5,950 0,000	MSÚ-B/7	0,00 0,12	0,00 0,04	-0,11 -0,02	-2,35	0,00	-122,25
S77/Edge 250	Prvek: 5434	0,000 4,550 0,000	MSÚ-B/9	0,00 0,14	-0,03 0,02	-0,12 -0,07	-0,85	0,00	-67,32
S77/Edge 251	Prvek: 5434	0,000 4,550 0,000	MSÚ-B/20	0,00 0,16	-0,04 0,01	-0,13 -0,08	-0,95	0,00	-81,94
S77/Edge 251	Prvek: 5434	0,000 4,550 0,000	MSÚ-B/19	0,00 0,07	-0,03 0,00	-0,07 -0,03	-0,17	0,00	-106,38
S77/Edge 251	Prvek: 5462	0,000 4,550 3,200	MSÚ-B/3	-0,07 0,07	0,00 0,40	-0,33 -0,21	0,77	0,00	-88,92
S77/Edge 251	Prvek: 5454	0,000 4,550 2,400	MSÚ-B/10	-0,01 0,01	0,00 0,01	-0,02 -0,02	0,58	0,00	-72,71
S77/Edge 251	Prvek: 5466	0,000 4,550 3,600	MSÚ-B/19	-1,72 0,00	-0,15 0,23	-0,62 -1,48	-1,54	0,00	-94,67
S77/Edge 251	Prvek: 5438	0,000 4,550 0,800	MSÚ-B/10	0,00 0,02	0,00 0,01	-0,02 -0,01	0,48	0,00	-76,72
S77/Edge 251	Prvek: 5466	0,000 4,550 3,600	MSÚ-B/7	-1,67 0,00	-0,14 0,22	-0,59 -1,44	-1,55	0,00	-96,23
S77/Edge 251	Prvek: 5462	0,000 4,550 3,200	MSÚ-B/7	-0,07 0,07	0,00 0,39	-0,32 -0,20	0,97	0,00	-97,13
S77/Edge 251	Prvek: 5434	0,000 4,550 0,000	MSÚ-B/7	-0,12 0,00	-0,05 0,01	-0,08 -0,10	0,30	0,00	-107,59
S77/Edge 251	Prvek: 5466	0,000 4,550 3,600	MSÚ-B/9	-1,18 0,00	-0,09 0,17	-0,43 -1,01	-0,92	0,00	-58,00
S77/Edge 252	Prvek: 5463	0,000 5,950 3,600	MSÚ-B/10	0,00 0,36	-0,05 0,02	-0,31 -0,11	-1,30	0,00	-78,23
S77/Edge 252	Prvek: 5464	0,000 5,250 3,600	MSÚ-B/19	-0,72 0,47	-0,57 0,62	-1,19 -1,19	-2,39	0,00	-101,27
S77/Edge 252	Prvek: 5463	0,000 5,950 3,600	MSÚ-B/15	0,00 0,36	-0,07 0,03	-0,30 -0,16	-1,28	0,00	-73,40
S77/Edge 252	Prvek: 5466	0,000 4,550 3,600	MSÚ-B/19	-1,72 0,00	-0,15 0,23	-0,62 -1,48	-1,54	0,00	-94,67
S77/Edge 252	Prvek: 5464	0,000 5,250 3,600	MSÚ-B/7	-0,69 0,44	-0,54 0,59	-1,13 -1,13	-2,47	0,00	-102,92
S77/Edge 252	Prvek: 5463	0,000 5,950 3,600	MSÚ-B/19	0,00 0,58	-0,09 0,05	-0,50 -0,22	-1,87	0,00	-107,55
S77/Edge 252	Prvek: 5463	0,000 5,950 3,600	MSÚ-B/7	0,00 0,55	-0,08 0,04	-0,47 -0,19	-1,86	0,00	-108,60
S77/Edge 252	Prvek: 5466	0,000 4,550 3,600	MSÚ-B/9	-1,18 0,00	-0,09 0,17	-0,43 -1,01	-0,92	0,00	-58,00
S77/Edge 253	Prvek: 5431	0,000 5,950 0,000	MSÚ-B/5	-0,13 0,00	-0,01 0,08	-0,11 -0,11	-1,68	0,00	-85,48
S77/Edge 253	Prvek: 5463	0,000 5,950	MSÚ-B/3	-0,01 0,00	-0,22 0,00	-0,02 -0,21	0,87	0,00	-104,77

Jméno	Sít'	Pozice [m]	Stav	m <sub>x</sub> D+ [kNm/m] m <sub>x</sub> D- [kNm/m]	m <sub>y</sub> D+ [kNm/m] m <sub>y</sub> D- [kNm/m]	m <sub>c</sub> D+ [kNm/m] m <sub>c</sub> D- [kNm/m]	n <sub>x</sub> D [kN/m]	n <sub>y</sub> D [kN/m]	n <sub>c</sub> D [kN/m]
		3,200							
S77/Edge 253	Prvek: 5431	0,000 5,950 0,000	MSÚ-B/3	-0,09 0,01	0,00 0,10	-0,10 -0,10	-2,29	0,00	-117,44
S77/Edge 253	Prvek: 5463	0,000 5,950 3,200	MSÚ-B/10	0,00 0,00	-0,14 0,00	0,00 -0,14	0,63	0,00	-78,90
S77/Edge 253	Prvek: 5463	0,000 5,950 3,600	MSÚ-B/6	0,00 0,55	-0,09 0,05	-0,47 -0,22	-1,84	0,00	-105,22
S77/Edge 253	Prvek: 5431	0,000 5,950 0,000	MSÚ-B/18	0,00 0,15	0,00 0,02	-0,15 0,00	-2,02	0,00	-105,16
S77/Edge 253	Prvek: 5435	0,000 5,950 0,400	MSÚ-B/19	-0,03 0,03	-0,05 0,01	-0,06 -0,06	0,97	0,00	-118,74
S77/Edge 253	Prvek: 5463	0,000 5,950 3,600	MSÚ-B/19	0,00 0,58	-0,09 0,05	-0,50 -0,22	-1,87	0,00	-107,55
S77/Edge 253	Prvek: 5431	0,000 5,950 0,000	MSÚ-B/7	0,00 0,12	0,00 0,04	-0,11 -0,02	-2,35	0,00	-122,25
S77/Edge 253	Prvek: 5463	0,000 5,950 3,600	MSÚ-B/9	0,00 0,38	-0,08 0,02	-0,32 -0,16	-1,28	0,00	-71,63
S78/Edge 254	Prvek: 5467	0,000 2,844 0,000	MSÚ-B/11	-0,27 0,30	-0,27 0,30	-0,57 -0,57	-1,77	0,00	-60,44
S78/Edge 254	Prvek: 5469	0,000 2,031 0,000	MSÚ-B/6	-0,65 0,64	-0,65 0,64	-1,29 -1,29	-4,39	0,00	-74,29
S78/Edge 254	Prvek: 5470	0,000 1,625 0,000	MSÚ-B/6	-0,68 0,62	-0,66 0,64	-1,30 -1,30	-5,34	0,00	-66,50
S78/Edge 254	Prvek: 5473	0,000 0,406 0,000	MSÚ-B/25	-0,45 0,00	-0,17 0,00	-0,19 -0,38	-6,19	0,00	-33,60
S78/Edge 254	Prvek: 5474	0,000 0,000 0,000	MSÚ-B/1	-1,61 0,00	-3,46 0,00	-1,92 -2,87	-9,81	0,00	-45,43
S78/Edge 254	Prvek: 5473	0,000 0,406 0,000	MSÚ-B/5	-0,39 0,00	-0,18 0,00	-0,23 -0,32	-5,28	0,00	-27,94
S78/Edge 254	Prvek: 5474	0,000 0,000 0,000	MSÚ-B/6	-1,55 0,00	-3,36 0,00	-1,87 -2,79	-9,97	0,00	-42,19
S78/Edge 254	Prvek: 5467	0,000 3,250 0,000	MSÚ-B/15	-1,02 0,00	-0,33 0,14	-0,65 -0,85	-0,11	0,00	-66,38
S78/Edge 254	Prvek: 5467	0,000 3,250 0,000	MSÚ-B/3	-0,78 0,00	-0,33 0,17	-0,61 -0,67	-0,77	0,00	-96,00
S78/Edge 254	Prvek: 5474	0,000 0,000 0,000	MSÚ-B/5	-0,95 0,00	-2,16 0,00	-1,19 -1,79	-6,67	0,00	-24,32
S78/Edge 255	Prvek: 5538	0,000 0,000 3,600	MSÚ-B/3	0,00 0,96	-2,67 0,00	-0,97 -2,67	-4,78	0,00	-20,00
S78/Edge 255	Prvek: 5530	0,000 0,000 3,200	MSÚ-B/12	-0,25 0,00	0,00 0,49	-0,42 -0,33	0,91	0,00	-14,62
S78/Edge 255	Prvek: 5490	0,000 0,000 1,200	MSÚ-B/10	-0,09 0,00	-0,23 0,00	-0,01 -0,22	-0,03	0,00	-31,14
S78/Edge 255	Prvek: 5538	0,000 0,000	MSÚ-B/7	0,00 0,84	-3,03 0,00	-0,87 -3,00	-5,61	0,00	-29,01



Jméno	Sít'	Pozice [m]	Stav	$m_{xD+}$ [kNm/m] $m_{xD-}$ [kNm/m]	$m_{yD+}$ [kNm/m] $m_{yD-}$ [kNm/m]	$m_{cD+}$ [kNm/m] $m_{cD-}$ [kNm/m]	$n_{xD}$ [kN/m]	$n_{yD}$ [kN/m]	$n_{cD}$ [kN/m]
S78/Edge 255	Prvek: 5514	3,600 0,000 0,000 2,400	MSÚ-B/2	0,00 0,06	-0,02 0,02	-0,05 -0,05	-0,11	0,00	-17,78
S78/Edge 255	Prvek: 5474	0,000 0,000 0,000	MSÚ-B/6	-1,55 0,00	-3,36 0,00	-1,87 -2,79	-9,97	0,00	-42,19
S78/Edge 255	Prvek: 5474	0,000 0,000 0,400	MSÚ-B/7	-0,43 0,00	-1,19 0,00	-0,10 -1,14	2,33	0,00	-38,04
S78/Edge 255	Prvek: 5474	0,000 0,000 0,000	MSÚ-B/1	-1,61 0,00	-3,46 0,00	-1,92 -2,87	-9,81	0,00	-45,43
S78/Edge 255	Prvek: 5530	0,000 0,000 3,200	MSÚ-B/5	-0,21 0,00	0,00 0,39	-0,34 -0,27	0,77	0,00	-11,88
S78/Edge 256	Prvek: 5538	0,000 0,000 3,600	MSÚ-B/10	0,00 0,53	-2,45 0,00	-0,61 -2,37	-4,61	0,00	-26,36
S78/Edge 256	Prvek: 5537	0,000 0,406 3,600	MSÚ-B/3	-1,30 3,50	-2,87 1,93	-4,80 -4,80	-3,52	0,00	-27,24
S78/Edge 256	Prvek: 5538	0,000 0,000 3,600	MSÚ-B/7	0,00 0,84	-3,03 0,00	-0,87 -3,00	-5,61	0,00	-29,01
S78/Edge 256	Prvek: 5531	0,000 3,250 3,600	MSÚ-B/11	0,00 2,17	-0,18 0,60	-1,81 -1,14	-1,28	0,00	-53,76
S78/Edge 256	Prvek: 5535	0,000 1,219 3,600	MSÚ-B/3	-2,88 2,69	-2,77 2,80	-5,57 -5,57	-3,90	0,00	-44,57
S78/Edge 256	Prvek: 5538	0,000 0,000 3,600	MSÚ-B/1	0,00 0,77	-3,01 0,00	-0,83 -2,96	-5,64	0,00	-29,99
S78/Edge 256	Prvek: 5531	0,000 3,250 3,600	MSÚ-B/10	0,00 2,09	-0,18 0,58	-1,73 -1,12	-1,02	0,00	-46,89
S78/Edge 256	Prvek: 5531	0,000 3,250 3,600	MSÚ-B/3	0,00 3,12	-0,25 0,85	-2,59 -1,63	-2,05	0,00	-83,84
S78/Edge 256	Prvek: 5538	0,000 0,000 3,600	MSÚ-B/5	0,00 0,76	-1,94 0,00	-0,76 -1,94	-3,40	0,00	-12,51
S78/Edge 257	Prvek: 5467	0,000 3,250 0,000	MSÚ-B/13	-1,09 0,00	-0,36 0,16	-0,70 -0,91	-0,25	0,00	-75,70
S78/Edge 257	Prvek: 5531	0,000 3,250 3,200	MSÚ-B/19	-0,05 0,00	-0,73 0,00	-0,01 -0,73	1,01	0,00	-76,48
S78/Edge 257	Prvek: 5531	0,000 3,250 3,200	MSÚ-B/1	-0,05 0,00	-0,67 0,00	0,00 -0,67	0,90	0,00	-68,51
S78/Edge 257	Prvek: 5475	0,000 3,250 0,400	MSÚ-B/9	-0,01 0,00	0,00 0,13	-0,12 -0,02	0,47	0,00	-72,75
S78/Edge 257	Prvek: 5531	0,000 3,250 3,600	MSÚ-B/3	0,00 3,12	-0,25 0,85	-2,59 -1,63	-2,05	0,00	-83,84
S78/Edge 257	Prvek: 5531	0,000 3,250 3,200	MSÚ-B/3	-0,04 0,00	-0,73 0,00	0,00 -0,73	1,19	0,00	-84,30
S78/Edge 257	Prvek: 5531	0,000 3,250 3,600	MSÚ-B/19	0,00 3,13	-0,25 0,86	-2,60 -1,63	-1,83	0,00	-75,89
S78/Edge 257	Prvek: 5467	0,000 3,250	MSÚ-B/3	-0,78 0,00	-0,33 0,17	-0,61 -0,67	-0,77	0,00	-96,00

Jméno	Sít'	Pozice [m]	Stav	$m_{xD+}$ [kNm/m] $m_{xD-}$ [kNm/m]	$m_{yD+}$ [kNm/m] $m_{yD-}$ [kNm/m]	$m_{cD+}$ [kNm/m] $m_{cD-}$ [kNm/m]	$n_{xD}$ [kN/m]	$n_{yD}$ [kN/m]	$n_{cD}$ [kN/m]
		0,000							
S78/Edge 257	Prvek: 5531	0,000 3,250 3,600	MSÚ-B/10	0,00 2,09	-0,18 0,58	-1,73 -1,12	-1,02	0,00	-46,89
S98/Edge 445	Prvek: 10916	19,400 19,025 0,000	MSÚ-B/19	-0,21 0,66	-0,19 0,68	-0,87 -0,87	-2,89	0,00	-67,23
S98/Edge 445	Prvek: 10916	19,400 19,025 0,000	MSÚ-B/9	-0,10 0,45	-0,10 0,45	-0,55 -0,55	-2,14	0,00	-49,00
S98/Edge 445	Prvek: 10916	19,400 18,650 0,000	MSÚ-B/11	0,00 0,83	-0,21 0,43	-0,74 -0,72	-0,84	0,00	-65,53
S98/Edge 445	Prvek: 10915	19,400 19,400 0,000	MSÚ-B/6	0,00 2,35	0,00 3,99	-3,43 -1,43	-7,57	0,00	-56,51
S98/Edge 445	Prvek: 10915	19,400 19,400 0,000	MSÚ-B/7	0,00 2,35	0,00 3,98	-3,42 -1,43	-7,62	0,00	-56,90
S98/Edge 445	Prvek: 10916	19,400 18,650 0,000	MSÚ-B/10	0,00 1,10	-0,18 0,48	-0,94 -0,83	-0,72	0,00	-65,24
S98/Edge 445	Prvek: 10916	19,400 18,650 0,000	MSÚ-B/3	0,00 1,16	-0,29 0,59	-1,03 -1,00	-1,36	0,00	-90,56
S98/Edge 445	Prvek: 10915	19,400 19,400 0,000	MSÚ-B/9	0,00 1,67	0,00 2,87	-2,46 -1,06	-5,12	0,00	-40,13
S98/Edge 446	Prvek: 10918	19,400 18,650 0,800	MSÚ-B/19	-0,06 0,00	-0,69 0,00	-0,09 -0,65	0,94	0,00	-85,23
S98/Edge 446	Prvek: 10922	19,400 18,650 1,600	MSÚ-B/2	0,00 0,00	-0,34 0,00	0,00 -0,34	0,24	0,00	-63,24
S98/Edge 446	Prvek: 10932	19,400 18,650 3,600	MSÚ-B/3	-3,70 0,00	-0,49 0,30	-1,30 -3,18	-0,53	0,00	-77,19
S98/Edge 446	Prvek: 10930	19,400 18,650 3,200	MSÚ-B/4	-0,11 0,00	0,00 0,13	-0,13 -0,11	0,11	0,00	-59,92
S98/Edge 446	Prvek: 10918	19,400 18,650 0,800	MSÚ-B/3	-0,07 0,00	-0,62 0,00	-0,09 -0,58	0,95	0,00	-85,30
S98/Edge 446	Prvek: 10916	19,400 18,650 0,000	MSÚ-B/6	0,00 1,36	-0,28 0,64	-1,18 -1,10	-1,28	0,00	-90,40
S98/Edge 446	Prvek: 10916	19,400 18,650 0,000	MSÚ-B/3	0,00 1,16	-0,29 0,59	-1,03 -1,00	-1,36	0,00	-90,56
S98/Edge 446	Prvek: 10932	19,400 18,650 3,600	MSÚ-B/15	-2,54 0,00	-0,31 0,21	-0,85 -2,20	-0,35	0,00	-55,53
S98/Edge 447	Prvek: 10931	19,400 19,400 3,600	MSÚ-B/1	0,00 1,06	0,00 3,53	-3,19 -0,78	-5,87	0,00	-41,75
S98/Edge 447	Prvek: 10932	19,400 18,650 3,600	MSÚ-B/10	-2,49 0,00	-0,28 0,20	-0,80 -2,16	-0,58	0,00	-55,75
S98/Edge 447	Prvek: 10931	19,400 19,400 3,600	MSÚ-B/7	0,00 1,04	0,00 3,60	-3,26 -0,77	-5,97	0,00	-42,20
S98/Edge 447	Prvek: 10931	19,400 19,400 3,600	MSÚ-B/4	0,00 0,68	0,00 2,67	-2,44 -0,51	-4,52	0,00	-30,73
S98/Edge 447	Prvek: 10931	19,400 19,400	MSÚ-B/6	0,00 1,01	0,00 3,58	-3,24 -0,76	-6,00	0,00	-42,01

Jméno	Sít'	Pozice [m]	Stav	$m_{xD+}$ [kNm/m] $m_{xD-}$ [kNm/m]	$m_{yD+}$ [kNm/m] $m_{yD-}$ [kNm/m]	$m_{cD+}$ [kNm/m] $m_{cD-}$ [kNm/m]	$n_{xD}$ [kN/m]	$n_{yD}$ [kN/m]	$n_{cD}$ [kN/m]
S98/Edge 447	Prvek: 10932	3,600 19,400 18,650 3,600	MSÚ-B/9	-2,59 0,00	-0,33 0,21	-0,89 -2,23	-0,32	0,00	-55,70
S98/Edge 447	Prvek: 10932	19,400 18,650 3,600	MSÚ-B/3	-3,70 0,00	-0,49 0,30	-1,30 -3,18	-0,53	0,00	-77,19
S98/Edge 447	Prvek: 10932	19,400 18,650 3,600	MSÚ-B/7	-3,63 0,00	-0,45 0,30	-1,24 -3,14	-0,71	0,00	-77,22
S98/Edge 447	Prvek: 10931	19,400 19,400 3,600	MSÚ-B/9	0,00 0,73	0,00 2,53	-2,29 -0,53	-4,32	0,00	-29,80
S98/Edge 448	Prvek: 10919	19,400 19,400 0,800	MSÚ-B/19	-0,26 0,00	-1,13 0,00	-0,18 -1,05	0,25	0,00	-45,54
S98/Edge 448	Prvek: 10931	19,400 19,400 3,200	MSÚ-B/3	-0,81 0,00	-0,90 0,00	-0,53 -0,74	1,62	0,00	-37,63
S98/Edge 448	Prvek: 10915	19,400 19,400 0,000	MSÚ-B/6	0,00 2,35	0,00 3,99	-3,43 -1,43	-7,57	0,00	-56,51
S98/Edge 448	Prvek: 10917	19,400 19,400 0,400	MSÚ-B/17	-0,17 0,00	-0,28 0,00	-0,01 -0,27	1,56	0,00	-38,04
S98/Edge 448	Prvek: 10925	19,400 19,400 2,000	MSÚ-B/10	0,00 0,01	-0,19 0,00	-0,02 -0,18	0,12	0,00	-32,27
S98/Edge 448	Prvek: 10917	19,400 19,400 0,400	MSÚ-B/7	-0,28 0,00	-0,48 0,00	-0,02 -0,47	2,05	0,00	-49,79
S98/Edge 448	Prvek: 10915	19,400 19,400 0,000	MSÚ-B/7	0,00 2,35	0,00 3,98	-3,42 -1,43	-7,62	0,00	-56,90
S98/Edge 448	Prvek: 10931	19,400 19,400 3,200	MSÚ-B/9	-0,58 0,00	-0,64 0,00	-0,37 -0,53	1,18	0,00	-27,57

Jméno	Klíč kombinace
MSÚ-B/1	1.35*ZS1 + 1.35*ZS2 + 1.35*ZS3 + 1.05*ZS8 + 1.35*ZS10
MSÚ-B/2	ZS1 + ZS2 + ZS3 + 1.50*ZS4 + ZS10
MSÚ-B/3	1.35*ZS1 + 1.35*ZS2 + 1.35*ZS3 + 0.75*ZS4 + 1.05*ZS9 + 1.35*ZS10
MSÚ-B/4	ZS1 + ZS2 + ZS3 + 1.50*ZS4 + 1.05*ZS9 + ZS10
MSÚ-B/5	ZS1 + ZS2 + ZS3 + 0.75*ZS4 + 1.50*ZS9 + ZS10
MSÚ-B/6	1.35*ZS1 + 1.35*ZS2 + 1.35*ZS3 + 0.75*ZS4 + 1.05*ZS7 + 1.35*ZS10
MSÚ-B/7	1.35*ZS1 + 1.35*ZS2 + 1.35*ZS3 + 0.75*ZS4 + 1.05*ZS8 + 1.35*ZS10
MSÚ-B/8	1.15*ZS1 + 1.15*ZS2 + 1.15*ZS3 + 1.50*ZS9 + 1.15*ZS10
MSÚ-B/9	ZS1 + ZS2 + ZS3 + 1.50*ZS9 + ZS10
MSÚ-B/10	ZS1 + ZS2 + ZS3 + 1.50*ZS8 + ZS10
MSÚ-B/11	ZS1 + ZS2 + ZS3 + ZS10
MSÚ-B/12	1.15*ZS1 + 1.15*ZS2 + 1.15*ZS3 + 1.50*ZS4 + 1.05*ZS9 + 1.15*ZS10
MSÚ-B/13	1.15*ZS1 + 1.15*ZS2 + 1.15*ZS3 + 1.50*ZS7 + 1.15*ZS10
MSÚ-B/14	1.15*ZS1 + 1.15*ZS2 + 1.15*ZS3 + 1.50*ZS8 + 1.15*ZS10
MSÚ-B/15	ZS1 + ZS2 + ZS3 + 1.50*ZS7 + ZS10
MSÚ-B/16	ZS1 + ZS2 + ZS3 + 1.50*ZS4 + 1.05*ZS8 + ZS10
MSÚ-B/17	ZS1 + ZS2 + ZS3 + 0.75*ZS4 + 1.50*ZS8 + ZS10
MSÚ-B/18	1.15*ZS1 + 1.15*ZS2 + 1.15*ZS3 + 0.75*ZS4 + 1.50*ZS8 + 1.15*ZS10
MSÚ-B/19	1.35*ZS1 + 1.35*ZS2 + 1.35*ZS3 + 0.75*ZS4 + 1.35*ZS10
MSÚ-B/20	1.15*ZS1 + 1.15*ZS2 + 1.15*ZS3 + 0.75*ZS4 + 1.50*ZS9 + 1.15*ZS10
MSÚ-B/21	1.15*ZS1 + 1.15*ZS2 + 1.15*ZS3 + 0.75*ZS4 + 1.50*ZS7 + 1.15*ZS10